

АКАДЕМИЯ НАУК СОЮЗА ССР

ЖУРНАЛ ФИЗИЧЕСКОЙ ХИМИИ

ТОМ
XXV



5

ВЫПУСК

МАЙ
1951

ИЗДАТЕЛЬСТВО АКАДЕМИИ НАУК СССР
МОСКВА ЛЕНИНГРАД

PRINTED IN USSR

ЖУРНАЛ ФИЗИЧЕСКОЙ ХИМИИ

Редакционная коллегия:

Г. В. АКИМОВ, Я. И. ГЕРАСИМОВ, С. В. ГОРБАЧЕВ, Г. С. ЖДАНОВ,
Н. А. ИЗГАРЫШЕВ, В. А. КИСТЯКОВСКИЙ, Я. М. КОЛОТЫРКИН,
Э. С. САРКИСОВ, Н. Н. СЕМЕНОВ, А. Н. ТЕРЕНИН, А. Н. ФРУМКИН

Редактор Н. А. ИЗГАРЫШЕВ

Зам. редактора С. В. ГОРБАЧЕВ

Отв. секретарь Э. С. САРКИСОВ

5-8 / 1957-7-8 а
25259

Адрес редакции: Москва, 19, Волхонка, 14



ПОТЕНЦИАЛЫ РАЗЛОЖЕНИЯ АЦЕТОНОВЫХ РАСТВОРОВ СОЛЕЙ КОБАЛЬТА*

О. К. Кудра и П. П. Туров

При определении напряжений разложения ацетоновых растворов солей кадмия [1], при видоизмененной методике снятия $I-V$ кривых, нами было установлено наличие двух катодных потенциалов. Первый из них (нижний) соответствовал выделению плотного металла, второй (верхний) — началу появлению черного рыхлого катодного осадка.

Интересно, что при известном постоянстве первого потенциала величина второго с разведением растет особенно резко в области разбавленных растворов. Явление, аналогичное тому, которое наблюдалось при исследовании таким же методом водных растворов [2]. Природа этой тенденции к росту пока не вполне ясна. Нет полной ясности также и в отношении причин, обуславливающих неодинаковые значения катодных потенциалов в растворах разных солей одного и того же металла. В то же время выяснение взаимного расположения обоих потенциалов необычайно важно не только с теоретической, но и в практическом отношении — в связи с большим интересом, проявляемым в последнее время к электрохимическому получению металлических порошков. Отсутствие достаточного числа теоретических работ в этой области особенно резко сказалось в период, когда появилась прямая необходимость в разработке методов получения катодных рыхлых осадков [3].

Наряду с этим выявление положения обоих потенциалов важно и для электроосаждения плотных слоев металла, что особенно наглядно может быть иллюстрировано данными, полученными при исследовании растворов солей кадмия [4]. Сопоставление значений потенциалов разложения в растворах двух солей — сульфата и нитрата — показывает, что, в то время как в сульфате потенциалы, отвечающие плотным и рыхлым осадкам, находятся на значительном расстоянии друг от друга, нитрате они необычайно сближены. Близость обоих потенциалов у нитрата кадмия объясняет, почему в растворе этой соли не получают хорошие плотные осадки, выделяются преимущественно осадки черные и рыхлые.

Из этих данных явствует, что если бы мы имели соответствующие диаграммы значений обоих потенциалов в зависимости от концентрации для целого ряда систем, то мы заранее могли бы предугадать, в каких условиях можно выделять тот или иной вид катодных осадков. Еще более важным было бы знание причин, способствующих сближению или удалению обоих потенциалов. Все это свидетельствует о необходимости расширения исследований в этой области на большее число объектов.

В связи с этим представлялось целесообразным изучить потенциалы разложения ацетоновых растворов солей кобальта. Склонность кобальта к образованию большого количества комплексных соединений нам казалась особенно заманчивой в связи с высказанной ранее гипотезой, связывающей появление рыхлых катодных осадков с разрядом комплексных катионов [2,6].

В настоящем исследовании объектами являлись хлористый и бромистый кобальт. Обе соли после тщательной очистки обезжизнялись и сушились в токе сухих соответствующих галоидоводородных соединений (HCl , HBr). Ацетон готовился, как и в предыдущей работе [1]. Измерения производились методом, также изложенным в предыдущей работе [1].

Растворы хлористого кобальта исследовались в пределах концентраций от 8 до 0,1% весовых. Характер $I-V$ кривых для 4%-ного раствора приведен на рис. 1.

*Примечание при корректуре. В настоящей статье вторые потенциалы тракуются с точки зрения гипотезы разряда комплексных ионов, выдвинутой и развиваемой О. К. Кудра. Однако имеются и другие толкования их (см. П. П. Туров [8,9]).

Кривая *I* получена при размере катода 111 мм^2 . Кривой *III* соответствует катод в $10,5 \text{ мм}^2$, а кривой *IV* отвечает катод в $2,4 \text{ мм}^2$. Размер анода во всех случаях одинаков и равнялся 682 мм^2 . Из рис. 1 видно, что при таком методе измерения по мере уменьшения размера катода происходит скачкообразный переход от напряжения разложения в $1,65 \text{ V}$ соответствующего выделению на катоде плотного гладкого слоя кобальта к напряжению в $2,75\text{--}2,80 \text{ V}$, при котором катод покрывается рыхлым черным осадком. Подобные результаты получены и при других исследованных концентрациях. Полученные значения потенциалов разложения для ацетоновых растворов хлористого кобальта приведены в табл. 1.

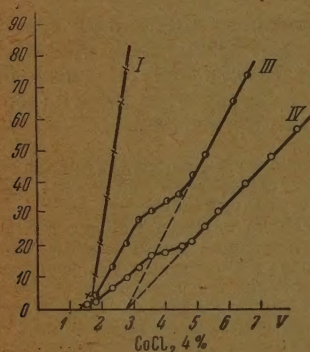


Рис. 1

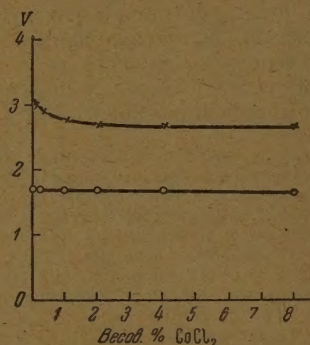


Рис. 2

Таблица 1

Концентрация CoCl_2 в весовых %	Значения потенциалов разложения при поверхности катодов (в мм^2)			
	111	27,3	10,5	2,4
8	1,60	2,60	2,60	2,70
4	1,65	—	2,75	2,80
2	1,70	2,70	2,70	2,80
1	1,70	2,75	2,80	2,90
0,25	1,70	2,80	2,90	3,00
0,10	1,70	3,00	3,00	—

Как видно из табл. 1, в растворах хлористого кобальта, так же как и в растворах других исследованных нами солей в ацетоне [1], наблюдается тенденция к росту второго потенциала при разбавлении раствора. Такая тенденция была обнаружена нами ранее и при исследовании водных растворов [2]. Картина получается особенно наглядной при графическом изображении зависимости значений потенциалов разложения от концентрации, как это представлено на рис. 2.

Нижняя линия на рис. 2 относится к первым потенциалам разложения, при которых выделяется на катоде плотный осадок кобальта. Эти потенциалы, как показывает рисунок, почти не изменяются с концентрацией. Верхняя линия показывает изменение с концентрацией вторых потенциалов разложения, соответствующих образованию рыхлых катодных осадков кобальта. Полученные данные вполне аналогичны результатам измерений в ацетоновых растворах иодистого и бромистого кадмия [1], так же как и описанным в прежних работах результатам исследования в водных рас-

орах. [2], Повидимому, и причины, обуславливающие появление вторых потенциалов, во всех приведенных случаях одни и те же.

В ацетоновых растворах бромистого кобальта наблюдается такой же скачкообразный переход от первого ко второму потенциалу при постепенном уменьшении размера катодов. Рис. 3 иллюстрирует характер $I-V$ кривых, полученных в 4%-ном растворе бромистого кобальта.

Первая кривая соответствует наибольшему катоду (111 мм²), вторая кривая — меньшим (27,3 и 10,5 мм²). Значения потенциалов разложения ацетоновых растворов бромистого кобальта приведены в табл. 2.

Таблица 2

Концентрация CoBr ₂ в ацетоновых растворах, %	Значения потенциалов разложения при поверхности катодов (в мм ²)			
	111	27,3	10,5	2,4
8	1,40	2,60	2,60	2,60
4	1,48	2,70	2,70	2,75
2	1,50	2,70	2,75	2,80
1	1,50	2,90	2,90	3,00
0,5	1,60	2,35	2,40	2,40
0,2	1,60	2,35	2,35	—
0,1	1,60	2,40	2,50	—
0,05	1,70	2,40	2,50	—

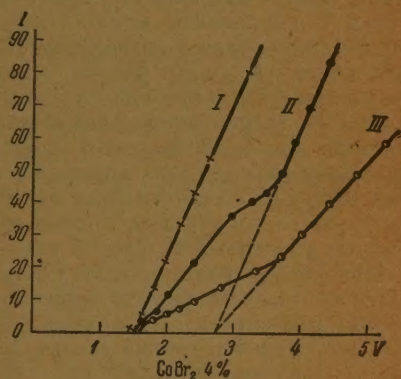


Рис. 3

Данные табл. 2 свидетельствуют о значительном различии в электрохимическом поведении ацетоновых растворов бромистого кобальта в сравнении с поведением других исследованных нами электролитов. В подавляющем большинстве изученных нами при помощи данной методики случаев вторые потенциалы возрастали с разбавлением растворов. В некоторых отдельных системах наблюдалось постоянство этих потенциалов, падение их с разведением обнаружено здесь впервые.

В настоящих измерениях обнаруживается резкое падение второго потенциала с разведением в пределах концентраций от 1 до 0,5%, после чего при дальнейшем разбавлении потенциал сохраняет некоторое постоянство. Такое изменение второго потенциала, соответствующего образованию рыхлых черных осадков, может быть удовлетворительно согласовано выдвинутой нами гипотезой, связывающей появление черпи с разрядом комплексных катионов, но никак не увязывается с прежними теориями.

В самом деле, с одной стороны, появление черных рыхлых осадков связывалось с одновременным выделением водорода, действующего взрывоопасным образом на выделяемый металл; с другой стороны, это зависело в зависимости от соотношения скоростей возникновения центров кристаллизации и роста кристаллов: чем больше плотность тока, тем меньше концентрация электролита у катода, тем меньше имеют времени быстро появляющиеся зародыши к спокойному росту кристаллов и тем более благоприятные условия создаются к возникновению рыхлых осадков [5]. При втором объяснении следовало бы ожидать постепенного перехода от плотных к рыхлым осадкам по мере обеднения раствора у катода, а не скачкообразного, как найдено нами. Кроме того, при электролизе комплексных цианистых растворов, в которых концентрация выделяемых катионов ничтожно мала, должны были бы осаждаться исключительно порошкообразные черные осадки, тогда как, наоборот, именно из цианистых ванн черные осадки не получаются даже при очень высоких плотностях тока, когда, наряду с металлом, обильно выделяется

водород. Последнее обстоятельство говорит также не в пользу разрыхляющего действия водорода. Не в пользу разрыхляющего действия говоря и результаты настоящих исследований, в которых как рыхлые осадки, так и новые потенциалы, им соответствующие, получаются в условиях, исключающих наличие водорода.

Наконец, появление черни связывается, согласно гипотезе, развиваемой одним из нас [6], с разрядом сложных катионов типа AK_n^+ или в более общем случае $[A_{n-1}K_n]^+$. Одновременно выделение сложных комплексов наряду с атомами металла приводит к неоднородности структуры обуславливающей образование рыхлых осадков. Разряд нового вида ионов, после достижения предельного тока для простых ионов (K^+) связан с появлением нового (второго) потенциала разложения. Рост второго потенциала с разведением связан с резким падением концентрации ионов $[A_{n-1}K_n]^+$. Но в некоторых случаях возможно образование комплексных катионов с участием растворителя. При этом и в разбавленных растворах концентрация таких катионов может быть достаточно высокой. Это будет вызывать постоянство второго потенциала, соответствующего разряду этих ионов, и в зависимости от природы выделяемого иона может наблюдаться даже падение второго потенциала с разведением раствора. Таким образом, с точки зрения нашей гипотезы, характер зависимости, указанный на рис. 4, вполне возможен.

При обезвоживании солей $CoCl_2$ и $CoBr_2$ в токах газообразных HCl и HBr последние в незначительных количествах адсорбировались солями, поэтому при снятии $I-V$ кривых растворов этих солей с применением незашунтированного гальванометра (цена деления $0,37 \cdot 10^{-6} A$) на кривых еще до выделения металла появлялась еле заметная волна, обусловленная, повидимому, разрядом H^+ . Чтобы проверить, что это действительно так, нами были исследованы растворы солей $CoCl_2$ и $CoBr_2$ с небольшими добавками ацетоновых растворов соответствующих галоидоводородных соединений. Результаты полностью подтвердили наши ожидания. Во всех случаях были получены три волны на $I-V$ кривых соответственно трем электрохимическим катодным процессам: 1) разряд H^+ , 2) образование плотного осадка металла и 3) образование черни (рис. 4).

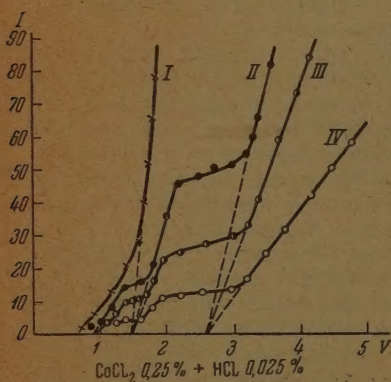


Рис. 4

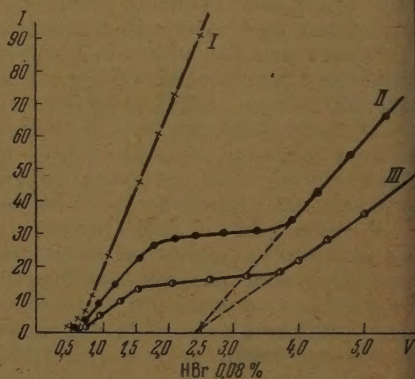


Рис. 5

Интересно отметить, что при значительных добавках галоидоводородных соединений даже при высоких плотностях тока предельный ток водородной волны нам получить не удавалось. При этом все время на катоде было заметно обильное выделение водорода.

В связи с этим представлялось интересным внимательно проследить ход $I-V$ кривых в чистых ацетоновых растворах галоидоводородных со-

инений при отсутствии солей металлов. С этой целью были приготовлены растворы газообразных тщательно просушенных HCl и HBr в ацетоне. Поглощение газов протекало при этом с большой жадностью при значительном выделении тепла. Концентрации полученных растворов устанавливались титрованием их едким кали в присутствии фенолфталеина.

Наблюдения, сделанные нами относительно сравнительной трудности достижения предельного тока для водородной волны в присутствии галогенных солей кобальта, подтвердились и в опытах с чистыми концентрированными растворами HCl и HBr без фона. В сравнительно разведенных растворах обоих соединений было установлено, как и в растворах солей, наличие двух потенциалов разложения. На рис. 5 представлены результаты, полученные в 0,08%-ном растворе HBr .

Первый потенциал на рис. 5, соответствующий кривой *I*, равен 0,65 В и получен при размере катода в 111 мм². Второй потенциал, отвечающий кривым *II* и *III*, получен при размерах катодов 27,3 и 10,5 мм² и равен 2,25 В. Вообще же вторые потенциалы для растворов HCl и HBr колеблются в пределах 2,20—2,50 В и сравнительно мало меняются с разведением. Результаты измерений потенциалов разложения ацетоновых растворов HBr приведены в табл. 3.

Таблица 3

Концентрация HBr в весовых %	Значения потенциалов разложения при поверхности катодов (в мм ²)			
	111	27,3	10,5	2,4
0,4	0,65	2,25	2,25	—
0,2	0,65	2,25	2,25	2,30
0,08	0,65	2,20	2,25	2,30
0,04	0,65	2,35	2,45	2,45

Из приведенных экспериментальных данных видно, что в ацетоновых растворах, как и в водных, во всех исследованных нами случаях имеют место два катодных потенциала разряда ионов. Первый потенциал в случае электролиза растворов солей, как правило, сопровождается образованием плотного осадка, второй — рыхлого черного. Однако образование черни на катоде, т. е. изменение структуры катодного осадка, не является первопричиной возникновения перегиба на $I-V$ кривой, а, скорее, следствием его или, вернее, следствием нового электрохимического процесса, соответствующего этому перегибу. Этот вывод подтверждается наличием двух катодных потенциалов разряда не только в растворах солей, но и в растворах HCl и HBr , т. е. в условиях полного отсутствия какого бы то ни было катодного осадка. Повидимому, возникновение второго катодного потенциала в области высоких плотностей тока представляет общее явление и может быть распространено на все электролиты.

Появление вторых потенциалов в ацетоновых растворах HCl и HBr является особенно интересным в теоретическом отношении, так как способствует выяснению природы этих потенциалов. Наличие их в водных растворах солей приписывалось ранее исключительно разряду водородных ионов, причем в качестве факта, подтверждающего такое объяснение, указывалось на недостижимость предельного тока на второй волне $I-V$ кривой, что свидетельствует о неисчерпаемости резервуара, поставляющего восстанавливающееся вещество. Таким резервуаром мыслилась только вода (растворитель), а продуктом восстановления — водород (7).

В приведенных нами в настоящей работе данных предельный ток для второй волны в ацетоновых растворах HCl и HBr также отличался не

достижимостью, т. е. эта недостижимость обнаружена и в условиях полного отсутствия такого поставщика водородных ионов, как вода. Правда возможность восстановления ацетона в условиях наших опытов остается пока открытой.

Выводы

1. Сняты кривые напряжение — сила тока ацетоновых растворов CoCl_2 , CoBr_2 , HCl , HBr , а также смесей $\text{CoCl}_2 + \text{HCl}$ и $\text{CoBr}_2 + \text{HBr}$ при различных катодных плотностях тока.

2. В растворах индивидуальных препаратов при высоких плотностях тока обнаружено по два катодных потенциала разряда, причем в растворах CoCl_2 и CoBr_2 первые более низкие потенциалы соответствовали выделению плотного гладкого осадка металла, вторые более высокие — черни, выделение газообразных продуктов при этом не наблюдалось. В растворах смесей обнаружено по три катодных потенциала соответственно выделению газообразного водорода, плотного осадка металла и черни.

3. Зависимость вторых потенциалов от разведения различна: в растворах CoCl_2 наблюдается заметный рост с разведением; в растворах HCl и HBr он мало меняется; наконец, в растворах CoBr_2 заметно падает.

4. Полученные экспериментальные данные находятся в согласии с ранее высказанной гипотезой о наличии в растворах наряду с простыми еще и сложных ионов.

Академия наук УССР
Институт общей и неорганической
химии
Киев

Поступила
4.VII.1948

ЛИТЕРАТУРА

1. О. К. Кудра, П. П. Туров, Журн. физ. химии, 25, 391, 1951.
2. О. К. Кудра, Зап. Ин-ту хім. АН УССР, 2, 127, 1938; Журн. физ. хим., 12, 148, 1938.
3. О. А. Есини Л. Г. Левиан, Труды Уральского индустриального ин-та, Сб. 24, 28, 1947; А. И. Левиан, там же стр. 125.
4. О. К. Кудра, Е. Б. Гитман, Журн. прикл. хим., 20, 605, 1947; Зап. Ин-ту хім., 2, 214, 1947.
5. Kremann-Müller, Elektrolyse und Polarisation, Leipzig, II, 159—160, 1931.
6. О. К. Кудра, Журн. физ. хим., 9, 286, 1937; Зап. Ин-ту хім., 1, 49, 1937.
7. D. Ilkovič, Collect. of Czechosl. Chem. Comm., 11, 480, 1932.
8. П. П. Туров, Диссертация, Библиотека ИОНХ Акад. Наук УССР, 1949.
9. П. П. Туров и Е. М. Скобеч, Журн. Физ. хим., 24, 694, 1950.

ПОТЕНЦИАЛЫ РАЗЛОЖЕНИЯ АЦЕТОНОВЫХ РАСТВОРОВ СОЛЕЙ ЖЕЛЕЗА И РТУТИ*

О. К. Кудра и П. П. Туров

Трудности получения тока насыщения для процессов, соответствующих вторым величинам потенциалов разложения, встреченные нами при изучении потенциалов разложения ацетоновых растворов солей кадмия, цинка и галоидоводородных соединений [1], так же как и при значительном числе исследований растворов водных [2], создают впечатление недостижимости предельного тока для этих процессов вообще. Это, в свою очередь, может свидетельствовать о нестойкости того объекта, восстановление которого обуславливало второй подъем на $I - V$ кривых. Такой вывод являлся вполне естественным и напрашивался еще при изучении первых потенциалов, возникающих на полярограммах различных водных растворов, в связи с чем Ильковичем была высказана мысль, что резервуаром, поставляющим электровосстанавливающее вещество, может быть только растворитель — вода, а восстанавливающимся веществом — ионы одородода [3].

Такая трактовка вопроса встретила, однако, с затруднениями уже при исследовании водных растворов кислот, при которых также найдены два катодных потенциала [4], и оказалась неприменимой для объяснения вторых потенциалов, обнаруженных в ацетоновых растворах [1].

Тем не менее тот факт, что до сих пор не удалось пока достичь предельного тока для второй волны, может приводить исследователей к мысли о непосредственном участии растворителя в формировании этой волны. При этом можно было бы, например, предположить взаимодействие молекул растворителя с электронами с образованием особых малоустойчивых анионов, появление же черных рыхлых катодных осадков приписать вторичному процессу взаимодействия этих анионов с катионами, с дальнейшей нейтрализацией последних и выделением на катоде в виде черни. Эта схема кажется тем более заманчивой, что ею сравнительно легко объяснимо появление окислов в черных катодных осадках, установленное ранее рентгенографическим путем [5].

Согласно этой схеме нейтрализация катионов может происходить на некотором расстоянии от катода, в связи с чем появившиеся нейтральные атомы должны совершить некоторый путь до отложения их на катоде и при этом могут, конечно, частично подвергаться процессу окисления при наличии на пути окислительных агентов. Этим одновременно объясняются и те закономерности в количественном содержании окислов в черных катодных осадках, которые были установлены прежним исследованием [5].

Принятие такой схемы поставило бы, однако, вопрос об окончательной недостижимости предельного тока для второй волны, потому что как поток электронов, так и количество молекул растворителя в прикатодном слое можно считать практически неисчерпаемыми. В связи с этим представляло особый интерес произвести поисковые опыты снятия $I - V$

* Примечание при корректуре. В настоящей статье вторые потенциалы трактуются с точки зрения гипотезы разряда комплексных ионов, выдвинутой и развиваемой О. К. Кудра. Однако имеются и другие толкования их (см. П. П. Туров [6,7]).

кривых и испытанием большего числа объектов с целью выявления наличия тока насыщения хотя бы в одном случае.

В настоящей работе мы приводим данные, полученные нами при исследовании ацетоновых растворов хлорного железа и галоидных солей ртути. Методика снятия $I-V$ кривых такая же, как и в предыдущих работах [1].

Хотя интерпретация полученных $I-V$ кривых при исследовании данных объектов представляет некоторые трудности из-за возможности появления дополнительных волн восстановления соответствующих ионов от высшей к низшей степени валентности, кроме волн образования плотных и рыхлых осадков, все же нам удалось с полной уверенностью установить, что на $I-V$ кривых FeCl_3 имеет место предельный ток не только для волн образования плотного осадка, но и для волн черни (рис. 1).

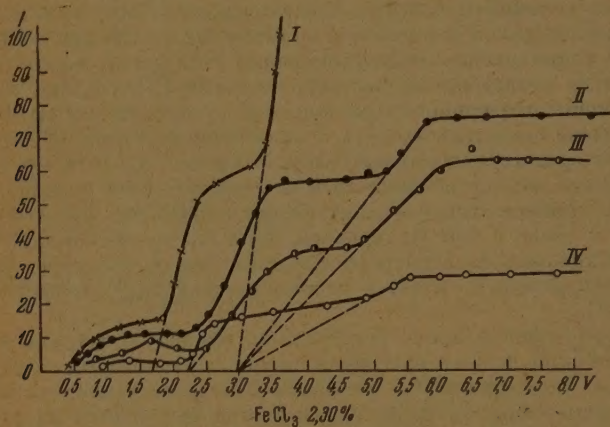


Рис. 1

На рис. 1 кривая I соответствует поверхности платинового катода 111 мм^2 , кривая II — $27,3 \text{ мм}^2$, кривая III — $10,5 \text{ мм}^2$ и кривая IV — $2,4 \text{ мм}^2$. На рисунке явно вырисовываются три потенциала разложения: первый, равный $1,70 \text{ В}$, отвечает, повидимому, восстановлению трехвалентных ионов железа в двухвалентные, второй, $2,25 \text{ В}$, соответствует выделению на катоде плотного железа и третий, $3,00 \text{ В}$, отвечает образованию на катоде рыхлого черного осадка.

Из рис. 1 видно, что ток насыщения получается и для волны, соответствующей черни, чего ранее не наблюдалось ни в одном из исследованных случаев. Таким образом, в частности применительно к этой системе, схема, связывающая появление второй волны с непосредственным взаимодействием электронов с молекулами растворителя, маловероятна. В самом деле, в условиях проведения данного опыта, в котором концентрация FeCl_3 очень мала и равна всего лишь $2,30\%$, число молекул растворителя у катода необычайно велико; и при такой схеме можно было бы рассчитывать на полную недостижимость предельного тока для этой волны, что, как видно из рис. 1, никак не согласуется с фактами. Интересно, что нового подъема, после достижения предельного тока, не было обнаружено даже при приложении очень значительных напряжений к клеммам электролизера (до 12 В).

При исследовании растворов солей ртути в качестве объектов служили HgJ_2 и HgBr_2 . На рис. 2 приведены данные, полученные в $1,5\%$ -ном растворе HgJ_2 . Из рисунка видно, что в растворе иодистой ртути получают три потенциала разложения. Эти потенциалы обнаруживаются в растворах этой же соли и при всех исследованных нами других концентрациях.

Первая волна на приведенных кривых может быть отнесена к процессу восстановления HgJ_2 с образованием HgJ . При этом наблюдается появление на катоде зеленоватого рыхлого нерастворимого осадка. Вторая волна отвечает выделению металлической ртути. Катод при этом сплошь покрывается ртутью, а HgJ осыпается. Дополнительная третья волна сопровождается обильным выделением газообразных продуктов. Это обстоятельство указывает на то, что в данном случае и растворитель в той или иной форме принимает участие в электрохимическом процессе, так как были приняты все меры к предотвращению попадания пара в электролизер.

Участие растворителя в этом случае, однако, не является общепризнанным, а тесно связано с составленным электролитом, как как, если бы молекулы ацетона, в условиях наших опытов, сами подвергались действию катодного восстановления с образованием газообразных продуктов, то выделение их обнаружилось бы и во всех других ацетоновых растворах, чего не наблюдалось ни в одной из исследованных ранее систем [1].

Очевидно, специфика, присущая растворам ртутных солей, тесно связана с индивидуальной особенностью взаимодействия их с молекулами растворителя.

Выделение газообразных продуктов наблюдается и при электролизе растворов HgBr_2 при достижении верхней волны. На рис. 3 показан ход $I-V$ кривых для 0,2%-ного раствора HgBr_2 . Такие же результаты получались и при других исследованных концентрациях этой соли.

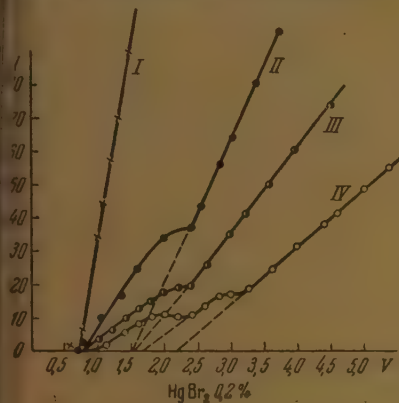


Рис. 3

в растворах солей металлов, выделяемых при электролизе на катоде, но и в растворах HCl и HBr , т. е. в условиях полного отсутствия какого бы то ни было катодного осадка. Наиболее вероятной причиной появления вторых потенциалов является, повидимому, разряд сложных катионов, имеющих в растворе наряду с простыми и находящимися с последними в равновесии.

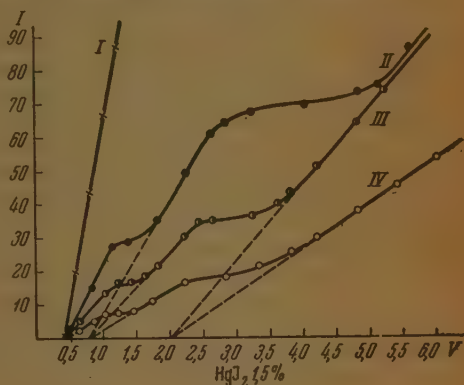


Рис. 2

Из приведенных экспериментальных данных видно, что у ацетоновых растворов, как и у водных, во всех исследованных нами случаях имеют место два катодных потенциала разряда понов. Первый потенциал в случае электролиза растворов солей, как правило, сопровождается образованием плотного осадка, второй — рыхлого черного. Однако образование черни на катоде, т. е. изменение структуры катодного осадка не является причиной возникновения перегиба на $I-V$ кривой, а следствием его или, вернее, следствием тех новых электрохимических процессов, которые обуславливают этот перегиб. Этот вывод подтверждается наличием двух катодных потенциалов не только

Скорость восстановления равновесия простых ионов со сложным, нарушаемого электролизом, является конечной, а не мгновенной. В другом случае предельный ток для процесса разряда простых ионов был бы достижим с трудом или недостижим вообще. Вопрос о составе сложных ионов вряд ли может быть решен на основании одних лишь измерений напряжения разложения. Однако внимательное рассмотрение характер полученных $I-V$ кривых дает основание сделать некоторые выводы. Можно, например, вывести заключение, что комплексные ионы содержат в своем составе, кроме растворенного вещества, еще и растворитель, количество которого зависит от природы и концентрации растворенного вещества. Такое заключение напрашивается при рассмотрении зависимости величин вторых потенциалов от концентрации растворов. Последние не могут быть объяснены только концентрационными изменениями, но вызваны еще, по-видимому, и химическими процессами.

На участие в формировании комплексов молекул растворителя указывают также трудности в достижении предельных токов воли вторых подъемов. Эти трудности сохраняются даже в значительно разведенных растворах, где, казалось бы, присутствие недиссоциированных молекул электролита, а следовательно, и число комплексных ионов, образованных на их основе, весьма ограничено.

Тем не менее описываемые сложные ионы не могут быть отнесены к комплексам чисто сольватного типа, о чем свидетельствуют характерные индивидуальные особенности в поведении растворов разных солей одного и того же металла, например CoCl_2 и CoBr_2 [1].

В некоторых растворах, например в растворах FeCl_3 , число этих комплексных ионов, по-видимому, настолько ограничено, что предельные токи достигаются даже для второй волны, отвечающей разряду этих ионов.

Выводы

1. Сняты кривые напряжение — сила тока алетоновых растворов FeCl_3 , HgJ_2 и HgBr_2 , на которых обнаружено по три перегиба.
2. В растворе FeCl_3 третья волна соответствует выделению черного рыхлого осадка, и для нее достигается предельный ток. Дальнейшая поляризация электрода до 12 В не обнаруживает никаких новых электродных процессов и поэтому может служить доказательством неразложимости растворителя в данной системе.
3. В растворах HgJ_2 и HgBr_2 волны, соответствующие примерно 2,25 В, сопровождаются обильным выделением газообразных продуктов, что свидетельствует об участии растворителя в электродных процессах в этих системах.

Академия наук УССР
Институт общей и неорганической
химии
Киев

Поступила
4.VII.1948

ЛИТЕРАТУРА

1. О. К. Кудра, П. П. Туров, Журн. физ. хим., 25, 391, 1951.
2. О. К. Кудра, Журн. физ. химии, 11, 286, 1937; 12, 148, 1938.
3. D. Ilković, Collect. of Czechosl. Chem. Commun., 11, 450, 1932.
4. Е. М. Скобел и О. К. Кудра, Журн. прикл. хим., 20, 1176, 1947; Зап. Ін-ту хімії АН УРСР, 2, 237, 1947.
5. О. К. Кудра, К. Н. Иванов, Зап. Ін-ту хімії 3—4, 299, 1934; Журн. физ. хим., 6, 469, 1935.
6. П. П. Туров, Диссертация, библиотека ИОНХ АН УССР, 1949.
7. П. П. Туров и Е. М. Скобец, Журн. физ. хим., 24, 694, 1950.

КИНЕТИКА ГОРЕНИЯ ОКСИД УГЛЕРОДА *

Г. А. Барский и Я. Б. Зельдович

Рациональный подход к количественной теории скорости пламени и возможен лишь в последние десятилетия в связи с развитием химической кинетики. В ряде теоретических работ [1—3] имеются существенные элементы теории распространения пламени. Однако только в работе Б. Зельдовича и Д. А. Франк-Каменецкого [4] впервые дано выражение, вызывающее скорость пламени с тепловыми свойствами и скоростью реакции в простом, но в то же время реальном предположении, что скорость реакции зависит от концентраций реагирующих веществ и — по закону Аррениуса — от температуры; в этом случае распространение пламени зависит от теплопроводности, благодаря которой реакция, происходящая в одном слое, вызывает нагрев и реакцию в следующем слое, так что можно говорить о «теории теплового распространения».

В более поздней работе [7] составлены дифференциальные уравнения, намечен путь решения более сложных случаев, в которых надо учитывать также диффузию активных центров, влияющих на скорость реакции. Установление определенной связи между скоростью химической реакции при высоких температурах и скоростью распространения пламени открывает широкие перспективы для изучения кинетики химических реакций пламеней.

В качестве объекта исследования была выбрана окись углерода по следующим соображениям.

1. Окись углерода является одной из наиболее важных составных частей подавляющего большинства горючих систем.

2. Молекулярные веса окиси углерода, кислорода и азота близки, что позволяет применить теорию, основанную на предположении о равенстве коэффициентов диффузии и температуропроводности.

3. Пламя окиси углерода высоко активнично.

Так как имеющиеся в литературе данные о горении СО недостаточны для изучения кинетики горения и проверки теории медленного распространения пламени, мы поставили перед собой следующие задачи:

а) определить зависимости нормальной скорости распространения пламени в смесях окиси углерода с воздухом (кислородом) от состава смеси, температуры горения, содержания продуктов горения, влажности давления смеси и соответствие всех этих зависимостей с теорией;

б) из измерений скорости пламени сделать выводы о скорости химической реакции в пламени при различных температурах и составах смеси.

Методика опытов

Известно, что при поджигании газа в центре жесткого сферического сосуда давление и, соответственно, скорость распространения остаются практически постоянными в значительной части пути пламени — не менее $\frac{1}{2}$ радиуса.

Таким образом, хотя в целом процесс распространения в замкнутом объеме и сопровождается повышением давления, но на первых стадиях давление остается постоянным, продукты горения покоятся; измеряя скорость пламени фотографическим методом, можно определить нормальную скорость. При большой скорости пламени прямыми опытами установлено, что пламя, распространяющееся в бомбе, имеет сфери-

* Частично результаты настоящей работы были использованы в теоретических работах [5—7].

ческую форму; при малых скоростях конвекция искажает правильное сферическое распространение пламени [8].

Скорость пламени может быть также измерена путем изучения его распространения вдоль трубы, заполненной горючей смесью [9—10]. Этот метод особенно ценен для медленно горящих смесей. Конвекция сильно влияет на скорость равномерного распространения. Поэтому для определения нормальной скорости пламени в методе трубы необходимо также и определение величины поверхности фронта.

Учитывая, что методы бомбы и трубы дополняют друг друга, мы воспользовались ими обоими для измерения скоростей пламени, применяя открытую трубу для медленно горящих смесей при атмосферном давлении, стеклянную колбу при низких давлениях (до 200 мм) и металлическую бомбу для больших давлений, когда прочность стеклянной колбы недостаточна.

Распространение пламени изучалось в стеклянной горизонтальной трубе диаметром 42,5 мм и длиной 1200 мм. Смесью поджигалась у открытого конца; пламя распространялось к закрытому концу. Скорость пламени и форма фронта определялись фотографированием последовательных положений фронта. Положения фронта фотографировались через равные промежутки времени (от 0,04 до 0,01 сек.) с экспозицией от 0,6 до 0,0008 сек. на неподвижную фотопластинку через радиальные прорезы по периферии диска, вращающегося перед объективом фотоаппарата. Расстояние между двумя последовательными снимками определяет скорость движения фронта в целом, т. е. и u_n фотографии фронта — его поверхность в данный момент. Известно, что фронт пламени, возникающий в трубе после пропускания искры, имеет вначале сферическую форму. Со временем фронт пламени сильно искривляется, вытягиваясь в сторону восторженной смеси. Через определенное время достигаются постоянные форма и скорость фронта на некотором участке трубы. u_n определяется из выражения:

$$u_n = u_n \frac{S_{тр}}{S_{пл}} \quad (4)$$

где $S_{пл}$ — поверхность пламени, $S_{тр}$ — поперечное сечение трубы. Площади пламени вычислялись по методу, описанному в нашей работе [11]. Типичные образцы фотографии распространения даны на рис. 1 и 2.

Смесь CO , O_2 и N_2 составлялась заранее в газометре. Содержание недостающего компонента (от которого зависит температура горения) определялось взрывным методом с последующим поглощением CO_2 щелочью; при этом по сравнению с обычным газовым анализом точность определения CO повышается в 1,5 раза, O_2 — в 3 раза. Избы

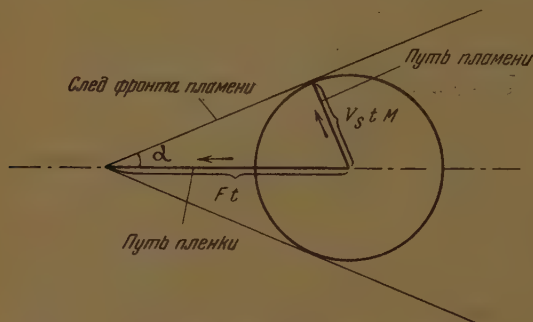


Рис. 3. Схема фотографии шарового фронта без щели. $V_s = \sin \frac{\alpha}{M}$; M — масштаб изображения; F — фактическая скорость пленки

точный компонент определяется дополнительно поглощением пирогаллолом (O_2) или медноаммиачным реактивом (CO). Концентрация паров воды определялась по величине равновесного давления пара при температуре воды газометра, концентрация азота — по разности.

Пламя в стеклянной колбе (диаметр 126 мм) фотографировалось на вращающуюся пленку. Фотографирование производилось без щели. Отсутствие щели увеличивало яркость изображения. При отсутствии щели на пленку экспонируется ряд налегающих друг на друга кругов. Обгибающая этих кругов, т. е. их общая касательная, представляет край засвеченной области на пленке (рис. 3). Обозначая через u_p — скорость пламени (относительно продуктов горения), u_p — скорость пленки, (на рис. 3

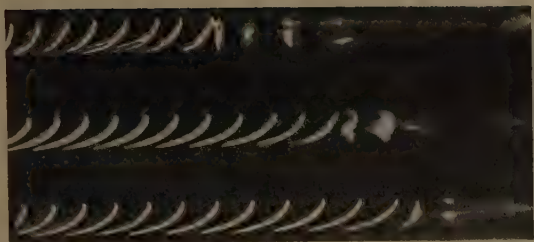


Рис. 1



Рис. 2



Рис. 4

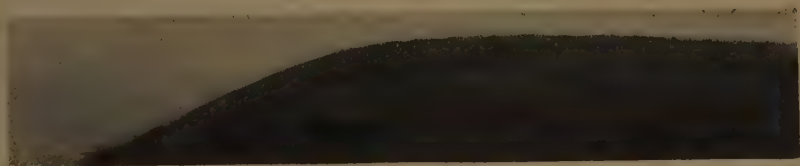


Рис. 5

$= u_p$, $F = u_p$, 2α — угол между расходящимися линиями на фотографии, M — штаб изображения, получим для этого метода:

$$u_b = u_p \cdot \frac{\sin \alpha}{M}. \quad (2)$$

и фотографировании без щели скорость пленки должна быть больше скорости движения изображения пламени: $u_p > u_b M$; в противном случае изображение точки зажигания окажется внутри изображения пламени.

Распространение пламени в стальной бомбе фотографировалось через щель в задней крышке, закрытую толстым стеклянным окном. Типичные фотографии, полученные в этих опытах, приведены на рис. 4 и 5 (вследствие недостаточной ширины щели на ней помещается только одна из расходящихся линий). В этом методе

$$u_b = u_p \frac{\operatorname{tg} \alpha}{M}. \quad (3)$$

скорость пламени относительно продуктов горения u_b связана с нормальной скоростью пламени (т. е. со скоростью относительно исходной взрывчатой смеси) очевидным соотношением:

$$\rho_b u_b = \rho_n u_n,$$

где ρ_b и ρ_n — плотности продуктов и смеси. Величина плотности продуктов реакции ρ_b определялась для смеси заданного состава по вычисленным температуре и составу продуктов горения. В условиях наших опытов теплоотдачей можно пренебречь и считать процесс адиабатическим. В большинстве случаев температуры горения не превышали 2400° , поэтому лишь для немногих смесей приходилось учитывать диссоциацию.

Выбор последовательности опытов

Скорость пламени зависит от теплопроводности и скорости реакции в той зоне, в которой реагирует большая часть вещества, т. е. при температуре, близкой к температуре горения. В свою очередь, скорость реакции зависит от состава и температуры в зоне реакции. Если, как это делали другие исследователи, одновременно менять процент CO и процент O_2 (сравнивая, например, различные смеси CO и O_2 без N_2), то в зоне реакции наряду с изменением состава происходит также изменение температуры, при которой идет реакция, и поэтому зависимость скорости пламени от состава в таком опыте не позволяет сделать однозначные выводы о законе скорости реакции.

Чтобы изучить влияние какого-либо фактора на скорость пламени, а также на скорость реакции, следует сохранять остальные условия по возможности тождественными. Изучая зависимость скорости реакции в пламени от состава, необходимо обеспечить постоянство температуры горения. Так как теплоемкости CO , O_2 и N_2 близки между собой, теплоемкости всех смесей в сравниваемых опытах можно считать постоянными, поэтому выделение равных количеств тепла при горении различных смесей обуславливает постоянство температуры горения. Так как тепловой эффект определяется содержанием недостающего компонента, то в смесях с избытком горючего должно быть постоянным содержание кислорода. Изменение содержания CO при постоянном O_2 мы производим, заменяя часть CO азотом. Напротив, при избытке O_2 мы изменяем O_2 и N_2 при постоянном содержании CO .

Теория показывает, что скорость пламени определяется максимальной скоростью реакции в том интервале температур и концентраций, который осуществляется в пламени, и что максимум скорости достигается вблизи полного выгорания.

Будем считать, что в области максимума скорость реакции зависит от температуры по закону Аррениуса и пропорциональна первой степени

концентрации недостающего компонента. Последняя, очевидно, пропорциональна [4] разности $T_b - T$ (T_b — теоретическая температура горения, T — температура в зоне данной концентрации).

Таким образом, если учесть связь температуры и состава, скорости реакции зависит от температуры по уравнению

$$f(T) = \text{const} (T_b - T) e^{-\frac{A}{RT}}, \quad (4)$$

где A — энергия активации.

Максимум этой функции достигается при

$$T_b - T_m = \frac{RT_m^2}{A}, \quad (5)$$

где T_m — температура зоны максимальной скорости реакции.

В большинстве случаев $\frac{T_b - T_m}{T_m} = \frac{RT_m}{A} \ll 1$, поэтому с достаточной точностью можно заменить в правой части (5) T_m на T_b :

$$T_b - T_m \approx \frac{RT_b^2}{A}. \quad (6)$$

Разностью ($T_b - T_m$) задается и состав в зоне максимальной скорости, т. е. эффективные концентрации, при которых происходит реакция, определяющая скорость пламени.

Так как скорость пламени определяется максимальной скоростью реакции в зоне пламени, сравнение горения смесей с данным недостающим компонентом и одинаковой температурой горения оказывается эквивалентным сравнению скоростей реакции в смесях, имеющих одинаковые температуры и концентрации недостающего компонента. Это свойство пламени дает способ определения зависимости скорости горения от концентрации того из компонентов, который находится в избытке.

Для изучения зависимости скорости реакции в пламени от температуры нужно изменять температуру горения смеси, не меняя состава реагирующих газов. Это может быть достигнуто двумя способами: изменением начальной температуры смеси или предложенным П. Я. Садовниковым способом добавления к смеси ее же продуктов горения. Измерения скорости пламени при различных начальных температурах уже производились некоторыми авторами, которые пытались непосредственно связать скорость пламени с начальной температурой смеси. Однако формулы, имеющие определенный физический смысл, удается получить, лишь рассчитав для каждой начальной температуры соответствующую температуру горения, с которой и следует связывать скорость пламени. Впервые подобные расчеты были сделаны А. Ф. Беляевым [11].

В процессе горения основное количество вещества реагирует в зоне, где температура близка к температуре горения, а смесь, вследствие диффузии, значительно обогащена продуктами реакции. Поэтому нельзя ожидать специфического влияния малых добавок продуктов горения к исходной смеси на скорость распространения пламени (в отличие от самовоспламенения, где это влияние может быть значительным). Метод добавок в экспериментальном отношении проще и допускает варьирование температуры в гораздо более широких пределах, чем метод изменения начальной температуры.

Влияние водорода и паров воды на нормальную скорость пламени

Если представить данные Фиока и Кинга [13] для стехиометрической смеси $2\text{CO} + \text{O}_2$ в координатах $\lg u_b - \lg P_{\text{H}_2\text{O}}$, точки хорошо укладываются в прямую, тангенс угла наклона которой равен 0,4. Эта величина значительно близка к 0,50, отвечающей зависимости скорости пламени от содержания влаги: $u_b \sim \sqrt{P_{\text{H}_2\text{O}}}$. Теория горения устанавливает, что скорость пламени пропорциональна корню из скорости реакции; следовательно, скорость реакции в пламени пропорциональна первой степени концентрации воды.

При высоком содержании воды влияние ее слабее, так как, наряду с каталитическим действием, начинает сказываться действие воды как инертного разбавителя, понижающего температуру горения.

Мы поставили перед собой задачу выяснить влияние паров воды и водорода на горение смесей

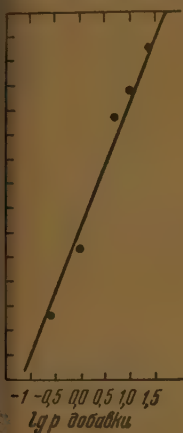


рис. 6. I смесь 89% CO и 11% O_2 сухая и II смесь 89% H_2 и 11% O_2

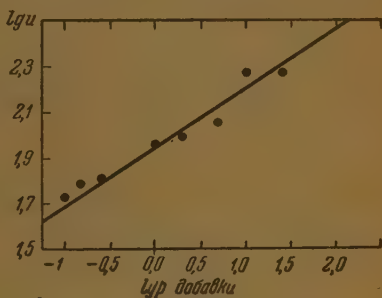


рис. 7. I смесь 24% CO и 76% O_2 [сухая и II смесь 24% H_2 и 76% O_2

окиси углерода с более низкой температурой горения, чем в опытах Фиока и Кинга.

Опыты проводились в стеклянной колбе при давлении в 200 мм.

Поскольку в малых количествах добавки воды и водорода оказывают одинаковое влияние, что вполне согласуется с теорией горения, мы изучали только влияние добавок водорода к сухим смесям окиси углерода. Известно, что в продуктах реакции водород распределяется в определенном соотношении между H_2O и H_2 , независимо от того, в каком виде он введен в исходную смесь. По теории состав в зоне реакции близок составу продуктов горения.

Изучение влияния водорода проводилось в двух сериях опытов, в каждой из которых к сухой смеси CO и O_2 добавлялись различные количества такой же смеси H_2 и O_2 . При этом соотношение между горючим и кислородом оставалось неизменным, а температура горения менялась незначительно.

Состав исходных смесей I серии: 24% CO + 76% O_2 ; 24% H_2 + 76% O_2 .

Состав исходных смесей II серии: 89% CO + 11% O_2 ; 89% H_2 + 11% O_2 .

Смеси окиси углерода без добавки водорода не воспламенялись совсем или воспламенялись лишь после пропускания 2—3 искр, причем пламя распространялось настолько медленно, что конвекция поднимала его вверх, шаровой фронт не образовывался. Это доказывает достаточную сухость смесей, достигавшуюся перегонкой CO и O_2 при температуре жидкого азота.

На рис. 6 и 7 даны результаты опытов в логарифмических координатах. Угловые коэффициенты проведенных на рисунках прямых оказы-

ваются равными примерно 0,58 для I серии (смеси с избытком горючего) 0,26 для II серии (смеси с избытком кислорода). Таким образом, можно считать, что в смесях с избытком горючего скорость пламени пропорциональна $\sqrt{P_{H_2O}}$, а скорость реакции $\sim P_{H_2O}$ в соответствии с результатами опытов Фиока и Кинга и более ранних работ Убеллоде и др. [14, 15]

В смесях с избытком кислорода u_b пропорциональна $\sqrt{P_{H_2O}}$, а скорость реакции $\sim \sqrt{P_{H_2O}}$.

Зависимость нормальной скорости пламени от содержания избыточного компонента

Были исследованы 5 серий смесей с избытком CO с $T_b = 1430, 1600, 1745, 2115$ и $2256^\circ K$, отдельные смеси с $T_b = 2400, 2600, 2850^\circ K$ 3 серии с избытком O_2 с $T_b = 1670, 2180$ и $2535^\circ K$.

Таблица 1

Зависимость скорости горения в смесях с избытком CO от состава и температуры горения

$T, ^\circ K$	Состав смеси			Избыток СО над стехио- метр. со- держ., %	Упру- гость водян. пара, мм	$u, \text{ см/сек}$	$u_n, \text{ см/сек}$	$u_{10}, \text{ см/сек}$	α_{CO}
	CO	O ₂	N ₂						
1430	30,0	6,5	63,5	17,1	13,9	32,3	13,0	13,5	19,5
	69,2	6,5	24,3	56,3	12,9	34,6	15,0	16,1	58,7
	93,5	6,5	—	80,5	12,3	33,5	13,6	15,0	82,9
1600	18,0	7,5	74,5	3,0	12,0	27,5	7,3	8,2	6,0
	21,0	7,5	71,5	6,0	12,8	29,0	9,9	10,7	9,0
	27,0	7,5	65,5	12,0	13,4	30,0	16,2	17,1	15,0
	39,0	7,5	53,5	24,0	14,0	45,0	21,0	21,7	27,0
	63,1	7,6	29,3	48,0	13,6	52,4	26,5	27,8	51,0
	92,4	7,6	—	77,2	12,8	55,6	26,7	28,9	80,2
1745	21,0	8,5	70,5	4,0	21,1	35,4	13,7	11,6	7,6
	30,0	8,5	61,5	13,1	22,4	48,0	21,9	17,9	16,7
	59,3	8,5	32,2	42,3	18,6	71,0	33,3	29,9	45,9
	91,5	8,5	—	74,4	22,4	80,0	40,0	32,8	78,0
2114	26,0	11,0	63,0	3,9	21,7	52,0	21,7	18,0	9,5
2117	32,0	11,0	57,0	9,9	20,1	63,8	27,6	23,8	15,2
2120	47,2	11,2	41,8	25,1	19,6	90,6	42,0	36,8	30,4
2108	89,0	11,0	—	67,0	21,1	86,0	50,6	42,6	72,3
2108	89,0	11,0	—	67,0	13,6	98,2	41,8	43,9	72,3
2256	28,0	12,1	59,9	3,7	13,6	37,5	19,6	20,6	9,7
	42,0	12,1	45,9	17,8					
	65,0	12,1	22,9	40,9					
	88,0	12,0	—	64,0					
Равномерного распространения нет									
2850	60	25	15	10,0	12,0	93	46,5	52,0	19,7
2400	50	13	37	24,0	13,6	84,1	35,1	36,8	30,9
2600	55	15	30	25,0	13,0	94,1	39,2	42,2	33,0

Таблица 2

Зависимость скорости горения в смесях с избытком O_2 от состава и температуры горения

°K	Состав смеси			Избыток O_2 над стехиометрич. содерж., %	Упруг. водян. пара, мм	u_u , см/сек	u_n , см/сек	u_{15} , см/сек	α_{O_2}
	CO	O_2	N_2						
70	15,9	11,1	73,0	4,1	12,7	28,2	7,7	8,3	9,5
	16,0	17,6	66,4	9,6	11,3	28,4	7,2	8,3	11,0
	16,2	37,3	46,5	29,2	12,8	28,6	7,7	8,8	30,5
	16,6	83,4	—	75,1	12,0	29,4	7,8	8,7	76,5
180	23,7	16,0	60,3	4,1	13,1	52,8	20,4	21,8	6,5
	23,8	19,9	56,3	8,0	14,5	52,5	20,4	20,8	10,4
	23,9	38,0	38,1	26,1	12,7	57,5	23,2	25,2	28,5
	24,0	76,0	—	64,0	11,6	56,8	22,3	25,3	66,4
535	33,8	20,9	45,3	4,0	11,4	67,2	27,3	31,4	7,2
	32,2	31,8	36,0	15,7	13,1	78,0	31,0	33,2	17,2
	31,8	46,1	22,1	30,1	11,4	73,2	28,6	32,8	33,2
	32,0	68,0	—	52,0	12,0	83,0	32,3	36,1	55,1

Результаты опытов со смесями, содержащими избыток CO, приведены в табл. 1, а опытов с избытком O_2 — в табл. 2. Опыты проделаны при атмосферном давлении методом открытой трубы.

В графе 1 дана температура горения сухой смеси, в 2—4 — состав, рассчитанный на сухую смесь; в 5 — избыток преобладающего компонента. Графа 6 дает содержание воды в смесях, определяемое температурой воды газометре. В графах 7 и 8 даны величины u_u и u_n , т. е. скорость равномерного распространения по трубе и вычисленная из нее (с учетом длины фронта) нормальная скорость.

Вследствие того что поддерживать постоянство температуры в воде газометра затруднительно, опыты проводились при несколько отличающихся содержаниях паров воды. Так как из данных Пассауэра, Фиока Кинга и наших, изложенных в предыдущем параграфе, следует, что при содержании воды в смеси до 3% скорость пламени можно считать удовлетворительной точностью $\sim \sqrt{P_{H_2O}}$ *, мы применили эту зависимость к полученным результатам для вычисления u_{15} , т. е. скорости горения смеси с данным соотношением CO, O_2 и N_2 при парциальном давлении водяного пара, равном 15 мм, выбранном нами в качестве стандарта.

В графе 9 дана величина u_{15} . В последней графе дана величина — эффективная концентрация избыточного компонента в зоне максимальной скорости реакции в пламени.

Для смесей с избытком окиси углерода α определяется выражением:

$$\alpha_{CO} = n_{CO, изб} + \frac{\bar{c}RT_b^2}{QA} \quad (7)$$

в случае избытка кислорода:

$$\alpha_{O_2} = n_{O_2, изб} + \frac{\bar{c}RT_b^2}{2QA} \quad (8)$$

* Так как поправка невелика, мы пренебрегли тем, что зависимость u от P_{H_2O} действительно различна для различных смесей.

Здесь \bar{c} — средняя теплоемкость смеси в зоне максимальной скорости; Q — тепловой эффект реакции в калориях на моль окиси углерода; $n_{\text{изб}}$ — избыток преобладающего компонента над его стехиометрическим содержанием.

У смесей одной серии опытов, имеющих одинаковую температуру горения, количество молей смеси, образующееся из 1 моля исходной смеси, постоянно. Поэтому при обработке экспериментальных данных можно пользоваться не истинной концентрацией избыточного компонента, а пропорциональной ей (несколько меньшей) величиной α .

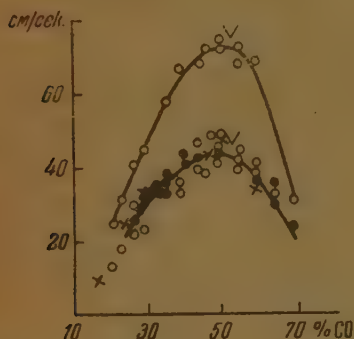


Рис. 8

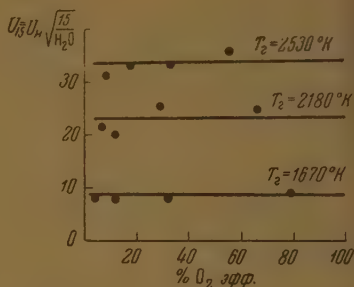


Рис. 9

При вычислении α допущены следующие упрощающие предположения: 1) $A = 25\,000$ кал для всех смесей, хотя, как будет показано, величину A нельзя считать постоянной; 2) \bar{c} не зависит ни от T_b , ни от состава смеси и равно 10 кал/моль град; 3) при вычислении $n_{\text{изб}}$ α содержанием водяных паров можно пренебречь; 4) Q не зависит от температуры.

Результаты наших опытов находятся в хорошем согласии с данными Хитрина, изучавшего зависимость скорости пламени в смесях окиси углерода с воздухом от содержания окиси углерода в исходной смеси. На рис. 8 наши данные нанесены на график совместно с данными Хитрина, пересчитанными к значениям u_{15} .

Рис. 9 иллюстрирует зависимость скорости пламени u_{15} от эффективной концентрации кислорода в смесях с недостатком горючего при $T_b = 1670$, 2180 и 2535°K . Скорость пламени, а следовательно, и скорость реакции, оказывается практически не зависящей от эффективной концентрации кислорода, хотя величина ее изменяется от 4,5 до 75% — более чем в 15 раз. Иными словами, в изученном интервале концентрации порядок реакции по кислороду оказывается нулевым, хотя, несомненно, при очень малых концентрациях кислорода уменьшение его содержания в смеси приводит к падению скорости реакции.

Независимость скорости реакции и скорости распространения пламени от содержания кислорода в смесях с недостатком горючего предшествовавшие исследователи не смогли обнаружить, так как изучали смеси окиси углерода в различных пропорциях с кислородом или воздухом, не соблюдая условия постоянства температуры горения. Если же сравнить, например, скорости пламени в смеси 16,6% $\text{CO} + 83,4\% \text{O}_2$ и в смеси 32% $\text{CO} + 68\% \text{O}_2$, то увеличение скорости пламени с 8 до 32 см/сек (в 4 раза) связано с тем, что значительно изменяется температура горения.

Зависимость скорости пламени от эффективной концентрации CO в смеси с избытком окиси углерода иллюстрирует рис. 10.

В координатах $\lg u_{15} - \lg \alpha_{\text{CO}}$ точки, соответствующие смесям с одинаковой температурой горения, укладываются на прямую линию. Угловые коэффициенты прямых, отвечающих $T_b = 1600, 1745$ и 2115°K , равны приблизительно 0,5, т. е. $u_n \sim \sqrt{\alpha_{\text{CO}}}$. Так как скорость реакции пропорциональна корню квадратному из скорости пламени, реакция в пламени идет первый порядок по окиси углерода. Только при самой низкой температуре $T_b = 1430^\circ \text{K}$ скорость пламени практически не зависит от α_{CO} ; заметные отступления наблюдаются также и при более высоких температурах при большом α_{CO} .

Описанные закономерности, характеризующие кинетику реакции, могут положить исходной точкой для выяснения механизма цепной реакции, протекающей в пламени окиси углерода. Истинная зависимость скорости горения от состава совершенно не похожа на полученные из наивных умозрительных предположений нашими предшественниками [16]. Наши данные, полученные из анализа скорости пламени, хорошо согласуются с результатами прямого экспериментального изучения реакции.

Каржавина [17] изучала кинетику окисления окиси углерода в струе при температурах $1070-1370^\circ \text{K}$. Установленные ею кинетические закономерности вполне согласуются с полученными нами. Вследствие методических трудностей абсолютные величины скорости реакции, как отмечено самим автором, не могут быть найдены из этих результатов. Поэтому измеренные нами величины скорости пламени не могут быть сравнены вычисленными на основании данных Каржавиной.

Исследование пламени позволило нам дойти до гораздо более высоких температур, где прямое измерение скорости реакции и температуры уже весьма затруднительно.

Исследование пламени позволило нам дойти до гораздо более высоких температур, где прямое измерение скорости реакции и температуры уже весьма затруднительно.

Влияние примесей продуктов горения на скорость пламени (определение энергии активации горения)

Влияние добавок изучалось при горении влажных смесей в стеклянной колбе при начальном давлении 200 мм. При этом непосредственно с фотографии измерялась скорость пламени относительно сгоревшего газа u_b . Были исследованы смеси 30% CO , 70% воздуха, 2% воды и 50% CO , 50% воздуха, 2% воды, тщательно очищенные от угольной кислоты. Каждой порции смеси добавлялось определенное количество продуктов горения, оставшихся в колбе от предыдущего опыта.

Со смесью каждого состава были проделаны три параллельных серии опытов. Во всех сериях парциальные давления чистой смеси и добавок продуктов горения подбирались таким образом, чтобы общее давление составляло 200 мм, а парциальное давление добавки — 0; 5; 10; 20 и 50 мм последовательно. В табл. 3 приведены результаты измерения скорости пламени относительно продуктов горения для всех трех серий опытов, средняя величина u_b , а также соответствующие данному составу T_b .

Несмотря на некоторый разброс точек, результаты опытов явственно показывают отсутствие специфического влияния малых добавок продуктов

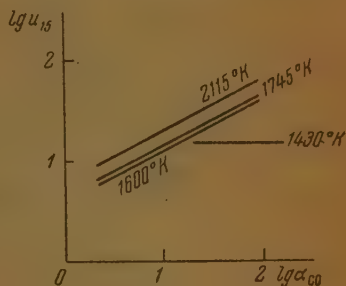


Рис. 10

Таблица

Р добавки, мм	u_b , см/сек			Среднее		Т, °К	$\frac{10^4}{T_b}$
	I опыт	II опыт	III опыт	\bar{u}_b	\bar{u}'		
I серия: 30% СО и 70% воздуха + 2% Н ₂ O							
0	125	167	156	149	21,6	2330	4,2
5	119	136	152	136	19,3	2310	4,3
10	127	109	144	123	17,2	2280	4,5
20	91	104	143	113	15,4	2210	4,7
50	63	87	77	75	9,1	2020	4,9
Энергия активации	A=54	A=42	A=53	$\bar{A}=49$			

II серия: 50% СО и 50% воздуха + 2% Н ₂ O							
0	251	182	242	225	35,7	2030	4,9
5	227	168	240	211	33,3	1980	5,0
10	145	157	210	171	26,8	1940	5,1
20	170	156	200	176	27,2	1860	5,3
50	137	106	114	118	17,4	1610	6,2
Энергия активации	A=18	A=19	A=26	$\bar{A}=21$			

горения на скорость распространения пламени. Об этом свидетельствуют средние величины:

$$g = \frac{3(u_0 - u_5)'}{u_5 - u_{20}} = 1,7 \quad (\text{I серия}), \quad g = 1,2 \quad (\text{II серия}).$$

Величина g показывает, насколько сильнее действие каждого миллиметра добавок вначале (0—5) по сравнению с последующим разбавлением (5—20). При наличии специфичности g было бы во много раз больше единицы.

Для вычисления теплоты активации скорость пламени необходимо пересчитать на количество вещества, сгорающего в единицу времени в единице поверхности фронта пламени u . Это количество вещества равно произведению массовой скорости на концентрацию горючей смеси. Введя обозначения: $P_{\text{доб}}$ — парциальное давление добавки продуктов горения в исходной смеси в мм, k — отношение числа молекул после и до горения ($^{6}/_7$ при 30% СО и $^{9}/_{10}$ при 50% СО), получим для $P_0 = 200$ мм и $T_0 = 290^\circ \text{К}$:

$$u' = u_b \frac{290}{T_b} \frac{200 - P_{\text{доб}}}{200} \frac{200}{(200 - P_{\text{доб}})k + P_{\text{доб}}} \quad (9)$$

Теория указывает, что скорость пламени пропорциональна корню из скорости реакции, поэтому теплота активации соответствует угловому коэффициенту прямой, полученной в координатах $2 \lg u' - \frac{1}{T}$ (рис. 11)

В табл. 3 для каждой серии вычислена по методу наименьших квадратов величина энергии активации. Таким образом, можно принять для 30% СО $A = 49 \pm 5,5$ ккал/моль, для 70% СО $A = 21 \pm 4,2$ ккал/моль.

Аналогичные опыты были произведены в металлической бомбе при $P = 1$ ата. Измеренные в них величины энергии активации приведены в табл. 4.

Таблица 4

смесей, %	CO-50, воз- дух 50	CO-29, воз- дух 71	CO-30, O ₂ -70	CO-35, O ₂ -15	2CO+O ₂	2CO+O ₂ (пе- ресчет данных Яна) [14]
°K	2030	2370	2330	2480	3000	3000
ккал/ моль	19,4	45,7	41,2	32,5	67,5	73

Для смеси $2\text{CO} + \text{O}_2$ существенна диссоциация продуктов горения, являющаяся α_{CO} более чем в 5 раз. В расчете теплоты активации мы считаем зависимости теплопроводности от температуры, что может изменить A на величину порядка RT_b , т. е. 4—5 ккал/моль; с другой стороны, если относить скорость реакции к данным парциальным давлениям, а к данным абсолютным концентрациям реагирующих молекул, то A увеличится на RT_b или $2RT_b$.

Влияние начальной температуры было заново исследовано Садовнико-

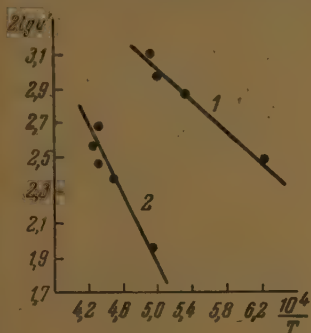


Рис. 11. 1 — 50% CO + 50% воздуха; 2 — 30% CO + 70% воздуха

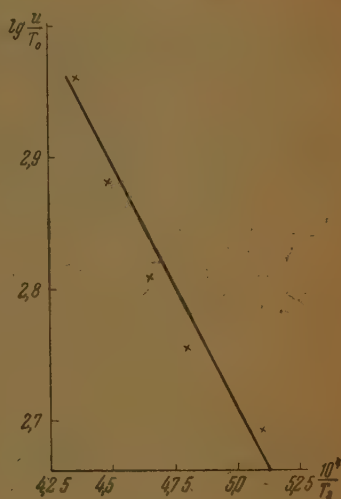


Рис. 12

и Симоновым в незаконченной работе 1941 г. Работа проводилась методом изучения скорости пламени в вертикальной трубе при движении пламени сверху вниз. В этом случае отличие плотностей продуктов горения от исходной смеси делает пламя плоским и практически $u_n = u_u$. Опыты проводились со смесью 49% CO, 49% воздуха и 2% H_2O . Ввиду непостоянства начальной температуры массовая скорость пропорциональна отношению $\frac{u}{T_0}$. На рис. 12 представлены результаты опытов в координатах $\lg \frac{u}{T_0} - \frac{1}{T_b}$. Наклон получающейся при этом прямой свечает энергии активации 18 ккал/моль, что находится в хорошем согласии с полученной в наших опытах величиной 19,4 ккал/моль. Это совпадение результатов, полученных двумя различными методами, является прямым экспериментальным подтверждением основного вывода теории горения. Скорость пламени зависит от скорости реакции при температуре, близкой к T_b . Изменение T_b за счет изменения T_0 (причем расстояние

от T_0 до температуры воспламенения существенно меняется) влияет на скорость пламени совершенно так же, как и изменение T_b за счет изменения состава смеси, при постоянном T_0 (при постоянном расстоянии от T_0 до температуры воспламенения).

Зависимость энергии активации от состава смеси указывает на сложность механизма реакции горения, при котором энергия активации является энергией активации какого-то определенного элементарного акта.

Метод разбавления смеси продуктами горения в совокупности с изложенным выше методом изменения эффективной концентрации избыточного компонента представляет, по нашему мнению, наиболее удобный способ для изучения кинетики реакции горения.

Зависимость скорости пламени от начального давления смеси

Данные предшествовавших исследований влияния давления на скорость пламени не могут быть использованы для выяснения зависимости скорости пламени от начального давления смеси либо из-за несоблюдения условия постоянства содержания воды, либо из-за применения смесей с чрезвычайно высокой температурой T_b . В последнем случае имеет место значительная диссоциация продуктов горения, которую подавляет повышение давления, что, в свою очередь, влияет на температуру горения. Все это затрудняет интерпретацию полученных результатов.

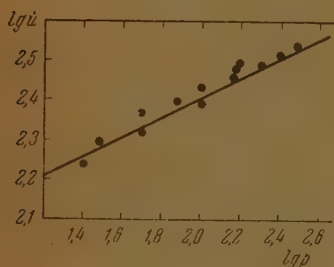


Рис. 13. 11% O_2 ; 0,9% H_2 и 88,1% CO

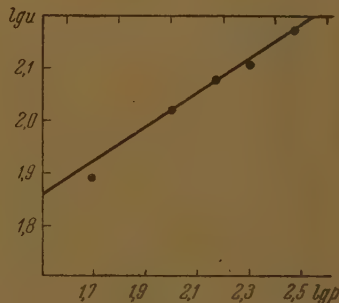


Рис. 14. 0,5% H_2 ; 76% O_2 ; 23,5% CO

Влияние давления изучено нами на двух водородсодержащих смесях — состав первой: CO 88,1%, O_2 11,0%, H_2 0,9%; второй: CO 23,5%, O_2 76,0%, H_2 0,5%. Опыты проделаны в стеклянных колбах при начальных давлениях 50—300 мм. На рис. 13 в логарифмических координатах представлены результаты опытов с обеими смесями.

В обоих случаях приблизительно можно считать

$$u_0 \sim P^{0,25} \quad (10)$$

Так как плотность смеси $\sim P$, а массовая скорость горения, равная произведению линейной скорости на плотность, пропорциональна $P^{1,25}$, то скорость реакции $\sim P^{2,5}$. Таким образом порядок реакции $n = 2,5$.

Механизм реакции и уравнение скорости

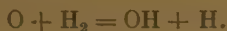
В работе Я. Б. Зельдовича и Н. Н. Семенова [19] рассмотрен вероятный механизм реакции горения окиси углерода, основанный на сведениях, полученных изучением самовоспламенения смесей CO. Принимается, что в основной цепи передатчика кислорода играет гидроксил:



Атомарный кислород реагирует либо с окисью углерода:



либо с водородом (разветвление):



Водяной пары и водород способны к взаимопревращениям:



Анализ совокупности этих реакций приводит к удовлетворительному объяснению независимости скорости реакции от содержания кислорода при пропорциональности ее концентрациям CO и H_2O , а также к правильным абсолютным значениям скорости реакции.

На основании полученных нами данных о зависимости скорости реакции от содержания избыточного компонента при постоянной T_b , о влиянии влаги и давления, а также литературных данных (Убеллоде, Ян, Лок и Кинг, Хитрин), можно предложить приближенную формулу для скорости реакции

$$w = \text{const } e^{-\frac{A}{RT}} P_{\text{CO}} P_{\text{H}_2\text{O}} \quad (11)$$

зависит от состава смеси; в работе Зельдовича и Семенова показано, что эффективная энергия активации, вычисляемая из описанного механизма, может меняться в зависимости от состава реагирующей смеси и температуры горения.

Приведенное выше простое выражение (11) является лишь первым приближением. Зависимость скорости реакции от содержания влаги различна в смесях с избытком окиси углерода или кислорода. При наименьшей из исследованных $T_b = 1400^\circ \text{K}$ скорость реакции не зависит от избытка окиси углерода.

Влияние давления исследовано нами недостаточно подробно (всего на двух смесях) и в интервале недостаточно широком для того, чтобы на основании опытных данных можно было отличить степенной закон от предложенного Л. Н. Хитриным [20] уравнения $u_n \rho = A(p - p_{\text{мин}}) + u_{\text{мин}} \rho_{\text{мин}}$, где индексом мин отмечены величины, относящиеся к минимальному давлению, при котором возможно распространение пламени. Имея в виду, что плотность газа пропорциональна давлению, уравнение Хитрина можно записать так:

$$u_n = A' - \frac{B}{p}, \quad \text{где } A' = A \frac{p}{\rho} = ART; \quad B = (A' - u_{\text{мин}}) p_{\text{мин}}.$$

Такая форма зависимости, в которой в пределе, при высоком давлении, линейная скорость постоянна (не зависит от давления), а наблюдаемая зависимость скорости от давления целиком связана с существованием

минимального давления, т. е. по существу с теплоотдачей из зоны горения теоретически весьма привлекательна. Из теории следует, что том случае, когда все элементарные акты химического превращения происходят только при попарных (двойных) столкновениях молекул, радикалов и атомов, скорость горения не зависит от давления. Если в кинетике химической реакции не играют заметной роли тройные соударения и мономолекулярный распад, то независимость скорости горения от давления сохраняется и для нескольких параллельных или последовательных реакций, при учете диффузии активных центров, при любом различии молекулярных весов компонентов.

В рассмотренном случае при изменении давления скорости различных элементарных реакций меняются подобно, и поэтому скорость горения пропорциональна скорости молекул и не зависит от давления. Несомненно желательно дальнейшее, более подробное, теоретическое исследование цепной кинетики реакции.

В последнее время получены новые исходные данные для такого исследования, новые сведения об элементарных процессах — Л. И. Авраменко [21].

С другой стороны, цепной механизм объясняет не только наблюдаемую скорость реакции, но и такие особенности, как цвет и интенсивность свечения пламени СО, вопрос о равновесии водяного газа в продуктах горения и много других вопросов, интересующих химиков на протяжении целого века.

Пользуемся случаем выразить благодарность за ценные дискуссии и помощь в работе и подготовке к печати В. В. Воеводскому, В. Н. Кондратьеву, А. И. Розловскому, И. Я. Шляпнотиху и Ф. И. Юдину.

Выводы

1. Изучена скорость распространения пламени в смесях окиси углерода с кислородом и азотом в зависимости от содержания воды, избыточного компонента, температуры горения и давления реагирующей смеси. Распространение пламени в горизонтальной трубе, стеклянной колбе и металлической бомбе изучалось фотографическим методом.

2. Скорость реакции в смесях с избытком окиси углерода пропорциональна содержанию воды или водорода, в смесях с избытком кислорода — корню квадратному из концентрации воды или водорода.

3. Показано, что для изучения влияния состава смеси на скорость пламени нужно проводить опыты со смесями, имеющими одинаковую температуру горения. При этом оказывается, что скорость реакции не зависит от эффективной концентрации находящегося в избытке кислорода и пропорциональна эффективной концентрации избыточной окиси углерода. При низких температурах скорость реакции не зависит от концентрации окиси углерода.

4. Методом, в котором к смеси добавлялись продукты ее горения, измерена энергия активации реакции. Величина энергии активации сильно зависит от состава смеси, что свидетельствует о сложности механизма реакции.

5. Скорость реакции пропорциональна $P^{2,5}$.

6. Дано приближенное выражение скорости реакции в пламени.

ЛИТЕРАТУРА

- В. А. Михельсон, Собрание сочинений т. 1. Москва, Изд-во «Новый агроном», 1930.
- J. Taffanel, C. R., 157, 714, 1913; 158, 42, 1913.
- B. Lewis a. G. Elbe, Journ. Chem. Phys., 2, 537, 1934.
- Я. Б. Зельдович и Д. А. Франк-Каменецкий, Журн. физ. хим., 12, 100, 1938.
- Я. Б. Зельдович, Теория горения и детонации газов, М., 1944.
- Я. Б. Зельдович, Журн. физ. хим., 11, 159, 1941.
- Я. Б. Зельдович, Журн. физ. хим., 22, 27, 1948.
- C. Ellis, Fuel, 7, 249, 1928.
- H. Coward a. F. J. Hartwell, Journ. Chem. Soc., 1996, 2076, 1932.
- Л. Н. Хитрин, Журн. техн. физ., 7, 7, 1937.
- Г. А. Барский и Я. Б. Зельдович, Журн. физ. хим., 24, 589, 1950.
- А. Ф. Беляев, Журн. физ. хим., 12, 92, 1938; 14, 1000, 1940.
- E. F. Fock a. R. O. King, NACA Rep., 531, 1935.
- L. Ubbelohde u. O. Dörmmer, Gas- und Wasserfach, 57, 733, 1914.
- L. Ubbelohde u. R. Anwandter, Gas und Wasserfach, 60, 225, 1917.
- R. W. Stevens, Journ. Am. Chem. Soc., 48, 1896, 1926.
- Н. А. Каржавина, Журн. физ. хим., 19, 55, 1945.
- G. Jahn, Der Zündvorgang in Gasgemischen, 1934, Journ. Am. Chem. Soc., 48, 1896, 1926.
- Я. Б. Зельдович и Н. Н. Семенов, ЖЭТФ, 12, 1427, 1940.
- Л. Н. Хитрин, Журн. физ. хим., 22, 823, 1948.
- Л. И. Авраменко, Журн. физ. хим., 21, 1135, 1947.

УРАВНЕНИЕ ФИЗИЧЕСКОГО СОСТОЯНИЯ ВЕЩЕСТВА В ЧАСТНЫХ ПРОИЗВОДНЫХ

Т. Ф. Иванов

Если принять, что междумолекулярное взаимодействие вещества в газообразном (и жидком) состоянии практически не влияет на энергию колебательных и вращательных степеней свободы молекул, то состояние реального газа (жидкости) может быть достаточно точно определено при помощи классической молекулярно-кинетической теории.

Отклонение реальных газов (жидкостей) от уравнения состояния:

$$p(V - b) = RT = \frac{2}{3} E_i,$$

можно объяснить тем, что энергия поступательного движения молекул соответствующая E_i идеального газа, в реальных газах (жидкостях) проявляется в двух направлениях: 1) преодоление внешнего давления p 2) преодоление внутреннего давления p_r , обусловленного междумолекулярным взаимодействием.

С этой точки зрения можно принять, что в применении к любому реальному газу (жидкости) справедливо уравнение состояния:

$$(p + p_r)(V - b) = RT = \frac{2}{3} E_i, \quad (1)$$

где b — поправка ван-дер-Ваальса на объем молекул.

Будем рассматривать энергию междумолекулярного взаимодействия как энергию торможения, т. е. как энергию поступательного движения молекул, скорость которого обратна по направлению скорости, обусловленной энергией E_i . Тогда, исходя из представлений молекулярно-кинетической теории газов и уравнения (1), получим

$$p(V - b) = \frac{2}{3} E_i - \frac{2}{3} E_r. \quad (2)$$

Некоторые исследователи приравнивают значения:

$$p_r = \left(\frac{\partial U}{\partial V} \right)_T, \quad (2)$$

и получают

$$T \left(\frac{\partial p}{\partial T} \right)_V = \frac{RT}{V - b}. \quad (3)$$

Однако это уравнение справедливо лишь в применении к разреженным газам.

В связи с тем что так называемое внутреннее давление p_r обусловлено силами, действующими между молекулами газа (жидкости) в состоя-

и равновесия, величина же $\left(\frac{\partial U}{\partial V}\right)_T$ обязательно связана с изменением объема, в применении к реальным газам и жидкостям, уравнение (4):

$$\left(\frac{\partial U}{\partial V}\right)_T = \frac{E_r}{V-b} = 1,5 p_r, \quad (4)$$

называется более обоснованным, чем (3). Из (1), (2), (4) получаем

$$\left(\frac{\partial U}{\partial V}\right)_T = \frac{1,5 RT}{V-b} - 1,5 p. \quad (5)$$

сочетая (5) с известным уравнением термодинамики

$$\left(\frac{\partial U}{\partial V}\right)_T = T \left(\frac{\partial p}{\partial T}\right)_V - p,$$

получим выражение для термического коэффициента давления:

$$T \left(\frac{\partial p}{\partial T}\right)_V = \frac{1,5 RT}{V-b} - 0,5 p \quad (6)$$

ли

$$\left(\frac{\partial p}{\partial T}\right)_V = \frac{1,5 R}{V} - \frac{0,5 p}{T} + \frac{1,5 R b}{V(V-b)}. \quad (7)$$

Величина b — объемная поправка ван-дер-Ваальса — в общем случае зависит как от объема, так и от температуры.

Изменение b в зависимости от температуры обусловливается двумя факторами: 1) увеличение размеров молекул, вызываемое повышением колебательных и вращательных уровней молекул при повышении температуры; 2) деформация молекул при их столкновении [1].

При малых объемах преобладает первый фактор, и величина b с повышением температуры увеличивается.

При больших объемах первый фактор подавляется вторым, и b с повышением температуры уменьшается.

В критической точке величина b , вычисленная для разных веществ из уравнения (7), оказалась приблизительно равной $1/3$ критического объема.

При двухфазовом состоянии вещества, полагая b величиной аддитивной и обозначив: b' — значение b в точке насыщения жидкости в л/моль, b'' — значение b в точке насыщения пара при той же температуре, V' — объем жидкости в точке ее насыщения в л/моль, V'' — объем пара в точке его насыщения при той же температуре, получим

$$b = AV + b' - AV', \quad (8)$$

где

$$A = \frac{b'' - b'}{V'' - V'}.$$

Подставив в уравнение (7) значение b из (8) и проинтегрировав полученное уравнение, получим выражение для скрытой теплоты испарения

$$T \Delta S = \frac{6,86 T}{1-A} \lg \frac{V'' - \frac{b' - AV'}{1-A}}{V' - \frac{b' - AV'}{1-A}} - 12,11 p (V'' - V'), \quad (9)$$

где P — упругость паров при данной температуре в физических атмосферах; $T \Delta S$ — скрытая теплота испарения в кал/моль.

При температурах, много ниже критической, увеличение b при переходе вещества из жидкости в пар не оказывает влияния на результаты вычисления, и уравнению (9) можно приписать вид:

$$T\Delta S = 6.86 T \lg \frac{V'' - b}{V' - b} - 12.11 p (V'' - V'). \quad (10)$$

В случае воды величина b в применении к уравнению (10) для $T = 550^\circ \text{K}$ достаточно точно определяется экстраполяционной формулой

$$b = \frac{0.0235 T}{T - 216}. \quad (11)$$

Полученные из уравнения (10) с применением (11) значения скрытых теплот испарения воды в пределах температур от 0° до 300°C отличаются от опытных [2] не более как на 0.5% .

Таблица 1

Скрытые теплоты испарения воды экспериментальные [2] и вычисленные из уравнения (10)

Температура, $^\circ \text{K}$	b	$T\Delta S$ вычисленные, ккал/моль	$T\Delta S$ опытные, ккал/моль	Расхождение, ккал/моль
275.2	0.01332	10.76	10.74	0.02
280.2	0.01341	10.68	10.69	0.01
298.2	0.0138	10.48	10.51	0.03
318.2	0.01435	10.28	10.3	0.02
373.2	0.0153	9.71	9.71	0.00
423.2	0.01571	9.06	9.09	0.03
473.2	0.0163	8.37	8.35	0.02
523.2	0.01662	7.41	7.38	0.03

Если объем вещества в газообразном состоянии в два или более раз превышает критический объем, то величина $\frac{Rb}{V(V-b)}$ в уравнении (7) составляет не более 20% от величины термического коэффициента давления. Поэтому ошибка при вычислении термического коэффициента давления из уравнения (7), связанная с незнанием точной зависимости величины b от объема и температуры газа, может быть легко уменьшена до $1-2\%$ подбором эмпирической формулы для выражения $\frac{Rb}{V(V-b)}$ в применении к некоторым веществам имеющей вид:

$$\frac{Rb}{V(V-b)} = \frac{A}{(T - T_0)(V^2 + C)} \left(\frac{1}{T - T_0} - \frac{0.5}{T} \right), \quad (12)$$

где T_0 и C — эмпирически определяемые константы.

Из (7) и (12) получаем

$$\left(\frac{\partial p}{\partial T} \right)_V = \frac{1.5R}{V} - \frac{0.5p}{T} - \frac{A}{(T - T_0)(V^2 + C)} \left(\frac{1}{T - T_0} - \frac{0.5}{T} \right). \quad (13)$$

ли уравнение газообразного состояния вещества написать в виде:

$$p = \frac{RT}{V} - f(V, T), \quad (14)$$

сочетая (13) с частной производной $\left(\frac{\partial p}{\partial T}\right)_T$, полученной при дифференцировании (14), и проведя интегрирование, получим уравнение состояния газа в виде:

$$p = \frac{RT}{V} - \frac{A_0}{(T - T_0)(V^2 - C)}. \quad (15)$$

например, уравнение (13) в применении к водяному пару, имеющее вид:

$$\left(\frac{\partial p}{\partial T}\right)_V = \frac{0,1231}{V} - \frac{0,5p}{T} + \frac{1118}{(T - 323)(V^2 + 0,0037)} \left(\frac{1}{T - 323} - \frac{0,5}{T}\right), \quad (16)$$

о точности не уступает соответствующему уравнению М. П. Вукаловича может быть использовано для вычисления внутренней энергии, энтропии и теплоемкости.

Во всех приведенных выше уравнениях давление измеряется в физических атмосферах и объем — в л/моль.

Уравнение (15), отнесенное к 1 кг водяного пара, имеет вид:

$$p = \frac{0,0047053T}{V} - \frac{4,415}{(T - 323)(V^2 + 0,04114)}, \quad (17)$$

где p — давление в кг/см², V — объем в м³/кг пара.

Таблица 2

Давление водяного пара при различных объемах и температурах

Температура, °K	Объем, л/кг	Давление в кг/см ²	
		вычислено по уравнению (17)	по Вукаловичу
603,2	0,015	122,5	122,5
603,2	0,02	103,6	103,5
603,2	0,03	77,3	77,3
673,2	0,01	203,8	203,8
673,2	0,02	127,8	127,8
673,2	0,1	30,4	30,4
773,2	0,01	275,7	275,2
773,2	0,015	201,4	201,4
773,2	0,02	158,1	158,3
773,2	0,1	35,4	35,4

В табл. 2 приведены значения давлений водяного пара при различных объемах и температурах, вычисленные из уравнения (17) и взятые из таблиц М. П. Вукаловича [2]. Расхождения не превышают 0,2%.

ЦИЛ
Гурьев

Поступила
8. VIII. 1949

ЛИТЕРАТУРА

1. Я. И. Френкель, Кинетическая теория жидкости, 1945.
2. М. П. Вукалович, Термодинамические свойства водяного пара, 1946.

ВЯЗКОСТЬ СЕРНОГО АНГИДРИДА

А. Г. Амелин, В. В. Илларионов и З. Б. Бородастова

Единственными данными по вязкости серного ангидрида являются результаты определений Г. П. Лучинского [1], полученные с серным ангидридом, приготовленным путем отгонки его из высокопроцентного олеума. Как известно, серный ангидрид является очень гигроскопичным веществом, поэтому такой метод приготовления не гарантирует достаточно полного удаления влаги, и это могло повлиять на полученные результаты. Между тем жидкий серный ангидрид находит широкое применение в лабораторной и производственной практике, и поэтому было целесообразно повторить эти определения.

Вязкость серного ангидрида определялась по скорости истечения его через капилляр в видоизмененном вискозиметре Льюиса для растворов газов в жидкостях [2]. Изменение состояло в том, что в верхней части вискозиметра был припаян буферный отросток, оканчивающийся калиброванным шариком, емкостью около 10 см^3 (рис. 1). Кроме того, вискозиметр имел несколько измененную нижнюю часть для ускорения заполнения его при работе*.

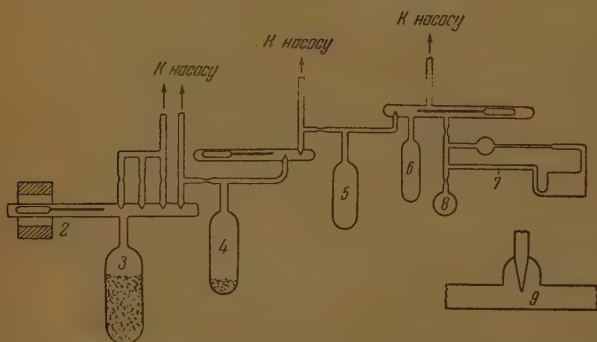


Рис. 1. Схема установки для очистки серного ангидрида.
1 — катушка; 2 — железный стержень; 3, 4, 5, 6 — ампулы;
7 — вискозиметр; 8 — калиброванная ампула; 9 — капилляр

Определение вязкости производилось с одним и тем же измеренным количеством жидкого серного ангидрида, а ошибка на изменение его объема при нагревании устранялась соответствующим перерасчетом.

Серный ангидрид получался отгонкой из высокопроцентного олеума с добавлением двухромовокислого калия для окисления сернистого ангидрида [3]. Полученный таким образом препарат был достаточно чистым, но содержал около 2% серной кислоты. Для более полной осушки серный ангидрид подвергался тройной перегонке в тщательно высушенной стеклянной запаянной установке, схематически изображенной на рис. 1. Эта установка при помощи тонких запаянных капилляров была разделена на четыре части, в каждой из которых имелось по одной ампуле. Сушка установки проводилась в течение 6 час. при температуре 300°C в термостате при одновременном ее эвакуировании. Вакуум создавался специальной установкой, состоящей из двух

* Устройство нижней части вискозиметра предложено А. С. Ленским.

тно-конденсационных насосов и соответствующей вспомогательной аппаратуры. я проведения процесса осушки все части установки поочередно в местах, отмеченных стрелками, принаивались к высоковакуумной установке.

Ампула 3 была наполнена смесью серного и фосфорного ангидридов и соединялась с высоковакуумной установкой при помощи трех капиллярных отростков. Эта установка была предназначена для удаления воздуха, растворенного в серном ангидриде. Операция состояла в том, что серный ангидрид в ампуле 3 замораживался жидким воздухом, а затем магнитным ударником 2 разбивался первый капилляр и в системе создавался вакуум. После этого отросток, в который был впаив этот капилляр, переплавлялся, а ампула извлекалась из сосуда Дьюара и нагревалась для таяния серного ангидрида. Затем серный ангидрид снова замораживался, соединялся с вакуум-установкой, и эта операция повторялась последовательно три раза. После того как следующая часть установки была высушена, магнитным ударником 2 разбивался капилляр, разъединявший ампулы 3 и 4, и около $\frac{2}{3}$ серного ангидрида перегонялось в ампулу 4. Затем первая часть установки отпаивалась в месте ретинки, и разбивался следующий капилляр, разъединявший ампулы 4 и 5.

Таким же образом производилась дальнейшая перегонка серного ангидрида вплоть до калиброванного шарика вискозиметра.

Наполненный необходимым количеством серного ангидрида вискозиметр отпаивался, жидкость переливалась в его нижнюю часть, и он помещался в термостат в горизонтальном положении капиллярной трубкой вниз, вследствие чего серный ангидрид начинал заполнять эту часть прибора. Когда в ней собиралось достаточное количество жидкости, вискозиметр укреплялся в вертикальном положении, и по секундомеру определялось время истечения серного ангидрида, заключенного между двумя этками.

Абсолютная динамическая вязкость вычислялась по известной формуле:

$$\eta = K\tau\rho, \quad (1)$$

где η — абсолютная динамическая вязкость, τ — время истечения, ρ — плотность, K — коэффициент пропорциональности.

Для плотности серного ангидрида во всех расчетах были использованы средние арифметические данные Лихти и Берту [4]. Коэффициент пропорциональности менялся с температурой вследствие изменения объема перетекающей жидкости, длины радиуса капилляра; он был определен для каждой температуры по измерению времени истечения воды по формуле:

$$K = \frac{\eta_{H_2O}}{\rho_{H_2O} \tau} \quad (2)$$

Для вычисления K были использованы значения вязкости и плотности воды, указанные в справочной литературе [4, 5].

В табл. 1 приведены результаты измерений абсолютной динамической вязкости при различных температурах.

Для сопоставления с литературными данными [1], обработанными при помощи уравнения Бачинского [6], нами была проведена такая же обработка, результаты которой представлены на рис. 2. Из данных рис. 2 видно, что наши данные отличаются от литературных и не укладываются на прямую. При этом имеет место кажущийся излом.

Как известно, уравнение Бачинского справедливо в случае неассоциированных жидкостей. Поэтому мы считаем, что это уравнение не применимо к серному ангидриду, представляющего собой псевдомonomолекулярную систему. Жидкая фаза серного ангидрида, по видимому, состоит из молекул

Таблица 1

Экспериментальные
данные по вязкости
серного ангидрида

Температура, °C	Вязкость сантипуаз
18,1	2,353
28,85	1,884
28,5	1,597
32,8	1,402
36	1,236
39,5	1,103
42,8	0,995
46,3	0,902
49,6	0,823

(SO_3)₃ и SO_3 , находящихся в равновесии. Этот вывод в литературе не подчеркнут, поэтому полученные результаты являются убедительным доказательством существования такого равновесия.

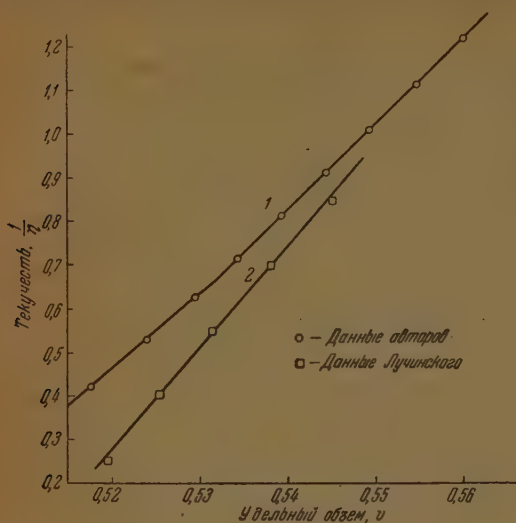
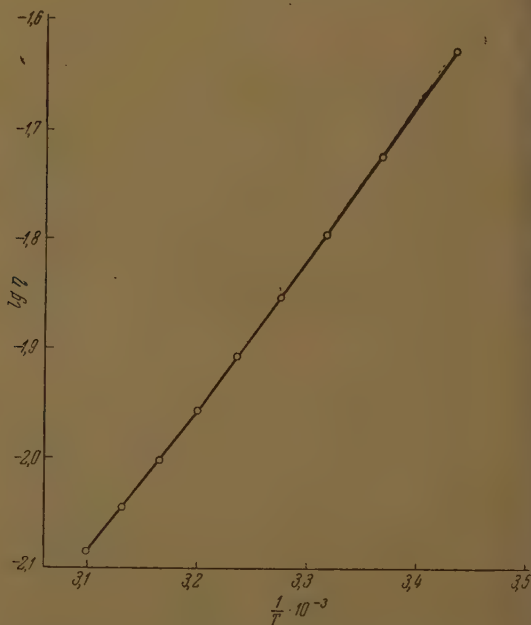


Рис. 2. Зависимость текучести серного ангидрида от удельного объема. 1 — данные авторов; 2 — данные Лучинского

Рис. 3. Зависимость вязкости серного ангидрида от температуры



На рис. 3 приведена зависимость $\lg \eta$ от $\frac{1}{T}$. Экспериментальные точки укладываются на кривую, выражаемую следующим уравнением:

$$\lg \eta = -3,06511 - \frac{630,8638}{T} + \frac{305559}{T^2}, \quad (3)$$

где η — вязкость, пуаз; T — абсолютная температура.

Уравнение (3) получено обработкой данных, приведенных в табл. 1, методом наименьших квадратов.

В табл. 2 представлены значения вязкости серного ангидрида в температурном интервале 17–50° С, рассчитанные по уравнению (3).

Таблица 2

Вязкость серного ангидрида в сантипуазах при температуре 17–50° С

0	1	2	3	4	5	6	7	8	9
—	—	—	—	—	—	—	2,460	2,364	2,272
2,184	2,101	2,022	1,947	1,876	1,808	1,743	1,681	1,622	1,566
1,512	1,461	1,412	1,365	1,320	1,277	1,236	1,197	1,159	1,123
1,089	1,056	1,024	0,993	0,964	0,936	0,909	0,883	0,868	0,834
0,812	—	—	—	—	—	—	—	—	—

Полученные нами экспериментальные данные приближенно могли бы быть уложены на две прямые, пересекающиеся при температуре 40,8° С, что соответствовало бы наличию двух жидких фаз серного ангидрида, стабильных при разной температуре. Однако это находится в противоречии с весьма тщательными замерам упругости паров серного ангидрида в широком температурном интервале, показывающими прямолинейную зависимость $\lg p$ от $\frac{1}{T}$.

Последнее соображение делает неприемлемым в данном случае воззрение С. С. Уразовского [7], согласно которому точкам плавления отдельных тропических модификаций отвечают изменения физических свойств жидкой фазы, обуславливаемые установлением нового ближнего порядка в жидкости. Воззрение С. С. Уразовского неприемлемо также потому, что точка излома прямой отвечает температуре 40,8° С, в то время как температуры плавления стабильных α - и β -модификаций серного ангидрида соответственно равны 16,8 и 32,5° С.

Полученная кривая $\lg \eta$ от $\frac{1}{T}$ наглядно показывает зависимость константы равновесия диссоциации $(\text{SO}_3)_3$ от температуры. При этом с повышением температуры имеет место снижение величины энергии активации вязкости, указывающее на повышение доли мономерной формы серного ангидрида в жидкой фазе.

Энергия вязкости серного ангидрида понижается с повышением температуры от 6696 кал/моль при 18° С до 5750 кал/моль при 50° С и в этом интервале выражается уравнением

$$\epsilon_B = 7318 - 36,365t + 0,0999t^2$$

где ϵ_B — энергия активации вязкости, кал/моль; t — температура.

Продолжаемые нами работы по серному ангидриду, в частности работы по определению равновесий в газовой фазе, позволят нам сделать более определенные выводы о характере жидкого серного ангидрида.

Выводы

1. Определена вязкость серного ангидрида высокой степени осушки в температурном интервале 18,1–49,6° С.

2. Показано, что жидкая фаза серного ангидрида является комплексной системой, в которой, повидимому, имеет место равновесие $(\text{SO}_3)_3 \rightarrow 3\text{SO}_3$, смещающееся с повышением температуры в сторону SO_3 .

3. Получены уравнения зависимости вязкости и энергии активации вязкости серного ангидрида от температуры.

Научный институт по удобрениям
и инсектофунгицидам
Москва

Поступила
12.XII.1949

ЛИТЕРАТУРА

1. Г. П. Лучинский, ЖФХ, **12**, 280, 1938.
2. Э. Гатчек, Вязкость жидкостей, ОНТИ, 1935.
3. А. Г. Амелин и З. Б. Бородастова, ЖПХ. **25**, № 9, 1949.
4. Т. Э., Спр. физ.-хим. вел., **5**, 1930.
5. Т. Э., Спр. физ.-хим. вел., **10**, 1933.
6. A. Batschinski, Zeit. Physik. Chem., **84**, 64, 1913.
7. С. С. Уразовский и сотр., Журн. физ. хим., **22**, 417, 1948; **23**, 1421, 1949; **24**, 58, 63, 1950.

АНОДНОЕ РАСТВОРЕНИЕ ТЕКСТУРИРОВАННОГО МЕТАЛЛА*

С. Воздвиженский, Г. П. Дезидерьев и В. А. Дмитриев

В предыдущей работе [2] одним из нас выдвинуто представление о процессе анодного растворения металла, как о процессе закономерного избирательного растворения отдельных элементов поверхности (электрокристаллизация), относящихся к кристаллической решетке металла. Серьезным закономерным следствием такого представления являлось появление [3] новой характеристики поверхности металла, подвергнутого анодному растворению при определенном режиме процесса. Этой новой характеристике предварительно и условно было дано название «текстура травления»; под этим следует понимать не только чисто поверхностное, но и в известной мере глубинное расположение фигур травления. Текстура травления должна, очевидно, являться причиной целого ряда свойств поверхности металла, как, например, смачиваемость, смазываемость, состояние с электролитическими осадками, сопротивление коррозии, и другие свойства.

В целях экспериментального обнаружения текстуры травления на анодированных поверхностях нами были осуществлены опыты анодного растворения текстурированных образцов массивного металла и обычных гальванических осадков [4]. При постановке этих опытов мы исходили из следующих соображений. Очевидно, всякое упорядочение в расположении кристаллитов, составляющих поверхностные слои металла, должно способствовать наиболее четкому выявлению текстуры травления по какому-нибудь характерному для нее свойству. Одним из таких свойств является, как уже указано, блеск поверхности металла. Действительно, металлографии известен особый метод определения ориентировки кристаллитов, так называемый метод максимального блеска [5]. Тамман в свое время применял этот метод для определения ориентировки медных кристаллитов на шлифе, протравленном персульфатом аммония. Так как при освещении такого шлифа вся поверхность светилась равномерно и обнаруживала явление максимального блеска, то следовало сделать предположение, что, кроме видимых фигур травления, на шлифе появились также многочисленные, очень малые, невидимые при увеличении в 900 раз, также точно ориентированные фигуры.

Таким образом упорядоченное расположение мельчайших фигур травления, текстура травления, обуславливает явление максимального блеска. Отсюда, очевидно, мы вправе сделать и обратное заключение, что в случае явления поверхностей, дающих эффект максимального блеска, причину этого следует видеть в отчетливой текстуре травления, степень совершенства которой должна повышаться с повышением степени совершенства обычной текстуры металла.

Следует, однако, отметить, что для наиболее отчетливого ее выявления необходимо работать с поверхностью, приближающейся к поверхности монокристалла. В этом случае наибольшая точность ориентировки фигур травления даст также и наибольший эффект блеска. Его наличие, а также большая или меньшая величина, и будет являться критерием оценки текстуры травления.

* Частично доложено на второй Всесоюзной конференции по теоретической прикладной электрохимии [1].

Известно, что одним из способов приближения структуры поверхности поликристаллита к структуре квази-монокристалла является текстурирование. На этом основании для проверки наших предположений о наличии структуры травления мы избрали случай анодного растворения текстурированного металла.

При проведении наших опытов необходимо было считаться и с тем, что структура поверхности поликристаллита будет определяться не только осью текстуры, но и реальной огранкой кристаллов, выходящих на поверхность [6]. К сожалению, проверенных данных о реальной огранке кристаллов различных металлов и металлических покрытий мы, видимо, не имеем за немногими исключениями. К числу таких удачных исключений относится медь, которая как в компактных кусках, так и в электролитических покрытиях в основном состоит из октаэдров [7]. В соответствии с этим большинство наших опытов, результаты которых публикуются в настоящей статье, поставлены с медью.

ЭКСПЕРИМЕНТАЛЬНАЯ ЧАСТЬ*

Анодное растворение меди

В качестве материала применялась прутковая медь. Последующая обработка образцов производилась различными приемами, обеспечивающими, по литературным данным, наибольшее текстурирование поверхности. Подготовленный образец подвергался анодному растворению в электролитической ванне, содержащей фосфорную кислоту уд. веса 1,55. Ванна имела рабочий объем, равный 1 л. Катоды были изготовлены из свинца. Образец подвешивался между двумя катодами на расстоянии 3 см. Режимы растворения указаны далее при описании соответствующих опытов.

Определение блеска (зеркального отражения) изучаемых образцов производилось на приборе типа рефлексометра с фотоэлементом [8]. Блеск характеризовался условными относительными единицами. Точность измерения была вполне достаточна, так же как и воспроизводимость величин для образцов, полученных при определенном режиме.

Опыты с образцами в состоянии отжига

Отжиг образцов производился в атмосфере водорода или вакууме при 800°C в течение 4 час. Образцы для исследования, взятые в виде цилиндров длиной около 25 мм, изготовлялись путем распила из медного прутка диаметром 10 мм. В целях текстурирования один конец образца ровнотрубался зубилом. Полученный таким образом текстурированный торец обладал значительным блеском. Торцовая часть образца по месту распила сначала шлифовалась наждачной шкуркой различных номеров, а затем полировалась на фетровом круге с применением пасты «ГОИ» до блеска, равнозначного с блеском торца, текстурированного срубанием. Образец после обезжиривания и промывки подвергался анодному растворению в ванне указанного выше состава при следующем режиме: анодная плотность тока 100 А/дм^2 , температура ванны 25°C , напряжение 7 В. Через небольшие промежутки времени обработки образец извлекался из ванны, просушивался и поступал на измерение его блеска. Результаты представлены на рис. 1.

Как видно из рисунка, блеск поверхности нетекстурированного образца вначале быстро уменьшается (почти в четыре раза), а в дальнейшем, в пределах времени опыта (до 9 мин.), остается практически постоянным. Визуальное наблюдение указывает на значительное растравливание поверхности образца. Блеск текстурированной поверхности вначале быстро повышается, а в дальнейшем остается почти постоянным.

* При участии А. Г. Можановой и А. А. Кузнецова.

Если оба торца (и после распилки, и после срубания) обработать наждачной шкуркой 000 и подвергнуть анодному растворению ($D_A = 50 \text{ А/дм}^2$, напряжение 3,5 В), то результаты измерения блеска и его изменения времени могут быть представлены на рис. 2.

Как видно из рисунка, в этих условиях блеск нетекстурированного рпа вначале увеличивается (более чем вдвое), а далее уменьшается и рез 6 мин. достигает примерно своих прежних значений. Блеск текстурированной поверхности вначале быстро возрастает (более чем в три раза), далее практически остается постоянным, в пределах времени опыта.

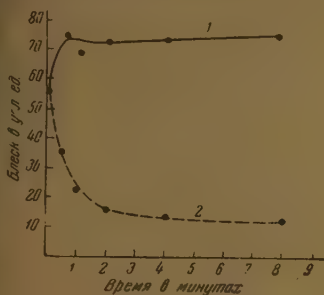


Рис. 1. 1 — сруб, 2 — шлиф

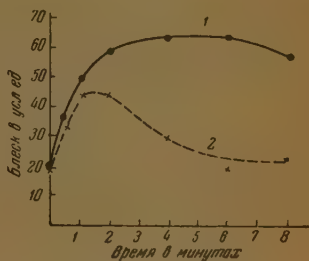


Рис. 2. 1 — сруб, 2 — шлиф

Опыты с образцами в состоянии поставки

Подготовка образцов производилась описанными выше приемами, за исключением отжига. Торцы после распила и срубания обрабатывались наждачной шкуркой 000 и подвергались анодному растворению при плотности тока 100 А/дм^2 и напряжении 7 В. Результаты измерения блеска и его изменения со временем обработки представлены на рис. 3.

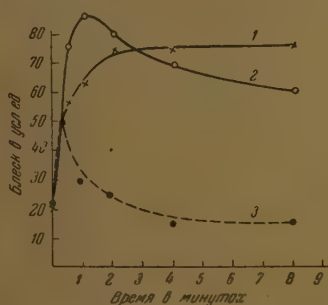


Рис. 3. 1 — продольная поверхность, 2 — сруб, 3 — шлиф

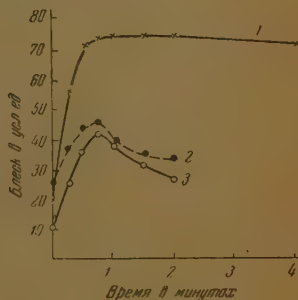


Рис. 4. 1 — глубокая вытяжка, 2 — отжиг и обработка шкуркой, 3 — отжиг

Как видно из рисунка, блеск поверхности нетекстурированного образца сначала быстро повышается (в два с лишним раза), а затем быстро уменьшается почти до исходного значения. Блеск поверхности текстурированного образца сначала резко возрастает (в четыре раза), а затем постепенно уменьшается, далеко не достигая исходных значений.

На рисунке приведены еще данные измерения блеска на продольной поверхности образца, предварительно срезанной на 3 мм и далее отшлифованной наждачной шкуркой 000. Блеск продольной поверхности также быстро возрастает в три с лишним раза, а далее остается постоянным в течение времени опыта.

Убедившись, что текстурирование срубанием торца оказывает очень большое влияние на условия анодного растворения металла и именно в ожидаемом нами направлении, мы поставили перед собой задачу осуществить текстурирование другими возможными методами.

В соответствии с литературными данными [9] нами были выбраны следующие методы текстурирования: глубокая вытяжка, резание абразивом, давление, кручение и электролитическое осаждение.

Опыты с образцами, полученными глубокой вытяжкой

В качестве образцов, текстурированных глубокой вытяжкой, нами были использованы гильзы капсюлей-детонаторов. Отжиг образцов производится в вакууме при 800°C в течение 4 час. Как текстурированные, так и отожженные образцы никакой предварительной обработке не подвергались.

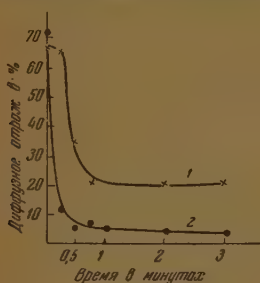


Рис. 5. 1 — отжиг, 2 — глубокая вытяжка

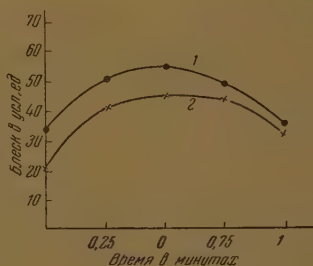


Рис. 6. 1 — обработано 40 раз, 2 — обработано 10 раз

Результаты измерения блеска и его изменения во времени представлены на рис. 4. Как показывают приведенные результаты, текстурирование глубокой вытяжкой сильно влияет на анодную растворимость металла. Блеск текстурированной поверхности возрастает в пять раз и далее остается без изменения в течение времени опыта, в то время как блеск отожженной поверхности вначале повышается, а затем быстро падает почти до исходных значений. Предварительная обработка отожженной поверхности шкуркой 000 в одном направлении обеспечивает некоторое повышение блеска поверхности после анодной обработки, но с течением времени он также снижается почти до прежних значений.

Аналогичная картина может быть зафиксирована и при помощи измерения фотометром Пульфриха [10]. Результаты измерения диффузного отражения и его изменения во времени для образцов, обработанных в указанных выше условиях, представлены на рис. 5. Как показывают приведенные данные, величина диффузного отражения текстурированного образца вначале резко уменьшается и продолжает уменьшаться и далее, но значительно меньше. Величина диффузного отражения нетекстурированного образца снижается во времени и медленнее и значительно меньше, а в дальнейшем остается постоянной.

Опыты с образцами, полученными резанием

Образцы, текстурированные резанием абразивами, изготавливали из отожженной медной пластинки путем обработки наждачной шкуркой 000. Обработка шкуркой велась в одном направлении под определенным грузом переменное число раз. Результаты измерения блеска и его изменения во времени представлены на рис. 6.

Опыты с образцами, полученными давлением

Образцы, текстурированные давлением, изготовлялись из прутковой меди диаметром 22 мм, предварительно подвергнутой отжигу. В торцовую часть образца вдавливался стальной шарик диаметром 10 мм; глубина впадины 5 мм. Перед анодным растворением поверхность образца обрабатывалась шкуркой 000. Текстурированная (лунка) и нетекстурированная поверхности после анодной обработки отчетливо различаются по качеству поверхности.

Опыты с образцами, полученными кручением

Образцы, текстурированные кручением, изготовлялись из прутковой меди диаметром 10 мм. Пруток длиной в 150 мм из отожженного материала подвергался кручению до разрыва (17 оборотов). Вблизи места разрыва образец распиливался. Оба торца, текстурированный и нетекстурированный, обрабатывались шкуркой 000 и подвергались анодному растворению. Текстурированная поверхность получила отчетливый блеск, тогда как нетекстурированная поверхность становилась матовой.

Опыты с образцами, полученными электролитическим осаждением

Текстурированные электролитические медные осадки получались следующим методом. Пластина из прокатанной меди тщательно полировалась механически и далее на нее осаждался никелевый слой толщиной около 2 м. Никелевый осадок подвергался механической полировке до зеркального блеска и выдерживался далее в 5% растворе хромового ангидрида. На такую тщательно подготовленную поверхность осаждалась медь из кислых ванн, с различным содержанием свободной серной кислоты. Известно [11], что текстура получающихся осадков тем совершеннее, чем кислее раствор. При визуальном наблюдении таких образцов, подвергнутых анодному растворению, при обычном режиме их поверхность во всех случаях имела следы травления и не обладала эффектом блеска. Но при рассматривании той же поверхности в четырех (попарно перпендикулярных) направлениях она обнаруживала явление максимального блеска.

Анодное растворение латуни

В целях возможного расширения и уточнения полученных нами результатов были поставлены опыты анодного растворения текстурированной латуни. Образцы для исследования изготовлялись из листовой латуни.

Очевидно, что полученный нами материал был уже в значительной мере текстурирован прокаткой его в листы. Отжиг материала производился при температуре около 750° С в вакууме в течение 4 час. Анодное растворение образцов производилось в ванне, содержащей фосфорную кислоту уд. веса 1,5. Плотность тока 50 А/дм², температура 25° С, напряжение 4,5 В.

Результаты измерения блеска и его изменений в процессе растворения представлены на рис. 7.

Приведенные результаты показывают, что блеск поверхности отожженной латуни в начале процесса несколько возрастает и далее остается постоянным в пределах времени опыта. Блеск исходной текстурированной поверхности почти в два раза выше, чем у исходной, отожженной поверхности. В первые же моменты процесса он резко возрастает в три с лишним раза и далее остается постоянным в пределах времени опыта.

Влияние текстурирования отожженной поверхности на ее блеск представлен на рис. 8. Текстурирование производилось тремя методами: проскабливанием поверхности шабером, обработкой ее наждачным кругом и обработкой наждачной шкуркой. Как показывают данные, приведенные

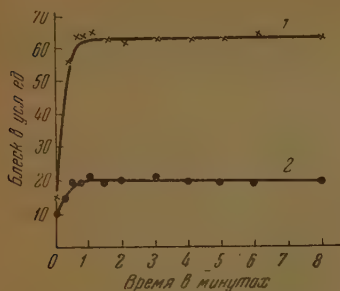


Рис. 7. 1 — прокатанный образец, 2 — отожженный

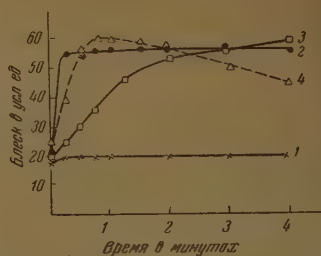


Рис. 8. Обработка: 1 — отжиг, 2 — шабер, 3 — наждачный круг, 4 — наждачная шкурка

на рисунке, проскабливание шабером приводит к значительному возрастанию блеска поверхности после анодного растворения, так же как обработка ее наждачным кругом и наждачной шкуркой.

ОБСУЖДЕНИЕ ПОЛУЧЕННЫХ РЕЗУЛЬТАТОВ

Полученные результаты, как нам кажется, полностью подтверждают справедливость высказанного нами представления о структуре поверхности металла обработанной анодно; на ней, действительно, обнаружился текстурный рисунок анодного травления. Во всех случаях анодного растворения текстурированной поверхности нами обнаружено значительное, а в ряде случаев даже и исключительное повышение степени блеска этой поверхности. Как уже указано выше, причину этого следует видеть в отчетливой текстуре травления, степень совершенства которой должна повышаться и как мы видим, повышается с увеличением степени совершенства обычной текстуры металла.

Как уже указано выше, при различных методах механической обработки металла (резание, холодная штамповка, прокатка, вытяжка и др.) получается материал с текстурой различной степени совершенства. Степень совершенства текстуры определяется характером и режимом процесса деформации; степень совершенства текстуры тем больше, чем больше деформация (направленная).

Как известно, деформация металла, вызываемая механической обработкой, происходит по следующей схеме: скольжение срезаемого металла идет по определенным плоскостям кристаллов (например, для меди по преимуществу по плоскости октаэдра); когда данная плоскость оказывается «изношенной», кристалл поворачивается в такое положение, при котором ее может заменить следующая плоскость. Так происходит до тех пор, пока все возможные положения не окажутся исчерпанными. Таким образом механическая обработка приводит к тому, что на поверхность «выходят» определенные грани кристаллов. Степень совершенства ориентировки кристаллов (текстура) и глубина ее находятся в зависимости от характера процесса деформации.

Обработка срубанием обеспечивает текстурирование поверхности по оси октаэдра с текстурой высокой степени совершенства [12]. Учитывая, что реальные кристаллы меди имеют форму октаэдра, мы должны принять, что поверхность срубленного торца будет заполнена гранями октаэдра

е. будет обеспечено максимальное упорядочение структурных элементов поверхности, необходимое для четкого проявления текстуры анодного растворения и связанного с ней повышения блеска поверхности. Результаты опытов, представленные на рис. 1, показывают значительное возрастание блеска поверхности срубленного торца; между тем блеск нетекстурированного или мало и неглубоко текстурированного торца, полученного спиливанием с последующей шлифовкой и полировкой, быстро уменьшается за счет растравливания разнообразных и хаотично расположенных структурных элементов поверхности.

Если торец, полученный распиливанием, дополнительно обработать шкуркой, в результате чего достигается известное текстурирование поверхности, то это не замедлит сейчас же сказаться на результатах анодного растворения, о чем убедительно свидетельствуют данные, приведенные на рис. 2 и 3. Обработка шкуркой вначале повышает блеск поверхности, но надолго, текстурирование шкуркой имеет относительно малую глубину и уже через 1—2 мин. текстурированный слой растворяется и начинается анодное травление хаотично расположенных структурных элементов.

Продольный срез медного прутка (в состоянии поставки) представляет текстуру протяжки с осью текстуры [13], параллельной оси протяжки. В этом случае на поверхность выходят грани октаэдра. При анодном растворении продольного среза мы не получаем слоев металла с какой-либо иной осью текстуры или с хаотичным расположением кристаллитов, и в этом случае блеск по достижении определенных значений остается постоянным. Однако текстура протяжки оказывается менее совершенной, чем текстура сруба, и поэтому блеск продольного среза после анодной обработки всегда ниже блеска срубленного торца, как это и следует из данных, приведенных на рис. 3.

Глубекая вытяжка также является радикальным средством текстурирования. В этом случае на поверхность, очевидно, также выходят грани октаэдра, и она обладает повышенной способностью к закономерному растворению. Кривые изменения блеска, представленные на рис. 4, показывают резкое увеличение коэффициента отражения в первую же минуту обработки. Поскольку глубина текстурированного слоя в данном случае весьма значительна и соизмерима с толщиной материала образца, то и блеск остается практически постоянным при анодной обработке в течение всего времени опыта. Отжиг уничтожает текстуру и снижает способность к закономерному растравливанию, а следовательно, и к образованию блестящей поверхности. Обработкой шкуркой можно восполнить утерянную текстуру, но только отчасти и в случае непродолжительного травления.

В свете вышеприведенного обсуждения становятся понятными и закономерными результаты анодного растворения образцов, подготовленных резанием абразивами, давлением и кручением. Особенно показательным является опыт с образцом, подготовленным кручением. В данном случае ось текстуры (111) параллельна продольному направлению кручения, и, следовательно, необходимый нам выход плоскостей октаэдра на поверхность будет иметь место только в торцевой части образца.

В случае электролитических медных осадков, полученных из кислых ванн, кристаллы медного осадка представляют собою октаэдры с осью текстуры (001), направленной перпендикулярно плоскости электрода; следовательно, кристаллы электролитического медного осадка выходят на поверхность катода телесными углами октаэдра. Поэтому после анодной обработки таких образцов их коэффициент отражения должен быть значительно ниже, чем коэффициент отражения механически текстурированных образцов, где поверхность заполнена плоскостями октаэдра. Результаты опытов, описанных выше, вполне подтверждают это положение. Однако кажущаяся растравленная при наблюдении в одном направлении поверхность аноднообработанного медного электролитического осадка,

при наблюдении под некоторыми углами должна обнаруживать явление максимального блеска. Это будут, очевидно, те четыре угла (в двух взаимно перпендикулярных направлениях), которые отвечают углам наклона плоскостей октаэдра. Это предположение также полностью оправдывается опытами, результаты которых изложены выше и которые являются, на наше мнение, решающими для развиваемой теории.

Подводя итоги обсуждения описанного выше экспериментального материала, можно сформулировать одно общее заключение. Теперь совершенно очевидно, что подбор условий анодного растворения металла для получения какого-нибудь одного определенного результата, например максимально блестящей поверхности, зависит от большей или меньшей кристаллографической однородности этой поверхности. Чем более кристаллографически однородна поверхность, тем шире так называемый рабочий интервал условий, в котором получается желательный результат и, наоборот, чем большее число разнообразных кристаллографических элементов выходит на поверхность, тем уже становится диапазон условий получения необходимого результата, так как условия поляризации и различных кристаллографических гранях и других элементах могут очень резко отличаться. Подобрав необходимый режим для некоторых из них в отношении других мы окажемся в совершенно неподходящих условиях. Кристаллографически однородная поверхность менее чувствительна к изменениям режима, чем кристаллографически неоднородная.

Таким образом, мы можем сформулировать первое правило процесса электродекристаллизации металла: направление электродекристаллизационного процесса определяется степенью кристаллографической (физической) однородности поверхности, подвергнутой анодному растворению.

ВЫВОДЫ

1. Разработан прием экспериментального доказательства наличия текстуры травления на поверхности металла, подвергнутого анодному растворению.
2. Показана исключительная роль текстурирования металла в процессе его анодного растворения.
3. Сформулировано общее правило, определяющее направление процесса анодного растворения металла, как процесса его электродекристаллизации.

Академия Наук СССР

Казанский филиал

Химический институт им. акад. А. Е. Арбузова

Поступила

28.II.1950

ЛИТЕРАТУРА

1. Труды Второй всесоюзной конференции по теоретической и прикладной электрохимии, Киев, 1949, стр. 80.
2. Г. С. Воздвиженский, ДАН СССР, 59, 1587, 1948.
3. Г. С. Воздвиженский, Журн. техн. физ., 3, 1948.
4. Г. С. Воздвиженский, Г. П. Дезидерьев, В. А. Дмитриев, ДАН СССР, 65, 697, 1949.
5. Г. Тамман, Металловедение, 1935, стр. 118.
6. К. М. Горбунова, Изв. АН СССР, ОХН, 5—6, 1175, 1938.
7. В. Д. Кузнецов, Физика твердого тела, т. I, 1937, стр. 30.
8. Г. Шмальц, Качество поверхности, 1941.
9. Р. Глокер, Рентгеновские лучи и испытание материалов, 1932, стр. 300.
10. Е. Шмиди В. Боас, Пластичность кристаллов, 1938, стр. 266.
11. В. И. Лайнер, Электролитическая полировка и травление металлов, 1947, стр. 48.
12. С. М. Кочергин, Журн. техн. физ., 16, 1325, 1946.
13. В. Д. Кузнецов, Физика твердого тела, т. III, 1944, стр. 289.
14. Ч. Баррет, Структура металлов, 1948.

ГОНИОМЕТРИЧЕСКОЕ И РЕНТГЕНОВСКОЕ ИССЛЕДОВАНИЯ КРИСТАЛЛОВ 1,3,8-ТРИНИТРОНАФТАЛИНА

Г. А. Гольдер и М. М. Уманский

Настоящая работа является продолжением серии исследований, проводимых рентгеновской лабораторией, различных изомеров динитронафталинов [1—3] и других производных нафталина.

Кристаллы 1,3,8-тринитронафталина были получены медленным испарением из слабого раствора в ацетоне. Кристаллы представляют собой четко ограненные пластинки, на которых хорошо выявляются три пиналыда m , n , l и призма SS (рис. 1).

Измерениями, проведенными на двукружном гониометре, определены углы между нормальными к граням: $mS - 64^\circ 10'$; $mn - 70^\circ 00'$; $ml - 124^\circ 48'$; $S - 51^\circ 40'$; $nl - 54^\circ 48'$.

Результаты гониометрических измерений представлены на рис. 2, где указана гномостереографическая проекция кристалла, изображенного на рис. 1.



Рис. 1

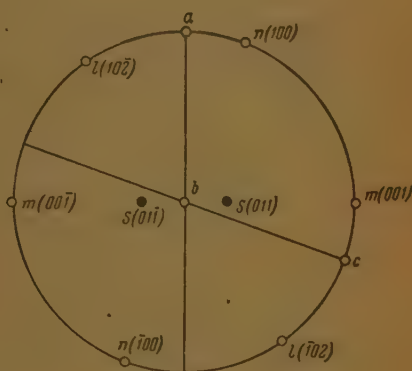


Рис. 2

Таким образом, можно считать, что кристаллы 1,3,8-тринитронафталина относятся к классу $C_{2h} - 2/m$ моноклинной сингонии. Оси кристалла выбраны следующим образом:

ось a — ось зоны $m\{001\}$, $S\{011\}$;

ось b — ось зоны $m\{001\}$, $n\{100\}$, $l\{102\}$;

ось c параллельна пинакоидам $n\{100\}$; угол $\beta = 110^\circ$.

Съемкой диаграмм по трем осям a , b , c обнаружено наличие плоскости симметрии и перпендикулярной к ней оси второго порядка, что подтверждает принадлежность кристалла 1,3,8-тринитронафталина к моноклинной сингонии.

Из рентгенограммы вращения вокруг осей a и c , рентгенограммы колебания около оси b , снятых на медном излучении в камере РКВ [4],

а также из серии снимков в камере фотографирования обратной решетки (КФОР) были определены размеры элементарной ячейки:

$$a = 8,42 \text{ \AA}; b = 7,60 \text{ \AA}; c = 17,0 \text{ \AA}; \beta = 110^\circ.$$

Из пикнометрического определения плотности $\sigma_n = 1,75 \pm 0,03$, проведенного научным сотрудником рентгеновской лаборатории В. П. Глушиной, было определено число молекул в элементарной ячейке $N = 4$. Рентгенографическое определение плотности $\sigma_p = 1,72$.

Из рентгено-гонометрических снимков в гониометре Вайссенберга нулевой и первой слоевых линий вращением вокруг оси b и в камере КФОР нулевых и первых слоевых линий вокруг оси b на медном излучении и вокруг оси a на медном и молибденовом излучениях установлен следующий закон погасания интерференций: присутствуют все интерференции типа hkl , при различных комбинациях h , k и l интерференции типа hol присутствуют только при $k = 2n$, а интерференции типа oko только при $k = 2n$. Этим однозначно определяется [5] принадлежность кристалла 1, 3, 8-тринитронафталина к пространственной группе $C_{2h}^5 - P2_1/C$. Хотя молекула 1, 3, 8-тринитронафталина лишена центра симметрии, кристаллы обладают центром симметрии.

Выводы

1. Кристаллы 1, 3, 8-тринитронафталина на основании гониометрических и рентгенографических измерений относятся к классу $C_{2h}^5 - P2_1/C$ моноклиной сингонии.

2. Размер осей элементарной ячейки: $a = 8,42 \text{ \AA}$, $b = 7,60 \text{ \AA}$, $c = 17,0 \text{ \AA}$, $\beta = 110^\circ$. Пикнометрическая плотность $\sigma_n = 1,75$. Рентгенографическая плотность $\sigma_p = 1,72$.

3. Закономерности погасания интерференции, hkl присутствуют все hol только при $l = 2n$, oko только при $k = 2n$, однозначно определили пространственную группу $C_{2h}^5 - P2_1/C$.

Физико-химический институт
им. Л. Я. Карпова
Москва

Поступила
3. IV. 1950]

ЛИТЕРАТУРА

1. Н. Г. Севастьянов, Г. С. Жданов и М. М. Уманский, Журн. физ. хим., **21**, 225, 1947.
2. Г. С. Жданов, М. М. Уманский, Журн. физ. хим., **21**, 523, 1947.
3. Е. А. Шугам, М. М. Уманский, Г. С. Жданов, Журн. физ. хим., **23**, 3, 1949.
4. Ю. А. Багаряцкий и М. М. Уманский, Заводская лаборатория, **14**, 693, 1948.
5. Г. С. Жданов и В. А. Поспелов, ЖЭТФ, **15**, 709, 1945.

ОБ ИЗМЕНЕНИИ ПОРЯДКА РЕАКЦИИ СИНТЕЗА АММИАКА

I. КИНЕТИКА РЕАКЦИИ НА ОСМИЕВОМ КАТАЛИЗАТОРЕ

С. Л. Киперман и В. Ш. Грановская

В ранее опубликованных работах [1—5] было показано, что кинетика синтеза аммиака на ряде катализаторов описывается уравнением:

$$\omega = k_1 P_{N_2} \left(\frac{P_{H_2}^3}{P_{NH_3}^2} \right)^\alpha - k_2 \left(\frac{P_{NH_3}^2}{P_{H_2}^3} \right)^{1-\alpha} \quad (1)$$

в этом уравнении ω — скорость реакции, P_{NH_3} , P_{H_2} и P_{N_2} — парциальные давления компонентов газовой смеси, k_1 , k_2 и α — постоянные, причем

$$\frac{k_1}{k_2} = K^2, \quad (2)$$

где K — константа равновесия

$$\frac{1}{2} N_2 + \frac{3}{2} H_2 = NH_3. \quad (3)$$

Уравнение (1) выведено М. И. Темкиным и В. М. Пыжевым в предположении, что скорость реакции определяется скоростью активированной адсорбции азота, количество которого на поверхности обусловлено равновесием с аммиаком и водородом в газовой фазе [1]. При этом азот адсорбируется в области «средних заполнений поверхности». Под областью средних заполнений понимается такая область равновесных давлений адсорбирующегося газа, при которых наиболее активные места неоднородной поверхности практически полностью заняты, а наименее активные места — практически свободны. Каждое место неоднородной поверхности может быть охарактеризовано величиной b , называемой М. И. Темкиным и В. Г. Левичем [6] «упругостью десорбции». Эта величина связана с теплотой адсорбции ε соотношением:

$$b = B e^{-\frac{\varepsilon}{RT}}, \quad (4)$$

где B — постоянная, RT — произведение газовой постоянной на абсолютную температуру. Для области средних заполнений имеет место неравенство

$$b_0 \ll p \ll b_1,$$

где p — равновесное давление (или летучесть) адсорбированного газа, в нашем случае — азота, величины b_0 и b_1 относятся соответственно к наиболее и наименее активным местам поверхности. Одним из авторов [5] было показано, что уравнение (1) может выполняться и при значительной адсорбции водорода, которая не учтена в первоначальном выводе уравнения. Детальное рассмотрение указанного уравнения приводит к заключению [4], что оно должно быть справедливо при не очень большом удалении от равновесия, т. е. для прямой реакции — при не очень малом, по сравнению с равновесным, содержании аммиака в газе. Если содержание аммиака в газовой фазе значительно меньше равновесного, количество азота на поверхности катализатора будет мало, отвечая области малых заполнений.

В области малых заполнений $p \ll b_0$, поэтому при некотором значении p , обусловленном определенным содержанием аммиака в газе, должен осуществляться переход от средних заполнений поверхности к малым. При каком содержании аммиака в газе будет осуществляться указанный переход, зависит от величины теплоты адсорбции азота, определяющей, в свою очередь, величину b_0 .

В области малых заполнений поверхности скорость синтеза аммиака, при сохранении остальных предположений, указанных выше, должна отвечать следующему уравнению [4]:

$$\omega = k_1 P_{N_2} - k_2 \frac{P_{NH_3}^2}{P_{H_2}^3}$$

Таким образом, теория предсказывает, что на одном и том же катализаторе порядок реакции синтеза аммиака должен меняться, и, в зависимости от условий, кинетика должна описываться различными уравнениями скорости реакции. Это предположение экспериментально не проверялось.

Кинетика реакции синтеза аммиака на осмии ранее не изучалась. Габер и Лессинг [7] исследовали активность этого катализатора при высоких температурах. Имеющиеся в литературе данные [8, 9] указывают на наличие активированной адсорбции азота на осмии при температуре выше 200° С и на необходимость учета значительной адсорбции водорода.

Изучение кинетики синтеза аммиака на осмиевом катализаторе было нами предпринято с целью расширения экспериментального материала и проверки основных положений теории. Это представляло интерес также в связи с изученной ранее одним из авторов [5] кинетикой синтеза аммиака на рутении.

Методика эксперимента

Кинетика синтеза аммиака изучалась динамическим методом при атмосферном давлении.

Описание прибора. Стехиометрическая азотоводородная смесь получалась разложением синтетического аммиака на железной сетке в кварцевой трубке при 1000° С. Полученная смесь проходила через склянку с серной кислотой (1:1), реометр и, далее, в опытах с изменением состава газа обогащалась азотом или водородом, прошедшими предварительную очистку. Для предварительной очистки газы проходили через раствор плюмбита натрия, хлоркальциевые колонки, трубки с медными стружками, нагретыми до 400° С, трубки с медью, нанесенной на кизельгур по рецепту Майера и Ронге [10], и омедненным углем, нагреваемым до 250° С. Далее азотоводородная смесь проходила через склянки с серной кислотой (в которые для увеличения поверхности поглощения были впаены стеклянные фильтры) и трубки с едким кали (приготовлен засасыванием химически чистого расплавленного едкого кали в стеклянные трубки с последующим измельчением). Затем газовая смесь поступала на никелевый и палладиевый форконтакты при температуре 450° С и вновь осушалась серной кислотой и едким кали. Окончательная очистка достигалась прохождением газа через ловушку, помещенную в жидкий воздух. Очищенная исходная смесь поступала в кварцевый реакционный сосуд с змеевиком и впаем для термометры. Избыточное давление в системе контролировалось по рутинному манометру после реакционного сосуда. Образовавшийся аммиак поглощался в двух склянках с титрованным раствором серной кислоты, после чего азотоводородная смесь проходила через газовые часы. Манометрической жидкостью для реометров служил дибутилфталат, откачанный в вакууме при температуре 250° С в течение 12 час. до давления 10⁻⁵ мм рт. ст. Реометры калибровались соответствующими газами по газовым часам, точность которых проверялась калибровкой их по методу вытекания воды из газометра. Температура контролировалась серебро-константановой термопарой компенсационным методом при помощи потенциометра «ПП». Термопара калибровалась по точкам плавления металлов и эвтектическим точкам бинарных смесей солей. Измерения температуры по потенциометру производились с точностью ±0,025 мВ, что соответствует ±0,37°С; колебания температуры во время опыта не превышали ±1°.

Для получения катализатора невысокой, но стабильной активности использован рецепт Паали и Амбергера [11]. В реакционный сосуд загружалось 2 см³ катализатора, нанесенного на очищенный силикагель, весом 1,63 г. Восстановление проводилось азотоводородной смесью при медленном повышении температуры до 450° С. Окончательное восстановление проводилось до постоянной активности при температуре -475° С.

В течение всей работы катализатор непрерывно находился в атмосфере азотоводородной смеси.

Изучалась зависимость выхода аммиака при атмосферном давлении от объемной скорости, состава смеси и температуры. Каждый опыт проводился не менее двух раз при одинаковых условиях. Выход аммиака

делялся после прохождения не менее 20 л газовой смеси. Постоянная активности катализатора в опытах при данной температуре периодически контролировалось измерением выхода аммиака при стандартной скорости, в большинстве случаев после каждого опыта. При выходе от одной температуры к другой активность катализатора менялась, поэтому определение энергии активации проводилось, как описано в [2]. Равновесные выхода аммиака рассчитывались по Ларсону и Бюку [12].

Результаты опытов

Кинетические измерения проводились при температурах 420, 450, 475, 500, 550, 575, 600°С, различных объемных скоростях и составах газовой смеси. Результаты опытов представлены в табл. 1.

Таблица 1

Кинетика синтеза аммиака на осмиевом катализаторе при 1 атм, $P_{H_2} : P_{N_2} = 3 : 1$.

тем- пери- од ура °С	Объемная скорость V час ⁻¹	Выход NH_3 , в объемных %	Относительный выход x	$k \cdot 10^{-8}$	
				выч. по уравн. (7)	выч. по уравн. (9)
40	7150	0,0141	0,044	—	0,32
	14300	0,0080	0,025	—	0,35
	33850	0,0041	0,013	—	0,43
	61150	0,0018	0,006	—	0,34
	62650	0,0017	0,005	—	0,34
50	10700	0,0272	0,124	—	1,3
	13700	0,0221	0,101	—	1,3
	14150	0,0213	0,097	—	1,3
	29150	0,0121	0,055	—	1,6
	57200	0,0059	0,027	—	1,5
	60250	0,0056	0,026	—	1,5
	78200	0,0046	0,021	—	1,6
75	6000	0,1021	0,623	—	—
	23100	0,0315	0,192	—	—
	44250	0,0199	0,121	—	5,4
	54500	0,0174	0,106	—	5,2
	73000	0,0139	0,085	—	6,0
	74250	0,0134	0,082	—	6,4
	108000	0,0098	0,060	—	6,5
100	111750	0,0096	0,058	—	6,5
	9450	0,081	0,649	2,5	—
	13450	0,071	0,564	2,5	—
	28400	0,047	0,378	2,1	—
	57800	0,026	0,216	—	1,2
	71000	0,024	0,191	—	1,4
	98000	0,018	0,145	—	1,4
150	9000	0,069	0,904	(7,6)	—
	23600	0,044	0,584	4,8	—
	46625	0,032	0,415	4,4	—
	63900	0,027	0,356	4,3	—
	81200	0,023	0,301	3,8	—
	15300	0,044	0,908	(13,5)	—
200	25250	0,029	0,597	5,5	—
	64600	0,020	0,412	5,9	—
	68200	0,019	0,398	5,8	—
	88000	0,017	0,348	5,7	—
	122100	0,013	0,269	4,6	—

В табл. 2 приведены результаты двух серий опытов по определению зависимости скорости реакции от температуры. В табл. 3 представлены данные опытов, проведенных с различным содержанием азота и водорода.

Таблица

Кинетика синтеза аммиака на осмиевом катализаторе при атм, $P_{H_2} : P_{N_2} = 3:1$

Объемная скорость V час ⁻¹	$t^\circ C$	Выход NH_3 в объемных %	Относительный выход x	k	
				выч. по уравн. (7)	выч. по уравн. (9)
21000	450	0,0171	0,078	—	$1,64 \cdot 10^3$
	400	0,0044	0,010	—	$2,10 \cdot 10^3$
	450	0,0158	0,072	—	$1,49 \cdot 10^3$
	400	0,0044	0,010	—	$2,10 \cdot 10^3$
65600	600	0,0195	0,398	$5,68 \cdot 10^3$	—
	575	0,0180	0,299	$3,07 \cdot 10^3$	—
	600	0,0203	0,414	$6,07 \cdot 10^3$	—
	550	0,0159	0,209	$1,45 \cdot 10^3$	—
	600	0,0180	0,364	$4,59 \cdot 10^3$	—

Таблица 3

Кинетика синтеза аммиака на осмиевом катализаторе при 1 атм и $450^\circ C$

$P_{H_2} : P_{N_2}$	Объемная скорость V час ⁻¹	Равновесный выход NH_3 в объемных %	Выход NH_3 в объемных %	Относительный выход x	$k \cdot 10^{-2}$ выч. по уравн. (8)
11	30175	0,171	0,0012	0,0068	4,85
3	28150	0,219	0,0022	0,0102	2,88
1	29850	0,169	0,0045	0,0268	3,08
0,64	31200	0,128	0,0065	0,0506	3,81

Обсуждение результатов

Для интерпретации кинетических данных, приведенных в таблицах, воспользуемся данным ранее [2] соотношением между выходом аммиака P_{NH_3} и объемной скоростью V , справедливым, если выполняется уравнение (1) и выход аммиака мал по сравнению с равновесным:

$$-\lg P_{NH_3} = \text{const} + \frac{1}{1+2\alpha} \lg V. \quad (6)$$

Откладывая на логарифмическом графике данные табл. 1 для температур 550 и $600^\circ C$, получаем прямые, наклон которых отвечает значению $\alpha = 0,5$ (рис. 1). Следовательно, кинетика реакции при температуре 550 и $600^\circ C$ описывается уравнением (1) со значением $\alpha = 0,5$. Из тех же данных вычислены значения констант скорости k по уравнению (1). Интегрирование этого уравнения при давлениях, порядка атмосферного и более низких, для $\alpha = 0,5$, дает [1]:

$$k = -0,5 \gamma^{1,5} V P^{0,5} \ln(1 - x^2), \quad (7)$$

k — величина, пропорциональная константе k_2 из уравнения (1) и прямо пропорциональная абсолютной температуре, $\gamma = \frac{P_{\text{NH}_3}}{0,75 P}$; P — его давление, x — относительный выход, причем

$$x = \frac{P_{\text{NH}_3}}{(P_{\text{NH}_3})_{\text{равновес.}}}$$

Вычисленные значения констант для 550 и 600° С приведены в предпоследнем столбце табл. 1. Как видно, в значительном интервале изменения объемных скоростей эти константы сохраняют удовлетворительное

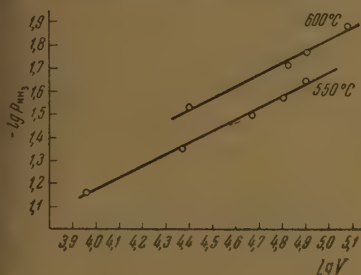


Рис. 1

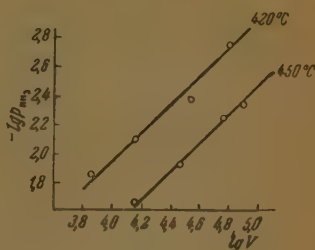


Рис. 2

постоянство. Полученный результат согласуется с данными Габера и Лессиньоля [7], которые, как было показано [4], описываются уравнением с $\alpha = 0,5$.

Откладывая на логарифмическом графике результаты опытов при 420–450° по данным табл. 1, получаем прямые, наклон которых отвечает значению $\alpha = 0$ (рис. 2).

Интегрирование уравнения (1) в общем виде для случая, когда можно пренебречь изменением объема при реакции, приводит к выражению [2]:

$$k = \gamma^{1,5} (4 - 3\gamma)^{\alpha-0,5} P^{\alpha} V^{\alpha} \int_0^x \frac{x^{2\alpha}}{1-x^2} dx, \quad (8)$$

которое при $\alpha = 0$, $\gamma = 1$ и $x \ll 1$ переходит в уравнение:

$$k = Vx. \quad (9)$$

Вычисляя значения констант скорости k по уравнению (9), получаем величины, представленные в последнем столбце табл. 1. Из таблицы видно, что константы обнаруживают удовлетворительное постоянство при значительном изменении времени контакта. Таким образом, в данном случае справедливо уравнение (1) при $\alpha = 0$. Следует указать, что значение $\alpha = 0$ для уравнения (1) может иметь место лишь формально, поскольку вывод этого уравнения предполагает, что $0 < \alpha < 1$ [13]. Значение $\alpha = 0$ указывает, что аммиак и водород не входят в кинетическое уравнение. Существенно, что в опытах при 420 и 450° С относительные выходы аммиака весьма незначительны: содержание аммиака в газе меняется от 4 до 0,5% от равновесного при 420° С и от 12 до 2% от равновесного при 450° С. На рис. 3 отложены в логарифмических координатах результаты, приведенные в табл. 1 для температуры 500° С. Как видно из рисунка, для больших относительных выходов — 0,65 ÷ 0,38 мы имеем $\alpha = 0,5$, а для относительных выходов 0,21 ÷ 0,14 имеет место изгиб

прямой, указывающий на постепенное изменение порядка реакции В табл. 1, для температуры 500°C , первые три константы, рассчитанные по уравнению (1) для $\alpha = 0,5$, сохраняют удовлетворительное постоянство в пределах ошибок опытов. Последние три константы для той же температуры вычислены по уравнению (9). В области, где порядок реакции меняется, константы не рассчитывались.

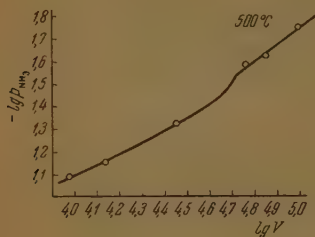


Рис. 3

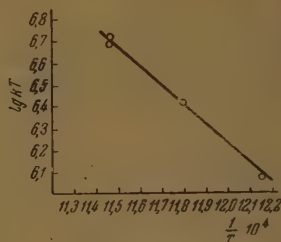


Рис. 4

Результаты, полученные для 475°C , приведенные в табл. 1, так же отвечают значению $\alpha = 0$ для малых относительных выходов (0,12 и ниже). Константы, рассчитанные по уравнению (9) для 475° , сохраняют удовлетворительное постоянство. Таким образом, при переходе от температур $550\text{--}600^{\circ}\text{C}$ к $450\text{--}420^{\circ}\text{C}$ и уменьшении содержания аммиака в газовой фазе, обуславливающим изменение степени покрытия поверхности азотом, кинетика реакции меняется и при достаточном удалении от равновесия отвечает уравнению (5).

Приведенные в табл. 2 константы для объемной скорости 65 600 рассчитаны по уравнению (7), поскольку опытные данные относятся к области, где $\alpha = 0,5$. Эти данные использованы для расчета энергии активации разложения аммиака [1]. На рис. 4 отложены $\lg kT$ против обратных абсолютных температур, откуда получаем величину энергии активации A для указанной области, равную 41 600 кал. Эта величина хорошо согласуется с $A = 44\,900$ кал, найденной Арнольдом и Берком [14] при изучении разложения аммиака на осмии. В области значений $\alpha = 0$, по данным табл. 2, для объемной скорости 21 000, имеем $A = 39\,000$ кал.

Полученные экспериментальные данные подтверждают выводы, сделанные М. И. Темкиным и одним из авторов [4] при рассмотрении вопроса об изменении порядка реакции синтеза и разложения аммиака.

Наши данные при достаточном удалении от равновесия отвечают уравнению (5), справедливому для малых степеней покрытия поверхности азотом. Поскольку указанное уравнение выполняется вдали от равновесия, можно пренебречь обратной реакцией и рассматривать это уравнение в виде:

$$\frac{dP_{\text{NH}_3}}{d\tau} = k_1 P_{\text{N}_2}, \quad (10)$$

где τ — время контакта.

Согласно уравнению (10), скорость реакции не тормозится аммиаком и в отличие от уравнения (1) при $\alpha = 0,5$, выход аммиака должен быть пропорционален только P_{N_2} . В самом деле, интегрируя уравнение (10) при $P_{\text{N}_2} = \text{const}$, получаем

$$P_{\text{NH}_3} = k_1 P_{\text{N}_2} \tau. \quad (11)$$

как водород не входит в кинетическое уравнение (10), в рассматриваемой области он должен играть роль инертного разбавителя, давая парциальное давление азота.

В табл. 3 приведены результаты опытов, в которых изучалась зависимость скорости реакции от состава газовой смеси при приблизительно постоянной объемной скорости. Откладывая на рис. 5 выходы аммиака от парциальных давлений азота (изменяющихся вследствие варьирования состава смеси), замечаем, что точки укладываются на прямую, проходящую через начало координат. Такая зависимость вытекает из уравнения (11). В последней графе этой таблицы приведены константы, рассчитанные по уравнению (8), для $\alpha = 0$, $x \ll 1$ и соответствующих значений γ .

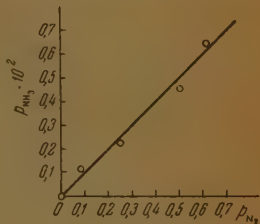


Рис. 5

Выполнение уравнения (1) на осмиевом катализаторе при температурах 550—600° С показывает, что адсорбция водорода, имеющая место на этом металле, не влияет на вид кинетического уравнения. Это подтверждает вывод, сделанный одним из авторов [5], о том, что уравнение может описывать кинетику реакции синтеза аммиака и при значительной адсорбции водорода. Сопоставление кинетики синтеза аммиака на осмиевом и ранее исследованных катализаторах [1—5] указывает на идентичность механизма реакции. Различие в значениях энергии активации осмиевой и рутениевой системы обусловлено, по видимому, неодинаковым влиянием адсорбции водорода.

Изменение порядка реакции синтеза аммиака, имеющее место при удалении от равновесия, не наблюдалось в предыдущих исследованиях, по видимому, вследствие того, что в этих работах не получали достаточно высоких относительных выходов аммиака. Ранее указывалось [4], что граница перехода от области средних заполнений к области малых заполнений зависит от величины теплоты адсорбции азота на данной поверхности: чем меньше теплота адсорбции азота, тем при более высоких относительных выходах аммиака должно осуществляться изменение порядка реакции.

В цитированной работе [4] на основе предположения, что изменение порядка реакции осуществляется при $x = 0,01$, было оценено максимальное значение теплоты адсорбции азота, равное 52 500 кал. В наших опытах, переход к уравнению (5) имеет место при более высоких значениях x . Это указывает на то, что максимальная теплота адсорбции азота на осмиевой поверхности должна быть меньше 52 500 кал.

Выражаем благодарность проф. М. И. Темкину и проф. Н. М. Жавонерову за ценные советы и интерес к работе.

Выводы

1. Экспериментально изучена кинетика синтеза аммиака на осмиевом катализаторе при атмосферном давлении.

2. При температурах 550 и 600° С кинетика реакции отвечает уравнению М. И. Темкина и В. М. Пыжова:

$$\omega = k_1 P_{N_2} \left(\frac{P_{H_2}^3}{P_{NH_3}^2} \right)^\alpha - k_2 \left(\frac{P_{NH_3}^2}{P_{H_2}^3} \right)^{1-\alpha}$$

со значением $\alpha = 0,5$. Энергия активации разложения аммиака в этой области равна 41 600 кал.

3. При удалении от равновесия, достигаемом снижением температуры, порядок реакции меняется и кинетика описывается уравнением, ранее выведенным теоретически:

$$\omega = k_1 P_{N_2}.$$

Энергия активации в интервале температур 400—450°С равна 39 ккал. При температуре 500°С наблюдается переход от уравнения (1) к уравнению (5).

4. Полученные результаты экспериментально подтверждают развитие ранее теорию изменения порядка реакции синтеза и разложения аммиака.

Физико-химический институт им. Л. Я. Карпова
Лаборатория химической кинетики]
Москва

Поступила
10. V. 1950

ЛИТЕРАТУРА

1. М. И. Томкин и В. М. Пыжев, Журн. физ. хим., 13, 851, 1939.
2. С. Л. Киперман и М. И. Томкин, Журн. физ. хим., 20, 369, 1946.
3. С. Л. Киперман и М. И. Томкин, Журн. физ. хим., 20, 461, 623, 1946.
4. М. И. Томкин и С. Л. Киперман, Журн. физ. хим., 21, 927, 1947.
5. С. Л. Киперман, Журн. физ. хим., 21, 1435, 1947.
6. М. И. Томкин и В. Р. Левин, Журн. физ. хим., 21, 1441, 1947.
7. F. Haber и R. Lo. Rossignol, Z. El. 19, 69, 1913.
8. T. R. Guyer, G. G. Joris и H. S. Taylor, Journ. Chem. Phys., 9, 287, 1941.
9. E. Müller и K. Schwabe, Z. phys. Chem., 154, 143, 1931.
10. F. Meyer и G. Ronge, Angew. Chem., 52, 637, 1939.
11. Пааль и Амбергсгер, Изв. Сектора платины АН СССР, 6, 310, 1928.
12. A. Larson и R. Dodge, Journ. Amer. Chem. Soc., 45, 2918, 1923.
13. М. И. Томкин, Журн. физ. хим., 15, 296, 1941.
14. E. Arnold и R. Burk, Journ. Amer. Chem. Soc., 54, 23, 1932.

* Примечание при корректуре. Фазовый состав отработанного осмиевого катализатора, занесенного перед выгрузкой из сосуда, был любезно исследован Н. Р. Семестьяновым. Результаты показывают, что катализатор работал в виде нитрида осмия (аналогично молибденовому, работавшему в виде нитрида молибдена) с постоянной объемно-центрированной кубической решеткой, равной 3,45 Å.

АДСОРБЦИЯ КИСЛОРОДА НА ПЛАТИНЕ ПРИ ПОЛЯРИЗАЦИИ ПО КРИВЫМ ЗАРЯЖЕНИЯ

Ц. И. Залкинд и Б. В. Эршлер

Адсорбция водорода на платиновом электроде изучалась электрохимическими методами в ряде работ школы А. Н. Фрумкина, причем удалось установить, с одной стороны, свойства [1—4] равновесного адсорбированного слоя; с другой — кинетику электрохимической адсорбции водорода [5]. Применение тех же приемов к исследованию окисных слоев на платине затруднено из-за медленности их образования [6,7]. Однако ряд особенностей, характерных для процесса поляризации платины при потенциалах окисления, был выявлен в упомянутых работах. В частности, было показано, что при анодной поляризации на кривой заряжения в области окисления наблюдается задержка с довольно крутым наклоном, так что, видимо, при этом не образуются фазовые окислы платины. Вместе с тем из необратимости кривых заряжения в этой области следовало, что состояние образующихся окислов было далеко от равновесного даже при весьма слабых поляризующих токах. Независимо от этих исследований, зарубежной литературе [8—10] делались попытки использовать кривые заряжения, снятые при больших плотностях тока, для определения свойств образующихся при поляризации окислов платины, причем последние рассматривались как обычные фазовые окислы. В свете упомянутых выше данных очевидно ошибочность такой трактовки кривых быстрого заряжения при потенциалах окисления. С другой стороны, ясно, что, хотя кривые заряжения в области окисления не характеризуют свойств равновесного адсорбированного слоя, исследование влияния плотности тока на их форму может дать ценные сведения о кинетике и механизме его образования. Мы попытались использовать здесь эту возможность, измерив кривые заряжения платины при больших плотностях тока.

Экспериментальная часть

На рис. 1 изображены ячейка и схема установки, применявшиеся нами для быстрого снятия кривых заряжения короткими импульсами постоянного тока. В батарее БА (225 В) при замкнутых ключах 1 и 2 и разомкнутом ключе 3 ток шел по пути, указанному сплошными стрелками, через конденсатор C_2 ($\sim 70 \mu\text{F}$), ячейку, конденсатор C_1 (0,6–0,5 μF) и лампу Л (6ж7) до тех пор, пока конденсатор C_1 не заряжался до потенциала батареи БА. Количество электричества, проходящее при этом через ячейку, можно было дозировать, варьируя емкость C_1 . Сила тока в цепи определялась величиной напряжения, приложенного к управляющей сетке лампы Л. Хотя по мере заряжения конденсатора C_1 анодное напряжение, приложенное к лампе Л, падает, сила тока практически оставалась постоянной, ибо анодный ток этой лампы мало зависит от величины анодного напряжения.

Через лампу ЛЛ (также 6ж7) ток не шел, так как при разомкнутом ключе 3 на ее управляющую сетку подается отрицательное запирающее напряжение в 100 В. При замыкании ключа 3 и размыкании ключей 1 и 2 (ключи 1, 2 и 3 представляли собой части одного переключателя, так что все переключения осуществлялись одновременно) лампа ЛЛ отпиралась, и заряды, накопившиеся на конденсаторе C_1 , стекали через нее, ячейку и конденсатор C_2 , при этом через электрод проходило такое же количество электричества, как и при зарядке конденсатора C_1 , но ток шел в обратном направлении (путь тока обозначен пунктирными стрелками). Сила этого тока также задавалась при помощи лампы ЛЛ. Изменение потенциала электрода при зарядке и через усилитель IV подавалось на пару дефлекторных пластин (В) катодного осциллографа и вызывало смещение его зайчика по вертикали. На вторую

пару пластин Γ подавалось через усилитель III изменение потенциала на обкладках конденсатора C_2 , возникающее при заряджении или разряде; в результате заливка двигалась в горизонтальном направлении равномерно справа налево или слева направо, в зависимости от направления тока в цепи. Таким образом, зайчик, чья кривую зависимости потенциала электрода от времени или от количества прошедшего электричества, т. е. кривую заряджения, которая фотографировалась. На типичной осциллограмме (рис. 2), кроме катодной (верхняя) и анодной (нижняя) кривых заряджения, видны три калибровочные горизонтальные прямые, отстоящие

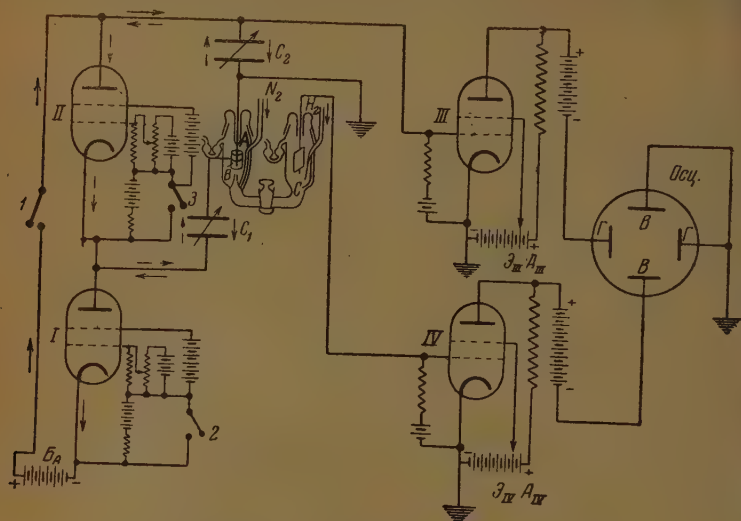


Рис. 1. Прибор и схема измерительной установки



Рис. 2

друг от друга по оси потенциалов на 0,5 В, и синусоидальная кривая, представляющая собой развернутые во времени колебания 50-периодного переменного тока, которая служила для калибровки оси времени. Точность измерения потенциалов на описанной выше установке составляла 10 мВ*.

Испытуемым электродом служила гладкая платиновая проволока (электрод A рис. 1), видимая поверхность которой равнялась 0,16 см². Он очищался травлением

* При конструировании этой установки нам была оказана большая помощь Н. А. Федотовым, которому мы здесь выражаем свою благодарность.

рячей царской водке и прокатыванием в кварцевой пробирке в пламени паяль-горелки. Непосредственно перед измерениями электрод восстанавливался в те-те 30 мин. замыканием на водородный электрод *C*. Вспомогательным электродом поляризации служил платинированный платиновый цилиндр *B*. Электродом ления служил обратимый водородный электрод *C* в том же растворе. Использо- для приготовления растворов химически чистый сульфат натрия дважды кристаллизовывался и прокаливался при температуре 600–700° С. Серная кисло- готовилась растворением серного ангидрида в дважды перегнанной воде. Щелоч- растворы готовились из химически чистой щелочи. Все применяемые растворы щались в течение 3–4 час. над платинированной платиной в атмосфере водоро- Измерения проводились в атмосфере азота, очищенного от следов кислорода [11] пусканием над нагретой до 200° С мелкодисперсной медью, нанесенной на кизель-. Сила применяемых токов менялась от $2,5 \cdot 10^{-5}$ до $6,8 \cdot 10^{-3}$ А, а время заряже- соответственно от нескольких секунд до нескольких сотых секунды. Электрод одился до определенного значения потенциала, выдерживался при этом потен- ле в течение 10 мин., затем заряжался коротким импульсом тока до нужного чения потенциала. При анодном заряджении электрода сразу же вслед за анодной вной снимались катодная кривая заряджения той же силой тока. Кривые заряже- з, полученные в течение одного опыта, имели хорошую воспроизводимость. опыта к опыту воспроизводимость была хуже, что можно объяснить неизбеж- ми различиями в состоянии поверхности твердого электрода. Однако общие ономерности воспроизводились хорошо.

Результаты опыта

Адсорбция водорода. Известный интерес представляла провер- разработанной здесь методики на адсорбированных слоях водорода, оиства которых достаточно изучены.

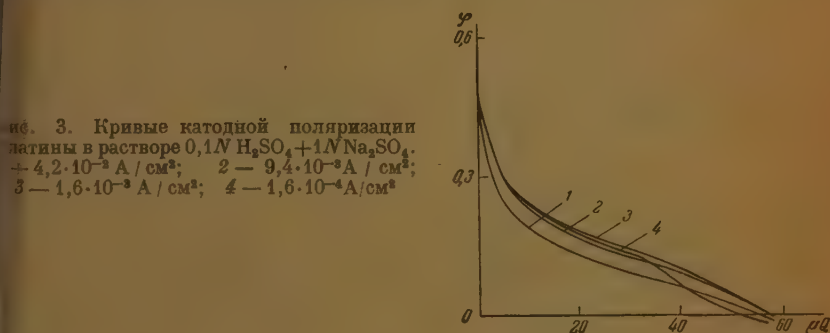


рис. 3. Кривые катодной поляризации платины в растворе $0,1N H_2SO_4 + 1N Na_2SO_4$: 1 — $4,2 \cdot 10^{-3} A/cm^2$; 2 — $9,4 \cdot 10^{-3} A/cm^2$; 3 — $1,6 \cdot 10^{-3} A/cm^2$; 4 — $1,6 \cdot 10^{-4} A/cm^2$

На рис. 3 приведены катодные кривые заряджения в растворе $0,1N H_2SO_4 + 1N Na_2SO_4$, снятые после 10-минутной выдержки электрода при потенциале 0,6 В токами разной плотности. Эти кривые были полу- чены на отдельных осциллограммах, затем при помощи фотоувеличителя перенесены с фотопленки на миллиметровую бумагу и для удобства ана- лиза сведены вместе на одном чертеже.

Как видно из рис. 3, при плотностях тока до $9,4 \cdot 10^{-3} A/cm^2$ кривые в H_2SO_4 идут близко друг к другу, что указывает на равновесное обра- зование адсорбированного слоя даже при сравнительно больших скоро- стях посадки водорода. Только кривая, отвечающая току заряджения $4,2 \cdot 10^{-2} A/cm^2$, заметно отклоняется от равновесной, сдвигаясь парал- лельно ей в сторону отрицательных потенциалов на 50 мВ. Аналогичный ход кривых был получен в 1N и 0,01N растворах H_2SO_4 . В щелочных растворах, где, как известно [5,9], скорость разряда иона водорода меньше, чем в кислоте, особенно заметна неравновесность образования адсорбиро- ванного слоя водорода при заряджении электрода токами большой плот- ности. Это видно из кривых, приведенных на рис. 4, полученных в рас- творе $0,1N NaOH + 1N Na_2SO_4$ (аналогичное имеет место и в растворах

1*N* и 0,01*N* NaOH). С ростом силы тока участки кривых, отвечающие адсорбции водорода, сдвигаются параллельно друг другу в сторону отрицательных потенциалов. Этот параллельный сдвиг кривых предсказывается уравнением М. И. Темкина [12] для разряда иона водорода на неоднородной поверхности. Действительно, для наших условий последнее удобно переписать так:

$$i = \frac{1}{r} \frac{RT}{F} \left\{ e^{-\frac{1/2(\varphi - \varphi_e) F}{RT}} - e^{+\frac{1/2(\varphi - \varphi_e) F}{RT}} \right\},$$

где *i* — сила катодного тока; $\frac{1}{r}$ — предельное значение омической составляющей проводимости электрода для переменного тока по П. И. Долину

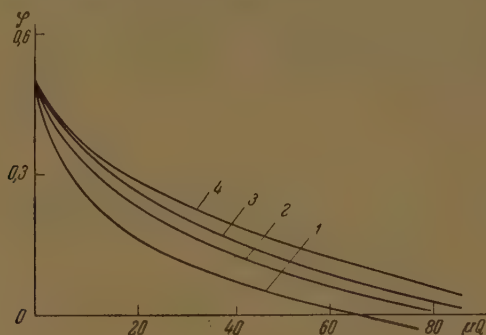


Рис. 4. Кривые катодной поляризации платины в растворе 0,1*N* NaOH + 1*N* Na₂SO₄.
1 — $4,2 \cdot 10^{-2}$ А/см²; 2 — $9,4 \cdot 10^{-3}$ А/см²;
3 — $1,6 \cdot 10^{-3}$ А/см²; 4 — $1,6 \cdot 10^{-4}$ А/см²

и Б. В. Эршлеру [5]; φ_e — равновесный потенциал электрода при данном заполнении поверхности адсорбированным водородом, φ — потенциал электрода с тем же заполнением, но поляризуемого током.

Поскольку *r* постоянно [5], то при постоянном *i* разность $\varphi - \varphi_e$ будет постоянной, и, таким образом, кривая зарядки, снятая при токе *i*, должна быть параллельна равновесной кривой, но сдвинута относительно нее по оси потенциалов на величину $\varphi - \varphi_e$. Зная сдвиг $\varphi - \varphi_e$ и *i*, можно из (1) вычислить $\frac{1}{r}$ и сравнить ее с величиной, измеренной Долиным и Эршлером при помощи переменного тока. Такое сопоставление указывает на хорошее согласие величин $\frac{1}{r}$, найденных обоими методами (табл. 1).

Таблица 1

Раствор	$\varphi - \varphi_e$ в mV	$\frac{1}{r}$, рассчит. по кривым зарядки	$\frac{1}{r}$, измерен. Долиным и Эршлером
1 <i>N</i> H ₂ SO ₄ + 1 <i>N</i> Na ₂ SO ₄	30	1,38	3,4
0,1 <i>N</i> H ₂ SO ₄ + 1 <i>N</i> Na ₂ SO ₄	50	0,75	1,1
1 <i>N</i> NaOH + 1 <i>N</i> Na ₂ SO ₄	130	0,15	0,22
0,1 <i>N</i> NaOH + 1 <i>N</i> Na ₂ SO ₄	110	0,19	0,21

Приведенные в таблице значения $\varphi - \varphi_e$ относятся к кривым, снятым при $i = 4,2 \cdot 10^{-2}$ А/см² и $1,6 \cdot 10^{-4}$ А/см², т. е. предполагается, что при $i = 1,6 \cdot 10^{-4}$ А/см² образование адсорбированного слоя водорода идет равновесно, что для щелочных растворов не совсем верно. В работе Долина Эршлера дано значение $\frac{1}{r}$ только для 1 N H₂SO₄. Приведенное в табл. 1 значение $\frac{1}{r}$ для 0,1 N H₂SO₄ получено делением величины $\frac{1}{r}$ для 1 N H₂SO₄ на $\sqrt{10}$, согласно теории замедленного разряда.

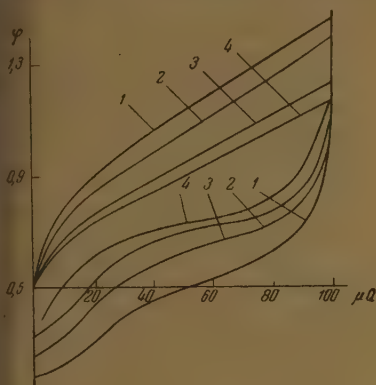


Рис. 5. Кривые заряжения платины в растворе 0,01 N H₂SO₄ + 1 N Na₂SO₄.
1— $4,2 \cdot 10^{-2}$ А/см²; 2— $9,4 \cdot 10^{-3}$ А/см²;
3— $1,6 \cdot 10^{-3}$ А/см²; 4— $1,6 \cdot 10^{-4}$ А/см²

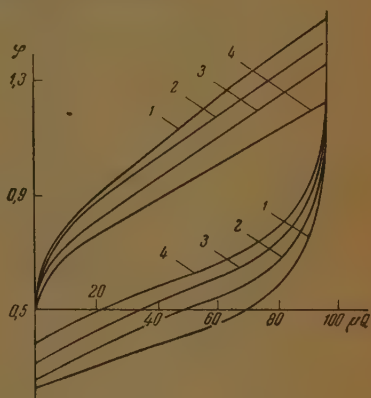


Рис. 6. Кривые заряжения платины в растворе 0,01 N NaOH + 1 N Na₂SO₄.
1— $4,2 \cdot 10^{-2}$ А/см²; 2— $9,4 \cdot 10^{-3}$ А/см²;
3— $1,6 \cdot 10^{-3}$ А/см²; 4— $1,6 \cdot 10^{-4}$ А/см²

Следует отметить, что из теории М. И. Темкина вытекала независимость скорости разряда иона водорода от потенциала платинового электрода, если адсорбированный слой был равновесным. Этот вывод был экспериментально подтвержден П. И. Долиным и Б. В. Эршлером, показавшими, что величина $\frac{1}{r}$ не зависит от потенциала. Такая независимость, противоречащая на первый взгляд теории замедленного разряда, вызвана тем, что в условиях равновесия ускоряющее влияние сдвига потенциала на разряд компенсируется увеличением заполнения поверхности, сопровождающим этот сдвиг, которое тормозит разряд. Таким образом, чтобы выявить влияние потенциала на скорость разряда H⁺ на платине, необходимо иметь данные по скорости разряда при одинаковом заполнении и разных потенциалах электрода, что возможно только при условии, если потенциалы эти далеки от равновесных. Такие данные и содержатся в кривых заряжения, приведенных на рис. 3 и 4. Очевидно точки, расположенные на одной вертикали на разных кривых, относятся к одинаковому заполнению поверхности, а скорость разряда для каждой равна силе поляризующего тока, которой снималась соответствующая кривая. Таким образом, здесь непосредственно обнаруживается влияние потенциала на скорость разряда иона водорода на платине.

Адсорбция кислорода. На рис. 5 и 6 приведены осциллограммы анодного и катодного заряжения платинового электрода после 10-минутной выдержки при потенциале, равном 0,5 В, в растворах 0,01 N H₂SO₄ + 1 N Na₂SO₄ и 0,01 N NaOH + 1 N Na₂SO₄, соответственно. Аналогичный вид имеют кривые, снятые в 1 N Na₂SO₄, содержащем 1 N и 0,1 N H₂SO₄ и 1 N и 0,1 N NaOH. Верхние части кривых отвечают анодному заряжению электрода, нижние — катодному. При рассмотрении участков кривых,

отвечающих процессу адсорбции кислорода, видно, что с ростом плотности тока они сдвигаются в сторону положительных потенциалов, одна не параллельно друг другу, как это имело место при образовании адсорбированного слоя водорода, а под разными углами, образуя веер. Нижние части кривых рис. 5 и 6 отвечают процессу десорбции кислорода с платины. С ростом силы поляризующего тока эти кривые сдвигаются в сторону более отрицательных потенциалов, и меняется их форма, что особенно заметно в кислом растворе (см., например, кривые 1 и 4 рис. 5). Важно заметить, что катодная кривая, отвечающая максимальной плотности тока, является как бы обращением соответствующей анодной кривой, но чем меньше плотность тока, тем наблюдается большее различие в форме анодной и катодной кривых. Интересно сопоставить катодные кривые, снятые сразу после проведения быстрого анодного окисления, с катодными кривыми, полученными после длительной выдержки электрода при потенциалах окисления.

На рис. 7 приведены кривые, полученные при катодной поляризации электрода после 10-минутной выдержки при потенциале 1,08 В. С ростом плотности катодного тока они также смещаются в сторону отрицательных потенциалов, но параллельно друг другу так что форма и наклон их при этом не меняются. Такое различие в процессе десорбции кислорода в обоих случаях, повидимому, вызвано тем, что состояние кислорода в адсорбированном слое меняется со временем. Действительно, катодные

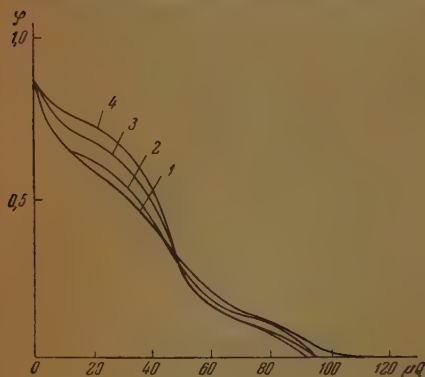


Рис. 7. Кривые катодной поляризации в растворе $0,01 N H_2SO_4 + 1 N Na_2SO_4$. 1— $4,2 \cdot 10^{-2}$ А/см²; 2— $9,4 \cdot 10^{-3}$ А/см²; 3— $1,6 \cdot 10^{-3}$ А/см²; 4— $1,6 \cdot 10^{-4}$ А/см² после десятиминутной выдержки при $\varphi = 1,08$ В

кривые, приведенные на рис. 5, были сняты сразу же после анодной поляризации, проведенной в различные по длительности промежутки времени, в силу чего время существования кислорода на платине перед десорбцией менялось от 0,01 сек. при токе $i = 4,2 \cdot 10^{-2}$ А/см² до нескольких секунд при $i = 1,6 \cdot 10^{-4}$ А/см². Кривые же рис. 7 все относятся к окисным слоям, существовавшим в течение одинакового и сравнительно большого промежутка времени. Изменение состояния адсорбированного слоя кислорода на Pt, правда, за гораздо большие промежутки времени, уже отмечал А. Н. Фрумкин в связи с исследованиями О. Нестеровой и А. Д. Обручевой [6].

Изменение кривых заряжения в зависимости от концентрации кислоты и щелочи видно на рис. 8 и 9, где приведены анодная и катодная кривые в разных растворах. С ростом концентрации кислоты петля между этими кривыми уменьшается. В щелочных растворах это явление не происходит.

Из рис. 5 и 6 видно, что потенциал начала адсорбции кислорода на платине зависит от плотности поляризующего тока, а именно с ее ростом место загиба кривых заряжения сдвигается в анодную сторону. Такой сдвиг и следовало ожидать, так как окисление ускоряется с потенциалом. Однако эта зависимость нарушается, если электрод подвергать анодной поляризации не от потенциала 0,5 В, как это имело место в вышеприведенных опытах, а от потенциала, близкого к обратимому водородному. Действительно, в этом случае (рис. 10) загиб кривых сдвигается с увеличением плотности тока в катодную сторону, т. е. при ускорении оки-

ния потенциал делается более катодным. Эту аномалию правильнее всего объяснить влиянием наличия адсорбированного водорода на скорость адсорбции кислорода. При анодном заряджении электрода, имеющего адсорбированный слой водорода, током большой плотности десорбция водорода не может завершиться при потенциалах, близких к обратимому, и

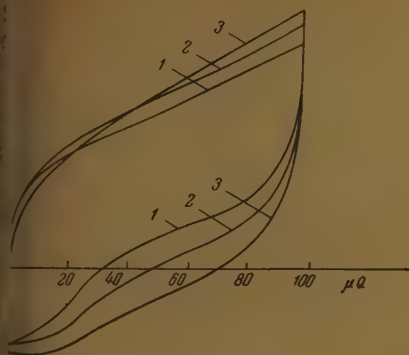


рис. 8. Кривые заряджения платины в растворе $1N Na_2SO_4$ с разным содержанием SO_4 ($i = 4,2 \cdot 10^{-2} A/cm^2$). 1 — $1N H_2SO_4 + 1N Na_2SO_4$; 2 — $0,1N H_2SO_4 + 1N Na_2SO_4$; 3 — $0,01N H_2SO_4 + 1N Na_2SO_4$

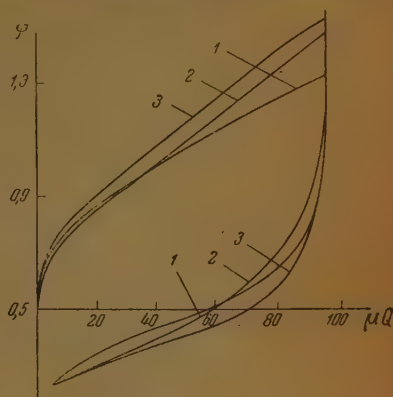


рис. 9. Кривые заряджения платины в растворе $1N Na_2SO_4$ с разным содержанием $NaOH$ ($i = 4,2 \cdot 10^{-2} A/cm^2$). 1 — $1N NaOH + 1N Na_2SO_4$; 2 — $0,1N NaOH + 1N Na_2SO_4$; 3 — $0,01N NaOH + 1N Na_2SO_4$

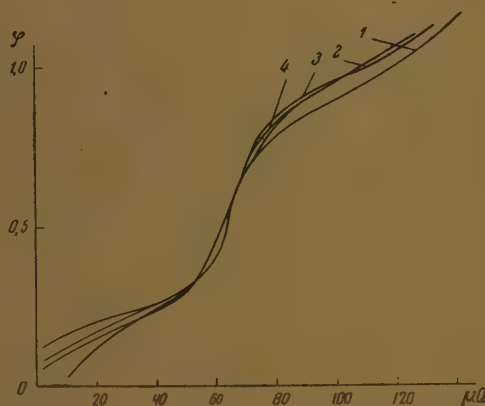


рис. 10. Кривые анодной поляризации платины в растворе $1N H_2SO_4 + 1N Na_2SO_4$. 1 — $4,2 \cdot 10^{-2} A/cm^2$; 2 — $9,4 \cdot 10^{-3} A/cm^2$; 3 — $1,6 \cdot 10^{-3} A/cm^2$; 4 — $1,6 \cdot 10^{-4} A/cm^2$

растягивается вплоть до потенциалов, при которых уже может начаться адсорбция кислорода. Это видно и по возрастанию емкости в области двойного слоя и по уменьшению задержки, отвечающей десорбции водорода. Следовательно, окисление идет на поверхности, на которой еще может находиться водород, повидимому, облегчающий процесс окисления. Чем больше плотность заряжающего тока, тем больше водорода остается на поверхности к моменту достижения потенциалов окисления. В щелочных растворах, где скорость десорбции водорода значительно меньше, чем

в кислых, это проявляется наиболее ярко. Действительно, как видно из рис. 11, форма кривых заряджения в этом случае гораздо сильнее зависит от плотности тока. При больших плотностях тока процессы десорбции водорода и адсорбции кислорода настолько накладываются друг на друга, что кривая заряджения имеет вид почти прямой линии, и только при $i = 1,6 \cdot 10^{-4}$ А/см² можно различить на ней три участка (десорбция водорода, заряджение двойного слоя и адсорбция кислорода), наблюдаемые

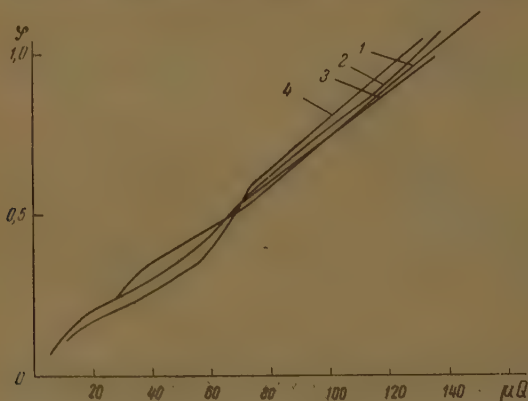


Рис. 11. Кривые анодной поляризации платины в растворе 1 N NaOH + 1 N Na₂SO₄. 1 — $4,2 \cdot 10^{-2}$ А/см²; 2 — $9,4 \cdot 10^{-3}$ А/см²; 3 — $1,6 \cdot 10^{-3}$ А/см²; 4 — $1,6 \cdot 10^{-4}$ А/см².

при обычном медленном заряджении электрода. Эти факты позволяют понять более ранние данные Бюудена [8], получившего кривую заряджения в виде прямой линии. С другой стороны, здесь выявляется большая сложность кривых заряджения, полученных при больших плотностях тока в интервале потенциалов от водородного до кислородного. Очевидно, задержки, наблюдаемые на таких кривых, трудно идентифицировать с задержками, обусловленными образованием каких-либо определенных окислов и гидридов. Полученные нами кривые делают явно несостоятельными попытки подобных идентификаций, делавшихся в работах Бюудена [8] и Хиклинга [10].

Обсуждение результатов

При анализе кривых заряджения платины при потенциалах окисления необходимо прежде всего иметь в виду их неравновесный характер. Даже при плотностях тока порядка 10^{-7} А/см², как это было показано в более ранних работах [1, 4], заряджение протекает неравновесно. Особенно отчетливо неравновесный характер электрохимического окисления платины выступает при сопоставлении процессов адсорбции кислорода при анодной поляризации и его удалении при катодной в кислых растворах. В то время как при адсорбции кислорода получается кривая заряджения, имеющая загиб с весьма большим наклоном, при десорбции его путем катодной поляризации, особенно при малых плотностях тока, наблюдаются только пологие кривые, приближающиеся иногда к почти горизонтальным линиям. На рис. 5 видно, что по мере уменьшения плотности поляризующего тока наклоны кривых заряджения, отвечающих посадке кислорода и его снятию, становятся все более отличными друг от друга, хотя,

залось бы, при более медленном проведении этих процессов соответствующие кривые должны были бы по своей форме все ближе подходить друг к другу, как это имеет место в случае слоя водорода на платине. Явление становится понятным в свете прежних наблюдений А. Д. Обручев и О. Нестеровой [6, 7], показавших, что после возникновения окисного слоя в нем продолжают в течение суток идти медленные процессы, приносящие к упрочнению связи кислорода с металлом. Эти изменения, видимо, ощутимы уже в те короткие промежутки времени существования окисного слоя, с которыми мы имели дело в нашем исследовании; это и приводит ко все большему различию в форме анодной и катодной кривой с уменьшением плотности тока, т. е. с увеличением времени существования окисла. При этом следует отметить, что со временем существования окисла кривые его восстановления приближаются к горизонтальным линиям, что указывает на постепенное изменение нефазового окисла, приближающее его свойства к свойствам фазового окисла.

Различие в поведении окисного слоя в зависимости от времени его существования еще отчетливее выступает, если сопоставить между собой анодные кривые, полученные при разных плотностях тока немедленно после соответствующих анодных, с катодными кривыми, полученными после значительной выдержки (рис. 7). В первом случае с плотностью тока меняется наклон кривых, во втором — кривые не меняют своей формы, а сдвигаются параллельно друг другу. Таким образом, меняя время существования слоя от долей секунды до секунд и минут, мы обнаруживаем изменения его свойств, являющиеся, по видимому, начальной стадией весьма медленных превращений в окисном слое, обнаруженных в прежних работах. Это заставляет различать при анодном окислении платины, по крайней мере, две стадии: образование окисла и последующие изменения. Наши данные позволяют уяснить природу первой стадии.

Иногда предполагалось, что образование окисного слоя на платине идет через промежуточные неустойчивые соединения, концентрация которых в поверхностном слое электрода равновесно определяет потенциал последнего, медленной стадией является превращение их в устойчивый окисел Хиклинг [10]). Однако из кривых катодной поляризации, снятых немедленно после анодной (рис. 5), видно, что количество электромоторно-активного вещества, способного определять потенциал, равно практически нулю, так как все кривые обнаруживают вначале резкое падение потенциала, и, следовательно, здесь не наблюдается заметного расходования заряда на восстановление какого-либо соединения. Таким образом, потенциал электрода в течение анодной поляризации является неравновесным не только по отношению к какому-либо конечному окислу, возникающему в результате этого процесса, но и по отношению к возможным неустойчивым промежуточным продуктам окисления. Это означает, что потенциал электрода определяется скоростью анодного процесса, т. е., что первой медленной стадией окисления является переход кислорода из раствора на поверхность металла.

В пользу этого утверждения свидетельствует и влияние состава раствора на кинетику окисления, проявляющееся в уменьшении расстояния между пологими участками анодной и соответствующей катодной кривой с уменьшением pH. Расстояние это, являющееся мерой необратимости процессов адсорбции и десорбции кислорода, уменьшается от 0,75 В в 0,01 N H_2SO_4 до 0,4 В в 1 N H_2SO_4 , и, следовательно, процессы эти ускоряются с ростом концентрации кислоты. Это ускорение, естественно, объясняется, если петля между анодной и катодной кривой вызвана наличием медленной электрохимической стадии в процессах адсорбции и десорбции, но его трудно истолковать, предполагая, что медленными являются вторичные превращения промежуточных окислов, поскольку на скорость таких превращений состав раствора не должен оказывать влияния.

Интересен характер влияния, оказываемого окисным слоем на скорость разряда кислорода, выявляемый по кривым рис. 5 и 6. На основе теории замедленного разряда можно, независимо от характера неоднородности поверхности металла и от механизма торможения разряда адсорбированным слоем, выразить скорость разряда в виде произведения двух множителей, из которых один $f(\theta)$ зависит от заполнения θ и других параметров, а другой от потенциала Φ :

$$v = f(\theta) \exp(k\Phi), \quad (1)$$

где k — константа. Поскольку ионизация адсорбированного кислорода, как было выше показано, практически не идет в наших условиях при

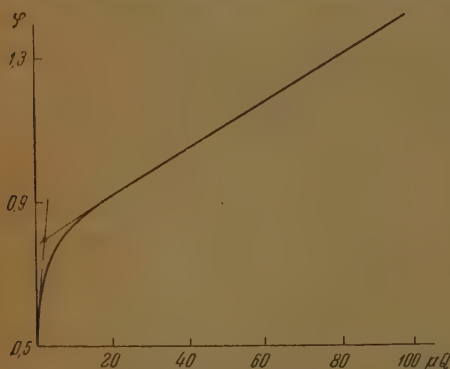


Рис. 12. Определение потенциала «начала окисления» графическим экстраполированием

анодной поляризации платины, то скорость разряда в любой точке верхней части анодной кривой равна плотности поляризующего тока и, следовательно, в течение всего времени поляризации она остается постоянной:

$$v = i. \quad (2)$$

Для оценки степени торможения, оказываемого окисным слоем на разряд, заметим, учитывая (2), что ускорение разряда, вызванное приростом потенциала в течение снятия верхнего участка анодной кривой, точно компенсируется

торможением разряда, вследствие роста θ , чем обусловлено постоянство скорости разряда. Отсюда прирост потенциала $\Delta\Phi$ от момента загиба анодной кривой (от начала окисления) до достижения данного заполнения может быть мерой тормозящего действия, оказываемого на разряд этим заполнением. Это можно выразить и количественно, воспользовавшись уравнением (1), из которого следует, что уменьшение скорости разряда при возрастании заполнения от нуля до θ равно:

$$\frac{f(0)}{f(\theta)} = \exp(k\Delta\Phi),$$

где $f(0)$ — значение функции f в месте загиба кривой заряжения когда $\theta = 0$, одинаковое, очевидно, для всех кривых. Теперь возьмем точки на пологих участках различных анодных кривых рис. 5 и 6, расположенные по одной вертикали. Хотя все эти точки отвечают одинаковому заполнению, но вследствие веерообразного хода кривых соответствующие им значения $\Delta\Phi$, а следовательно, и величины $\frac{f(0)}{f(\theta)}$ окажутся различными, а именно, меньшими для кривых, снятых при меньших силах тока, т. е. снятых в большие промежутки времени. Таким образом, тормозящее действие адсорбированного слоя при данном заполнении падает со временем существования слоя.

Падение тормозящего действия окисла на разряд кислорода со временем может иметь различную природу. Так, например, если торможение разряда кислорода окисным слоем происходит по механизму, предложенному одним из нас [13] для объяснения торможения разряда Cl-иона этим слоем на платине, то из факта падения торможения со временем жизни

ла можно было бы заключить о падении контактного потенциала на ленин платине со временем. Такое явление кажется вполне реальным. С другой стороны, возможно, что разряд идет легче на некоторых участках, откуда кислород постепенно распределяется по поверхности; а при более быстром проведении процесса разряда центры эти не успевают освобождаться, и разряд должен будет идти на менее активных центрах.

Падение тормозящего действия окисла на разряд кислорода со временем создает некоторую трудность при выявлении зависимости скорости разряда от потенциала по нашим данным. Так, беря точки, расположенные по одной вертикали на анодных кривых, снятых разными токами, хотя и находим зависимость скорости разряда от потенциала при

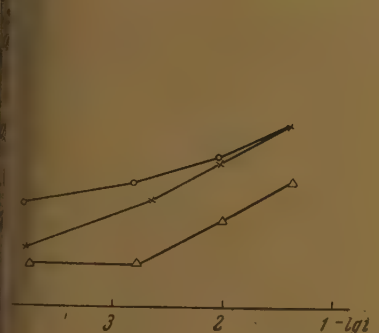


Рис. 13. Зависимость потенциала «начала окисления» от плотности поляризующего тока в растворах кислоты: \times — $1N H_2SO_4 + 1N Na_2SO_4$; \circ — $0,1N NaOH + 1N Na_2SO_4$; Δ — $0,01N H_2SO_4 + 1N Na_2SO_4$.

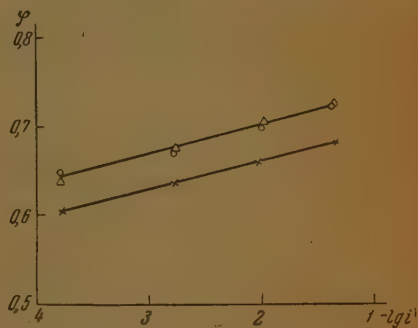


Рис. 14. Зависимость потенциала «начала окисления» от плотности поляризующего тока в растворах щелочи: \times — $1N NaOH + 1N Na_2SO_4$; \circ — $0,1N NaOH + 1N Na_2SO_4$.

динаковых заполнениях, но последние обладают разным временем жизни, следовательно, разным тормозящим действием. Правильнее поэтому брать эти точки возможно ближе к началу загиба кривых, когда влиянием адсорбированного слоя на разряд можно пренебречь.

Прямолинейная форма верхних частей позволяет также путем экстраполяции приблизительно найти потенциалы, которые должны наблюдаться при данных скоростях разряда и при нулевом заполнении поверхности, т. е. потенциалы «начала окисления». На рис. 12 показано, как проводилась экстраполяция при нахождении этих потенциалов. Полученные значения потенциалов «начала окисления» в зависимости от плотности тока приведены на рис. 13 и 14.

Из приведенных данных видно, что скорость адсорбции кислорода на совершенно незаполненной поверхности меняется по экспоненциальному закону с потенциалом электрода, причем множитель при потенциале в экспоненте равен $0,7 - 1 \frac{F}{RT}$ для кислых растворов и $\frac{2F}{RT}$ для щелочных растворов.

Считаем приятным долгом выразить благодарность академику А. Н. Фрумкину за постоянный интерес к этой работе.

Выводы

1. Сняты кривые зарядения платины в течение промежутков времени от секунд до сотых долей секунды в подкисленных и подщелоченных растворах сульфата натрия.

2. Экспериментально доказано влияние потенциала на скорость разряда иона водорода на платине. Скорость разряда иона водорода, рассчитанная по кривым быстрого заряжения, хорошо согласуется с приведенными данными по скоростям разряда, полученными П. И. Долиным и Б. В. Эршлером методом переменного тока.

3. Доказано, что первой медленной стадией в процессе образования поверхностных окислов платины является разряд кислорода.

4. Обнаружены изменения, протекающие в окисном слое на платине в течение первых мгновений его существования, в результате которых окисел по своим свойствам приближается к фазовому.

5. Показано, что тормозящее действие окисного слоя на процесс разряда кислорода на платине падает с временем жизни окисла, и обсуждены возможные механизмы этого явления.

6. Показано, что электрохимическая адсорбция кислорода на платине облегчается при наличии адсорбированного водорода.

Физико-химический институт
им. Л. Я. Карпова
Москва

Поступила
20. V. 1950

ЛИТЕРАТУРА

1. А. И. Шлыгин и А. Н. Фрумкин, *Acta Phys.-Chim. URSS*, **3**, 791, 1937.
2. А. И. Шлыгин, А. Н. Фрумкин и В. И. Медведовский, *Acta Phys. Chim URSS*, **4**, 911, 1936.
3. А. И. Фрумкин и А. И. Шлыгин, *Изв. АН СССР, сер. хим.*, № 5, 77, 1936.
4. Б. В. Эршлер, *Acta Phys.-Chim. URSS*, **7**, 327, 1937.
5. П. И. Долин и Б. В. Эршлер, *Журн. физ. хим.*, **14**, 886, 1940.
6. А. Н. Фрумкин, *Журн. физ. хим.*, **14**, 1200, 1940.
7. А. Н. Фрумкин, *Успехи химии*, **18**, 9, 1949.
8. F. R. Bowden, *Proc. Roy. Soc. A*, **126**, 446, 1929.
9. Butler and Armstrong, *Proc. Roy. Soc. A*, **137**, 604, 1932.
10. A. Hickling, *Trans. Farad. Soc.*, **61**, 333, 1945.
11. F. R. Mayer, G. Ronge, *Z. ang. Chem.*, **52**, 637, 1933.
12. М. И. Темкин, *Журн. физ. хим.*, **14**, 886, 1940.
13. Б. В. Эршлер, *Журн. физ. хим.*, **18**, 131, 1944.

ФАЗОВЫЕ И ОБЪЕМНЫЕ СООТНОШЕНИЯ В СИСТЕМАХ ЖИДКОСТЬ—ГАЗ ПРИ ВЫСОКИХ ДАВЛЕНИЯХ. III

И. Р. Кричевский и Г. Д. Ефремова

Изучение фазовых и объемных соотношений в системе метанол — азот — водород при высоких давлениях является продолжением систематических исследований, проводимых в этой области в нашей лаборатории [1]. Экспериментальная установка, методика проведения эксперимента, очистка и анализ газов остались прежними [1].

Примененный для исследования химически чистый дважды перегнанный метанол имел удельный вес 0,7869 при 25° С, вместо 0,7866 по литературным данным [2]. Если принять, что разница в удельных весах вызвана примесью воды, то метанол содержал ее 0,1% (вес.).

Наши измерения растворимости азота в метаноле при 25° С являются продолжением измерений И. Р. Кричевского и Е. С. Лебедевой [3], проведенных до 287 атм. Обе серии данных хорошо укладываются на одну кривую (рис. 1).

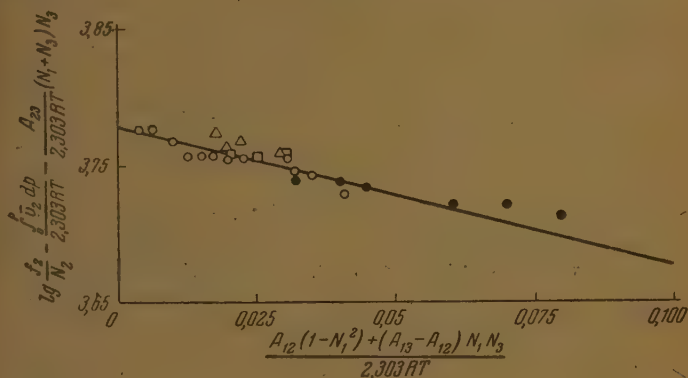


Рис. 1. Растворимость водорода в метаноле при 25° С из его смесей с азотом. ○ — 100% водорода, △ — 75% водорода, □ — 66,8% водорода, ◻ — 67,2% водорода, ● — 21,7% водорода

Растворимость водорода в метаноле при температурах 21, 90 и 140° С давлениях до 300 атм измеряли И. Р. Кричевский, Н. М. Жаворонков Д. С. Циклис [4], при температуре 25° С и давлениях до 190 атм — в со- трудниками [5] и при 25° С и давлении 100 атм И. Р. Ипа- ев, С. И. Дружина-Артемович и В. И. Тихомиров [6].

Данные, полученные этими исследователями, различаются между собой в среднем на 10%. Результаты наших измерений согласуются с данными, полученными И. Р. Ипатьевым и его сотрудниками.

Мы оцениваем погрешность при измерении растворимости чистых газов в 0,5%, газовых смесей в 2—3%.

Ошибка при измерении объемов составляла 0,2%.

Таблица 1

Растворимость и молярные объемы насыщенных растворов азота в метаноле при 25°C

Давление, атм	Молярная доля азота · 10 ³	Молярный объем, см ³
250	5,34	—
293	5,94	40,06
337	6,62	39,91
342	6,69	39,82
388	6,99	39,63
445	8,31	39,74
472	8,73	39,43
495	9,08	39,45
559	9,79	39,41
566	10,5	39,22
746	12,3	—

Таблица 3

Растворимость и молярные объемы насыщенных растворов водорода в метаноле при 25°C

Давление, атм	Молярная доля водорода · 10 ³	Молярный объем, см ³
48,2	0,748	40,45
91,7	1,42	40,20
113	1,75	40,11
129	1,98	39,65
147	2,27	39,89
168	2,55	39,62
183	2,75	39,49
212	3,16	39,61
246	3,62	39,41
260	3,74	39,34
292	4,11	39,10
424	5,55	38,56
437	5,81	38,48
493	6,40	38,17
507	6,56	38,12
582	7,47	37,77

Таблица 2

Молярные объемы ненасыщенных растворов азота в метаноле при 25°C, см³/моль

Давление, атм											
97,8		291		388		472		579		775	
N ₂ · 10 ³	v	N ₂ · 10 ³	v	N ₂ · 10 ³	v	N ₂ · 10 ³	v	N ₂ · 10 ³	v	N ₂ · 10 ³	v
0,00	40,27	0,00	39,49	0,00	39,28	0,00	38,93	0,00	38,63	0,00	38,41
1,05	40,29	1,52	39,51	1,29	39,10	4,85	39,10	2,96	38,80	8,23	38,28
1,35	40,34	3,47	39,78	4,44	39,28	6,71	39,17	4,71	38,68	11,3	38,43
—	—	4,99	39,83	5,19	39,40	8,05	39,30	5,71	38,69	12,2	38,43
—	—	—	—	5,41	39,28	—	—	8,21	38,92	—	—
—	—	—	—	6,33	39,40	—	—	8,44	38,92	—	—

Таблица 4

Молярные объемы ненасыщенных растворов водорода в метаноле при 25°C, см³/моль

Давление, атм							
97,8		195		388		582	
N ₂ · 10 ³	v	N ₂ · 10 ³	v	N ₂ · 10 ³	v	N ₂ · 10 ³	v
0,000	40,27	0,000	39,94	0,00	39,28	0,00	38,64
0,599	40,17	0,801	39,81	1,36	39,05	2,82	38,21
0,774	40,18	1,77	39,76	3,18	38,87	4,34	38,09
1,59	40,13	2,41	39,75	4,46	38,76	6,35	37,87
—	—	—	—	5,93	38,69	7,47	37,77

Таблица 5

Совместная растворимость азота и водорода в метаноле при 25°C

атм	Состав газовой смеси (% объемн.)							
	Н ₂ —75,0; N ₂ —25,0		Н ₂ —67,2; N ₂ —32,8		Н ₂ —66,8; N ₂ —33,2		Н ₂ —21,7; N ₂ —78,3	
	Молярная доля растворенного газа · 10 ³							
	водород	азот	водород	азот	водород	азот	водород	азот
135	1,43	0,754	—	—	—	—	0,473	2,28
129	—	—	1,42	1,01	—	—	—	—
142	1,67	0,826	—	—	—	—	—	—
163	1,86	0,940	—	—	—	—	—	—
166	—	—	1,79	1,25	—	—	0,623	2,98
188	—	—	—	—	—	—	0,723	3,40
203	—	—	—	—	2,10	1,51	—	—
224	2,54	1,21	—	—	—	—	—	—
268	—	—	—	—	—	—	1,03	4,60

Таблица 6

Молярные объемы насыщенных растворов азотоводородных смесей в метаноле при 25°C, см³/моль. (Состав газовой смеси % объемн.)

Давление, атм	Эксп.	Вычисл.	Давление, атм	Эксп.	Вычисл.
Водород—75%, азот—25%.			Водород—67,2%, азот—32,8%		
125	40,11	40,26	129	40,15	40,21
142	40,01	40,20	166	39,95	40,05
163	39,91	40,12	Водород—21,7%, азот—78,3%		
224	39,61	39,88	123	40,34	40,09
Водород—66,8%, азот—33,2%			166	40,15	39,86
203	39,73	39,94	188	40,08	39,76
			268	39,82	39,35
			359	39,52	38,27
			378	39,51	38,82

Растворимость малорастворимых газов в жидкостях под давлением хорошо передается уравнениями:

$$RT \ln \frac{f_2}{N_2} = RT \ln K_2(P_1^*, T) + \int_{P_1^*}^P \bar{v}_2 dP - A_{12}(1 - N_1^2), \quad (1)$$

$$RT \ln \frac{f_3}{N_3} = RT \ln K_3(P_1^*, T) + \int_{P_1^*}^P \bar{v}_3 dP - A_{13}(1 - N_1^2) \quad (2)$$

для бинарных растворов и

$$\begin{aligned}
 RT \ln \frac{f_2}{N_2} &= RT \ln K_2(P_1^\circ, T) + \int_{P_1^\circ}^P \bar{v}_2 dP - A_{12}(1 - N_1^2) + \\
 &+ A_{23}N_3^2 + (A_{12} + A_{23} - A_{13})N_1N_3, \\
 RT \ln \frac{f_3}{N_3} &= RT \ln K_3(P_1^\circ, T) + \int_{P_1^\circ}^P \bar{v}_3 dP - A_{13}(1 - N_1^2) + \\
 &+ A_{23}N_2^2 + (A_{13} + A_{23} - A_{12})N_1N_2
 \end{aligned}$$

для тройных растворов.

В уравнениях (1), (2), (3) и (4) f и N означают летучесть и молярную долю растворенного вещества, $K(P_1^\circ, T)$ — коэффициент Генри при давлении насыщенного пара чистого растворителя, \bar{v}_2 и \bar{v}_3 — парциальные молярные объемы растворенных газов при бесконечном разведении раствора, A_{12} , A_{13} и A_{23} — константы, зависящие только от температуры T и давления P , R — газовая постоянная, P_1° — упругость пара чистого растворителя. Нижний индекс 1 относится к растворителю, индексы 2 и 3 к растворенным веществам.

В табл. 7 и 8 приведены значения парциальных молярных объемов азота и водорода в их бесконечно разбавленных растворах в метаноле при 25° С, вычисленные по данным о зависимости молярного объема раствора от его состава (табл. 2 и 4).

Таблица 7

Парциальные молярные объемы водорода в его бесконечно разбавленном растворе в метаноле при 25°С, см³

Давление, атм,	97,8	195	388	582
\bar{v}_2	32,1	31,8	30,7	27,3

По данным И. Р. Кричевского и А. А. Ильинской [7], парциальные молярные объемы азота и водорода в метаноле равны соответственно 36 и 52 см³. Кривые $\bar{v}_2 - P$ и $\bar{v}_3 - P$, построенные по нашим экспериментальным данным, при равном нулю давлении дают значения \bar{v}_2 и \bar{v}_3 , совпадающие со значениями, полученными И. Р. Кричевским и А. А. Ильинской.

Таблица 8

Парциальные молярные объемы азота в его бесконечно разбавленном растворе в метаноле при 25°С, см³

Давление, атм	97,8	291	388	472	579	775
\bar{v}_3	49,3	45,2	43,0	42,5	41,2	40,7

Зависимость молярных объемов растворов азота и водорода в метаноле состава оказалась прямолинейной. Следовательно, парциальные молярные объемы газов в этих растворах не зависят от состава раствора, что, в свою очередь, влечет за собой независимость от давления коэффициентов A_{12} и A_{13} .

В табл. 9 приведены значения коэффициентов Генри и констант A_{12} , A_{13} , которые мы вычислили по уравнениям (1) по экспериментальным данным табл. 1 и 3.

По литературным данным коэффициенты Генри для азота и водорода, растворенных в метаноле, при 25°C равны соответственно 4250 атм/мол. доля и 6350 атм/мол. доля.

Если A_{23} [уравнения (3) и (4)] также не зависит от давления, то молярный объем трехкомпонентного раствора должен передаваться уравнением [7]:

$$V = v_1^0 N_1 + \bar{v}_2 N_2 + \bar{v}_3 N_3, \quad (5)$$

где v_1^0 — молярный объем чистого растворителя*.

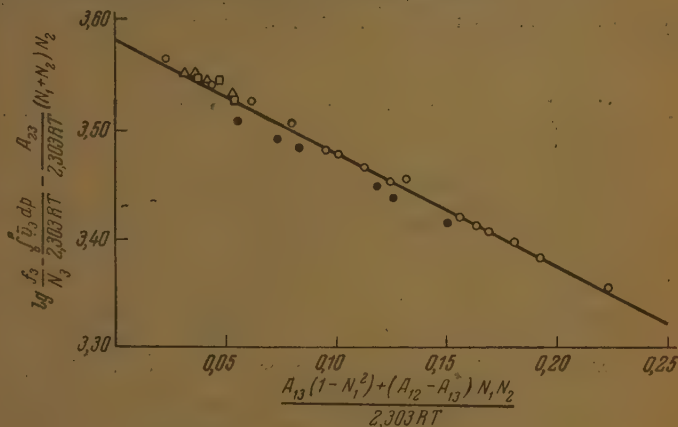


Рис. 2. Растворимость азота в метаноле при 25°C из его смесей с водородом. \circ — 100% азота, \bullet — 78,3% азота, \square — 32,8% азота, \square — 33,2% азота, Δ — 25% азота

Совпадение экспериментальных значений молярных объемов с вычисленными по уравнению (5) (табл. 6) свидетельствует о независимости A_{23} от давления. В этом случае экспериментальные данные по растворимости азота и водорода из смеси можно совместить на одной и той же прямой (рис. 1 и 2).

Летучести азота и водорода вычислили Деминг и Шуп [10], летучести этих газов в их смесях вычислил П. Е. Большаков [11].

Значение A_{23} , найденное нами по методу наименьших квадратов, равно $-31\,280 \text{ см}^3 \text{ атм}$.

Из рис. 1 и 2 видно, что экспериментальные данные хорошо передаются уравнениями (1), (2), (3) и (4).

* Значения молярных объемов метанола см. [9].

Объемные соотношения в насыщенных растворах

В насыщенных растворах газов в жидкостях соблюдается соотношение [1]

$$v_{\text{нас.}} = v_1^0 + BN_2,$$

где v_1^0 — молярный объем чистого растворителя при давлении его насыщенного пара P_1^0 , N_2 — молярная доля растворенного вещества, B — константа, зависящая только от температуры, определяется выражением:

Таблица 10

Коэффициенты B для систем метанол—азот и метанол—водород при 25° С, см³/мол. доля

Газ	Эксп.	Выч.
Водород	—38,9	—36,2
Азот	—13,4	—9,5

$$B = \bar{v}_2 - v_1^0 - Kv_1^0 \beta_1^0.$$

В уравнении (7) K — коэффициент Генри при давлении насыщенного пара растворителя, β_1^0 — коэффициент сжимаемости чистого растворителя при этом же давлении.

Уравнение (6) хорошо передает объемные соотношения в насыщенных растворах водорода и азота в метаноле при 25° С (рис. 3).

Мы вычислили значения коэффициентов B по уравнению (7) и сравнили (табл. 10) их со значениями этого коэффициента, определенными по данным табл. 1 и 3.

Совпадение значений коэффициентов B можно считать удовлетворительным.

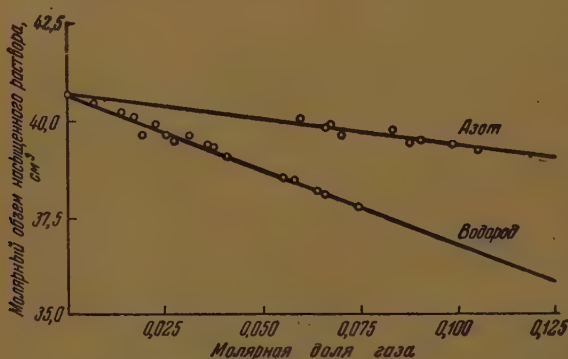


Рис. 3. Молярные объемы насыщенных растворов водорода и азота в метаноле при 25° С.

Выводы

1. Исследованы растворимость и объемное поведение растворов водорода в метаноле при 25° С и давлениях от 50 до 600 атм, азота в метаноле при 25° С и давлениях от 250 до 750 атм.
2. Исследованы растворимости и плотности растворов четырех азото-водородных смесей разного состава в метаноле при 25° С и давлениях до 400 атм.
3. Вычислены парциальные молярные объемы водорода и азота, растворенных в метаноле, при различных давлениях и 25° С.
4. Показано, что экспериментальные данные хорошо согласуются с уравнениями для разбавленных растворов неэлектролитов.

ЛИТЕРАТУРА

- И. Р. Кричевский и Г. Д. Ефремова, Журн. физ. хим., 22, 1116, 1948; 24, 177, 1950.
- Справочник физических, химических и технологических величин, т. 5.
- И. Р. Кричевский и Е. С. Лебедева, Журн. физ. хим., 21, 715, 1947.
- И. Р. Кричевский, Н. М. Жаворонков и Д. С. Циклис, Журн. физ. хим., 9, 317, 1937.
- P. K. Frolich, E. J. Tausch a. J. J. Reeg, Ind. Eng. Chem., 23, 548, 1931.
- В. В. Ипатьев, С. И. Дружина-Артемович, В. И. Тихомиров, Журн. общ. хим., 1 (63), 594, 1931.
- И. Р. Кричевский и А. А. Ильинская, Журн. физ. хим., 19, 631, 1945.
- G. Just, Z. phys. Chem., 37, 342, 1901.
- P. Bridgman, Proc. Amer. Acad., 49, 1, 1913.
- W. Deming a. L. Shure, Phys. Rev., 37, 638, 1931; 38, 848, 1932.
- П. Е. Большаков, Журн. физ. хим., Сборник работ по физической химии, 1948.
-

КОМПЛЕКСООБРАЗОВАНИЕ И ОБМЕННОЕ РАЗЛОЖЕНИЕ В ТРОЙНОЙ ВЗАИМНОЙ СИСТЕМЕ ИЗ ХЛОРИДОВ И СУЛЬФАТОВ ЛИТИЯ И ЦЕЗИЯ

Е. П. Дегунов

На основании большого экспериментального материала по термическому анализу А. Г. Бергманом и Н. С. Домбровской [1] была предложена классификация взаимных систем и их топология. В основу классификации положены величины теплового эффекта реакции взаимного обмена.

В последнее время, в связи с исследованием взаимных систем с резко выраженным комплексобразованием, А. Г. Бергманом с сотрудниками [2, 3] были разработаны новые типы взаимных систем: адигональные, поясные и другие.

Если на одной или более из боковых двойных сторон взаимной системы образуются соединения, то, наряду с реакцией обмена, происходит реакция комплексобразования, т. е. реакции образования соединений. В том случае, когда свободная энергия реакции обмена превышает свободную энергию реакции комплексобразования, образуются системы диагонального типа; в обратном случае — адигонального типа. Диагональный и адигональный типы являются топологическими изомерами [4].

В состав исследованной в настоящей статье тройной взаимной системы входят хлориды и сульфаты лития и цезия. Тепловой эффект реакции обмена



вычисленный из теплот образования соответствующих соединений, равен 6,36 ккал на г-экв. Две аналогичные системы, а именно: $\text{Li}_2\text{Cl}_2 + \text{Na}_2\text{SO}_4 \rightarrow \text{Na}_2\text{Cl}_2 + \text{Li}_2\text{SO}_4$, изученная М. А. Ключко [5] и $\text{Li}_2\text{Cl}_2 + \text{K}_2\text{SO}_4 \rightarrow \text{K}_2\text{Cl}_2 + \text{Li}_2\text{SO}_4$, изученная О. С. Домбровской [6], имеют тепловой эффект: первая 4,68 ккал и вторая 5,73 ккал на г-экв.

В исследованной мною системе (1), в отличие от системы, изученной М. А. Ключко, не образуются непрерывные твердые растворы в двойных системах. Мы имеем простые эвтектические системы для трех двойных сторон, и для четвертой — образование двух соединений: 1:1 $\text{Li}_2\text{SO}_4 \cdot \text{Cs}_2\text{SO}_4$ с явным максимумом на равновесной диаграмме и 4:1 $4\text{Li}_2\text{SO}_4 \cdot \text{Cs}_2\text{SO}_4$ также с максимумом.

Сульфат лития, как и другие соли лития, не образует твердых растворов с соответственными солями щелочных металлов. Однако существует целый ряд комплексов типа двойных солей. Причем, склонность к образованию комплексов с другими солями щелочных металлов у остальных солей лития не так ясно выражена, как у сульфата лития.

Система из сульфатов лития и натрия дает сложную и не вполне установленную диаграмму. Она была тщательно изучена Накеном [7], М. А. Ключко [5] и другими авторами. На диаграмме очень слабо проявляются соединения $2\text{Li}_2\text{SO}_4 \cdot 3\text{Na}_2\text{SO}_4$ и $\text{Li}_2\text{SO}_4 \cdot \text{Na}_2\text{SO}_4$, хотя путем кристаллизации из водных растворов ни одно из них получить не удалось.

Система $\text{Li}_2\text{SO}_4 - \text{K}_2\text{SO}_4$, исследованная разными авторами, дает конгруэнтное соединение $\text{Li}_2\text{SO}_4 \cdot \text{K}_2\text{SO}_4$.

В системах $\text{Li}_2\text{SO}_4 - \text{Rb}_2\text{SO}_4$ и $\text{Li}_2\text{SO}_4 - \text{Cs}_2\text{SO}_4$, впервые исследованных ю, образуются по два соединения с явными максимумами при соотношениях солей 1:1 и 4:1.

Соединения $\text{Li}_2\text{SO}_4 \cdot \text{Rb}_2\text{SO}_4$ и $\text{Li}_2\text{SO}_4 \cdot \text{Cs}_2\text{SO}_4$ были получены из водных растворов путем кристаллизации и была определена температура плавления их, которая совпала с соответствующими температурами на диафрагматическом плавлении.

Итак, мы видим образование соединения во всех рассмотренных сульфатных двойных системах, причем в исследованных мною системах (рубидием и цезием) оно особенно ярко выступает. В этих комплексах (а двойных солей ион лития входит в центральное ядро, и способность комплексообразованию для сульфатных систем возрастает с увеличением ионного радиуса щелочного металла, находящегося вне комплексного ядра, от натрия к цезию). Хотя в настоящее время и не представляется возможным выразить эту зависимость в строгой математической форме, а не менее существование зависимости между способностью к комплексообразованию и размерами ионных радиусов (главным образом ионов), входящих в состав солей, несомненно.

Взаимная система $\text{Li}, \text{Cs} \parallel \text{Cl}, \text{SO}_4$ относится к системам диагонального типа с одним диагональным сечением $\text{Cs}_2\text{Cl}_2 - \text{Li}_2\text{SO}_4 \cdot \text{Cs}_2\text{SO}_4$. Диагональное сечение $\text{Cs}_2\text{Cl}_2 - \text{Li}_2\text{SO}_4$ не имеет характера двойной системы, является триангулирующим. Такие системы А. Г. Бергман [2] называют диагональными с подчиненным диагональным сечением.

Для расчета величин условных термохимических эффектов реакции обмена и комплексообразования необходимо знание теплот образования солей, составляющих данную систему, и теплоты образования комплекса. Теплоты образования большинства простых солей приводятся в термохимических справочниках [8], но теплоты образования комплексов типа двойных солей известны только для следующих: $\text{K}_2\text{SO}_4 \cdot \text{PbSO}_4 - 5,36$ ккал, $\text{SO}_4 \cdot \text{SrSO}_4 - 4,45$ ккал и $\text{Li}_2\text{SO}_4 \cdot \text{K}_2\text{SO}_4 - 2,23$ ккал.

Исходя из близости значений теплот образования солей K_2SO_4 и Li_2SO_4 , мы для расчета условно приняли теплоту образования $\text{Li}_2\text{SO}_4 \cdot \text{Cs}_2\text{SO}_4$ образующих солей равной 2,5 ккал (а из элементов — 687,58 ккал).

Приводим расчет триангулирующих сечений для системы $\text{Li}, \text{Cs} \parallel \text{Cl}, \text{SO}_4$ (рис. 6).

Реакции обмена (точка конверсии А)



вызывает тепловой эффект 6,36 ккал.

Для реакции комплексообразования (точка конверсии В)



получается величина 7,62 ккал.

Расчеты по уравнению (точка конверсии В)



получают 5,11 ккал.

Таким образом триангулирующими сечениями по расчету являются $\text{Cs}_2\text{Cl}_2 - \text{Li}_2\text{SO}_4 \cdot \text{Cs}_2\text{SO}_4$ и $\text{Cs}_2\text{Cl}_2 - \text{Li}_2\text{SO}_4$.

Экспериментальная часть

Исследование взаимной системы выполнено визуально-политермическим методом платиновом тигле с применением платино-платинородневой термодомы. Определение температуры появления первых кристаллов производилось не меньше двух раз для каждого сплава. Отмечалась также температура исчезновения твердой фазы. Во время определений производилось энергичное помешивание расплава. Соли для исследования применялись химически чистые (ч. д. а.) обезвоженные. Составы выражены в молекулярных процентах.

Двойные системы: % — молекулярные, t° — температура появления
первых кристаллов

 $\text{Li}_2\text{SO}_4 - \text{Cs}_2\text{SO}_4$

Li_2SO_4 %	t°	Li_2SO_4 %	t°	Li_2SO_4 %	t°	Li_2SO_4 %	t°
0	1020	27,5	765	42	720	75	64
5	987	30	738	45	730	77,5	63
10	943	32,5	714	50	738	80	63
15	892	35	690	55	734	85	63
20	840	38	696	60	724	90	63
25	792	40	712	65	710	95	78
					686	100	85

 $\text{Li}_2\text{Cl}_2 - \text{Cs}_2\text{Cl}_2$

Li_2Cl_2 %	t°	Li_2Cl_2 %	t°	Li_2Cl_2 %	t°	Li_2Cl_2 %	t°
0	640	32,5	488	52,5	358	70	435
5	626	35	465	55	346	75	477
10	606	37,5	442	57,5	335	80	518
15	582	40	417	60	346	85	554
20	566	42,5	396	62,5	368	90	578
25	542	45	387	65	390	95	595
30	508	50	367	67,5	412	100	606

 $\text{Li}_2\text{Cl}_2 - \text{Li}_2\text{SO}_4$

Li_2SO_4 %	t°	Li_2SO_4 %	t°	Li_2SO_4 %	t°	Li_2SO_4 %	t°
0	606	30	546	55	484	80	570
5	600	35	532	57,5	493	82,5	574
10	590	40	518	60	502	85	580
15	580	45	504	65	520	90	628
20	570	50	488	70	538	95	738
25	558	52,5	480	75	556	100	856

 $\text{Cs}_2\text{Cl}_2 - \text{Cs}_2\text{SO}_4$

Cs_2SO_4 %	t°	Cs_2SO_4 %	t°	Cs_2SO_4 %	t°	Cs_2SO_4 %	t°
0	636	28,5	553	55	688	75	812
5	628	30	560	60	712	80	867
10	620	35	590	62,5	724	85	918
15	605	40	618	65	736	90	965
20	588	45	642	70	758	95	998
25	567	50	665	72,5	784	100	1020

Диаграммы плавкости двойных систем, ограничивающих квадрат сова, исследованы разными авторами.

Система $\text{Li}_2\text{Cl}_2 - \text{Li}_2\text{SO}_4$ [5] образует эвтектику при 478° и 53,5% SO_4 и имеет точку перехода при 575° и 85,5% Li_2SO_4 , отвечающую температуре полиморфного превращения Li_2SO_4 (табл. 1, рис. 1).

Система $\text{Cs}_2\text{Cl}_2 - \text{Cs}_2\text{SO}_4$ (6) — по моим данным эвтектика — отвечает 29% SO_4 и 553° и имеет точку перехода при 760° и 70% Cs_2SO_4 , отвечающую температуре полиморфного превращения Cs_2SO_4 (табл. 1, рис. 2).

Система $\text{Li}_2\text{Cl}_2 - \text{Cs}_2\text{Cl}_2$ исследована мною впервые. Эвтектика соответствует 58,5% Li_2Cl_2 и 332° . Со стороны Cs_2Cl_2 выявлена точка перехода и 397° и 58% Cs_2Cl_2 , отвечающая температуре полиморфного превращения Cs_2Cl_2 (табл. 1, рис. 1).

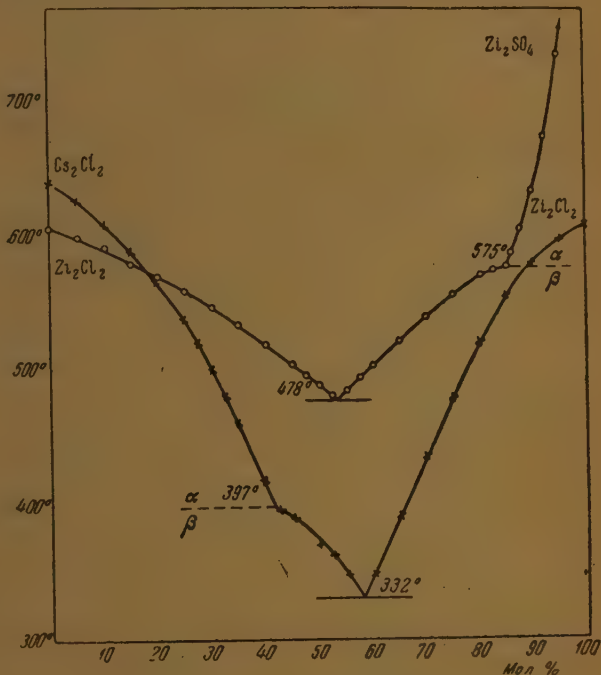


Рис. 1. Ликвидус двойных систем

Система $\text{Li}_2\text{SO}_4 - \text{Cs}_2\text{SO}_4$ впервые исследована мною. Она является наиболее интересной из всех четырех двойных систем. Термическое исследование указывает на существование двух конгруэнтных соединений: $\text{Li}_2\text{SO}_4 \cdot \text{Cs}_2\text{SO}_4$ (т. пл. 738°), $4\text{Li}_2\text{SO}_4 \cdot \text{Cs}_2\text{SO}_4$ (т. пл. 637°). Путем кристаллизации из водных растворов нам удалось получить соединение $\text{Li}_2\text{SO}_4 \cdot \text{Cs}_2\text{SO}_4$, и была определена температура плавления, которая совпала с температурой на диаграмме плавкости (738°). В этой системе имеются три эвтектические точки: 680° при 31% Li_2SO_4 , 630° при 75,5% Li_2SO_4 и 620° при 89,5% Li_2SO_4 (табл. 1, рис. 2). Оба диагональных разреза $\text{Cs}_2\text{Cl}_2 - \text{Li}_2\text{SO}_4$ и $\text{Li}_2\text{Cl}_2 - \text{Cs}_2\text{SO}_4$ имеют довольно сложный вид и относятся к нестабильным (табл. 2, рис. 3).

Как видно из проекции квадрата поверхности кристаллизации (рис. 6), диагональ $\text{Cs}_2\text{Cl}_2 - \text{Li}_2\text{SO}_4$ пересекает поля кристаллизации Cs_2Cl_2 , $\text{Li}_2\text{SO}_4 \cdot \text{Cs}_2\text{SO}_4$, $4\text{Li}_2\text{SO}_4 \cdot \text{Cs}_2\text{SO}_4$ и Li_2SO_4 ; точкам пересечения полей соответствуют температуры 530° , 518° и 566° .

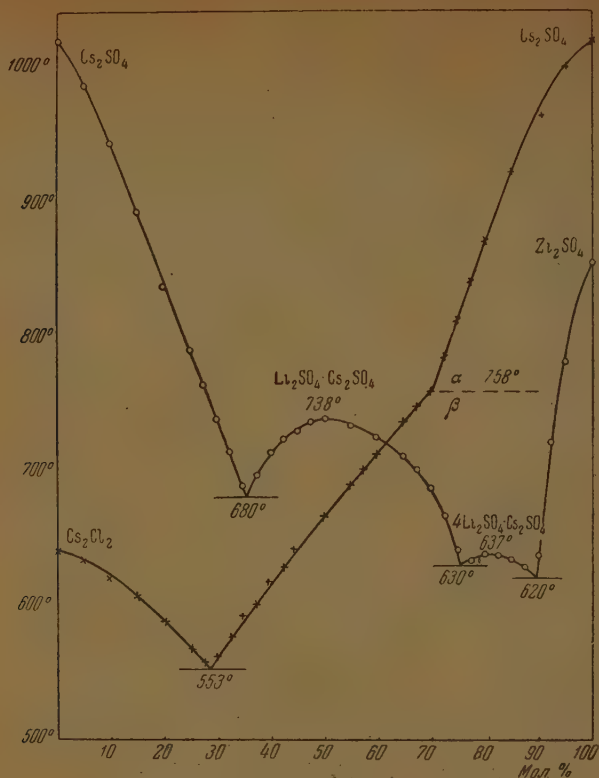


Рис. 2. Ликвидус двойных систем

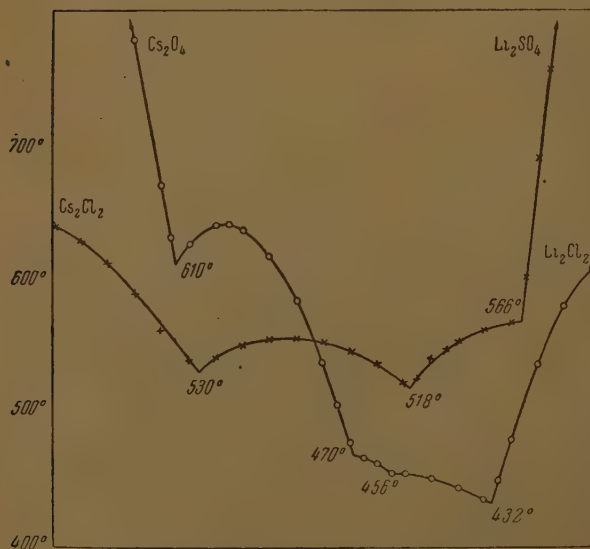


Рис. 3. Ликвидус диагональных разрезов

Таблица 2

Диагональные разрезы



Li_2SO_4 %	t°	Li_2SO_4 %	t°	Li_2SO_4 %	t°	Li_2SO_4 %	t°
0	640	27	530	55	548	80	560
5	628	30	537	60	537	85	564
10	614	35	550	65	525	87	566
15	590	40	554	66	518	90	690
20	534	45	553	70	540	95	796
25	562	50	556	75	550	100	856



Cs_2SO_4 %	t°	Cs_2SO_4 %	t°	Cs_2SO_4 %	t°	Cs_2SO_4 %	t°
0	606	25	443	45	480	70	640
5	580	30	450	50	540	75	627
10	535	35	455	55	580	80	690
15	480	37,5	457	60	616	85	780
19	432	40	462	62,5	634		
22,5	437	43,5	470	65	642		

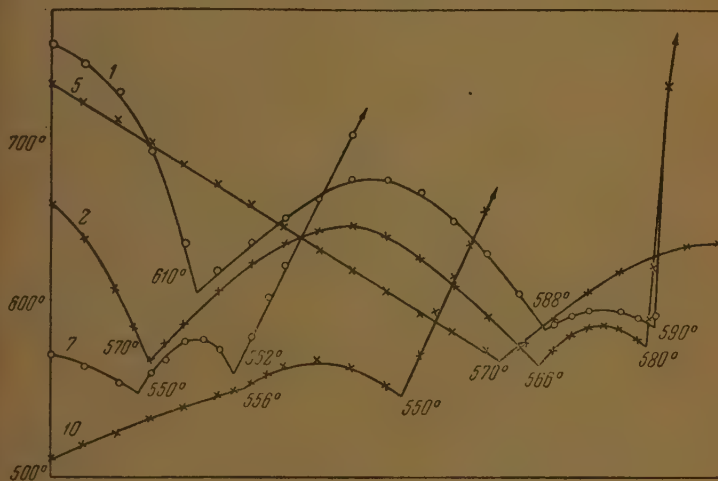


Рис. 4. Ликвидус тройных разрезов

Диагональ $\text{Li}_2\text{Cl}_2 - \text{Cs}_2\text{SO}_4$ аналогична предыдущей. Она пересекает также поля кристаллизации обоих соединений и поля Li_2Cl_2 , Li_2SO_4 и Cs_2SO_4 . Соответственно кривая ликвидуса состоит из пяти ветвей, которые пересекаются при температурах 432°, 457°, 470°, 610° и 624°.

Для уточнения поверхности кристаллизации было выполнено 15 разрезов через всю взаимную систему (рис. 6), которые дали возможность

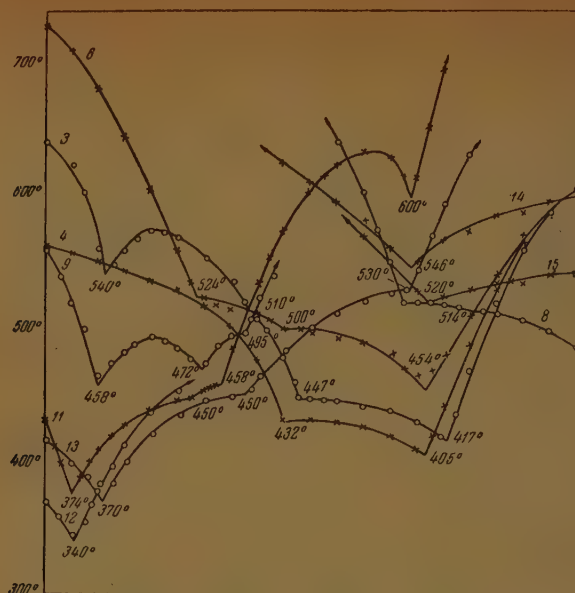


Рис. 5. Ликвидус тройных разрезов

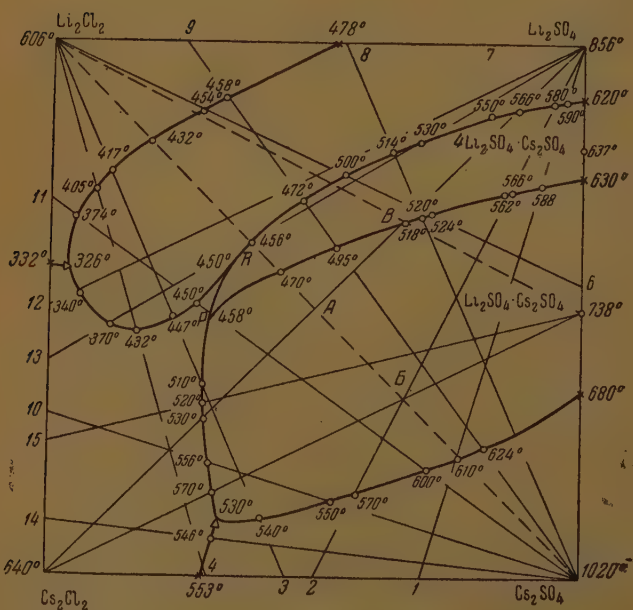


Рис. 6. Направление разрезов и триангуляция взаимной системы

ести на диаграмму точный ход кривых совместной кристаллизации изотерм, а также положение тройных эвтектических, переходной и ходной точек.

На рис. 4 и 5 приведены диаграммы плавкости для 15 тройных разов, расположение которых на квадрате видно из рис. 6. Характерным для взаимной системы является то, что все разрезы на некотором расстоянии от двойной системы имеют один и более минимум в местах пересечения с эвтектической линией.

Для более наглядного изображения хода линий совместной кристаллизации одновременно двух твердых фаз (моновариантные равновесия при const), а также уточнения положения и температур неинвариантных точек, была выполнена проекция дерева кристаллизации взаимной системы на зарную сторону $\text{Li}_2\text{Cl}_2 - \text{Cs}_2\text{Cl}_2$ (рис. 7). Соответственными буквами

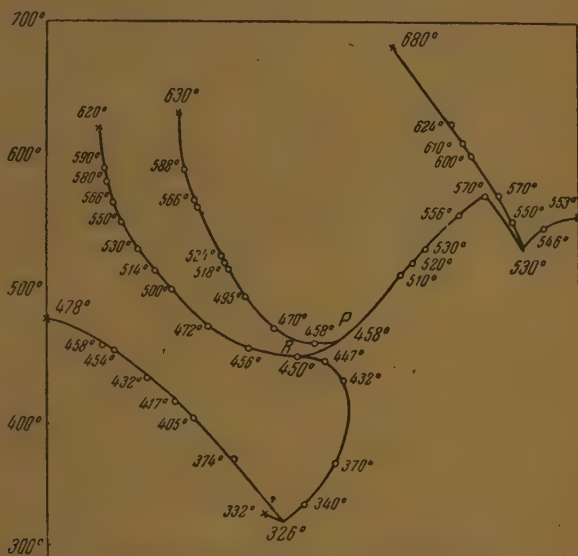


Рис. 7. Проекция дерева кристаллизации взаимной системы на сторону $\text{Li}_2\text{Cl}_2 - \text{Cs}_2\text{Cl}_2$.

омечены тройные и переходные точки на квадрате (рис. 6) и проекции. значение и состав неинвариантных точек системы приведены в табл. 3.

Таблица 3

Точка	Характер точки	Температура	Состав в мол. %				Равновесные фазы
			Li_2Cl_2	Cs_2Cl_2	Li_2SO_4	Cs_2SO_4	
E	Эвтектическая	530°	—	68	10	22	Cs_2Cl_2 , Cs_2SO_4 , $\text{Li}_2\text{SO}_4 \cdot \text{Cs}_2\text{SO}_4$
E	Эвтектическая	326°	53,0	43,5	3,5	—	Li_2Cl_2 , Cs_2Cl_2 , Li_2SO_4
P	Переходная	458°	18	52	30	—	Cs_2Cl_2 , $\text{Li}_2\text{SO}_4 \cdot \text{Cs}_2\text{SO}_4$
R	Проходная	450°	24,5	41,5	34	—	$4\text{Li}_2\text{SO}_4 \cdot \text{Cs}_2\text{SO}_4$, Cs_2Cl_2 , Li_2SO_4 , $4\text{Li}_2\text{SO}_4 \cdot \text{Cs}_2\text{SO}_4$

Общий вид проекции взаимной системы на квадрат состава приве- на рис. 8, где даны поля кристаллизации, проведены изотермы через 5° а также произведена триангуляция. Как видно из рис. 8, квадрат раз- вается на три треугольника.

В системе полностью очерчены поля кристаллизации компонентов двух соединений, найденных при изучении двойной системы; тройные соединений не найдено. Имеется, таким образом, всего шесть по- ли кристаллизации, занимающих различные площади, которые приводим в п- пентах от общей площади квадрата состава: 8,17 Li_2Cl_2 ; 15,12 Cs_2SO_4 ; 22,17 Li_2SO_4 ; 13,84 Cs_2SO_4 ; 32,0 $\text{Li}_2\text{SO}_4 \cdot \text{Cs}_2\text{SO}_4$ и 8,70 $4\text{Li}_2\text{SO}_4 \cdot \text{Cs}_2\text{SO}_4$.

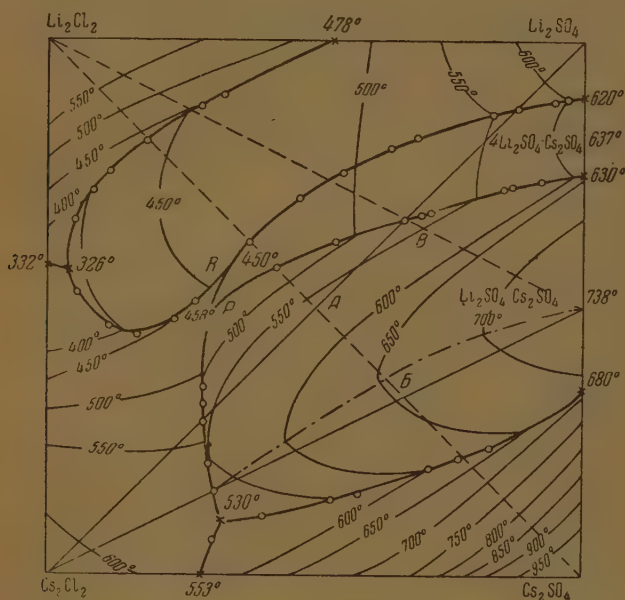


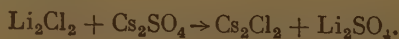
Рис. 8. Проекция ликвидуса взаимной системы с изотермами

Поле кристаллизации соединения $4\text{Li}_2\text{SO}_4 \cdot \text{Cs}_2\text{SO}_4$ представлено в сис- теме довольно большой площадью, однако оно имеет клинообразную форму и заканчивается переходной точкой p (рис. 8). В точке p ни при каких условиях не происходит полного застывания расплавов, а только изме- няется характер кристаллизующихся фаз в результате разложения соеди- нения $4\text{Li}_2\text{SO}_4 \cdot \text{Cs}_2\text{SO}_4$ на компоненты.

Следует отметить значительную устойчивость соединения $\text{Li}_2\text{SO}_4 \cdot \text{Cs}_2\text{SO}_4$, что проявляется в крутом подъема изотерм и в доминирующем значении по величине поля кристаллизации. В поле соединения, как это видно по ходу изотерм, имеется хребет полусингулярного характера.

Выводы

1. Исследованы поверхность застывания и диаграммы боковых двойных систем взаимной системы



2. Впервые дана диаграмма «состав — температура плавления» двойной системы $\text{Li}_2\text{SO}_4 - \text{Cs}_2\text{SO}_4$, где установлено наличие соединений: $\text{Li}_2\text{SO}_4 \cdot \text{Cs}_2\text{SO}_4$, конгруэнтно плавящегося при 738° , и $4\text{Li}_2\text{SO}_4 \cdot \text{Cs}_2\text{SO}_4$, также конгруэнтно плавящегося при 637° .
3. На поверхности ликвидуса взаимной системы $\text{Li}, \text{Cs}, \text{Cl}, \text{SO}_4$ поле кристаллизации соединения $4\text{Li}_2\text{SO}_4 \cdot \text{Cs}_2\text{SO}_4$ имеет треугольную форму («пронизывается») и заканчивается точкой двойного подъема («проходной»).
4. Определены составы и температуры кристаллизации тройных эвтек-
тических и переходных точек.

Москва

Поступила
25. V. 1950

ЛИТЕРАТУРА

- А. Г. Бергман и Н. С. Домбровская, Журн. Русск. физ.-хим. о-ва, **1**, 1451, 1929.
А. Г. Бергман и Г. А. Бухалова, Изв. Сек. физ.-хим. анализа, **19**, 13, 1949.
А. Г. Бергман и Г. А. Бухалова, Журн. общ. химии, **20**, 214, 1950.
Г. А. Бухалова, М. Л. Шолохович и А. Г. Бергман, ДАН СССР, **71**, 2, 287, 1950.
М. А. Ключко, Журн. общ. химии, **3**, 8, 1027, 1933.
О. С. Домбровская, Журн. общ. химии, **3**, 8, 1007, 1933.
R. Naecken, Neues Jahrb. f. Mineral., Geol. u. Paläontol., **24**, 1, 1907.
Э. В. Бричке, А. Ф. Капустинский и др., Термические константы неорганических веществ, 1949.

К ОПРЕДЕЛЕНИЮ КОЭФФИЦИЕНТОВ ВЛИЯНИЯ ДЛЯ КОЛЕБАНИЙ МНОГОАТОМНЫХ МОЛЕКУЛ

I. КОЭФФИЦИЕНТЫ ВЛИЯНИЯ МЕТАНА, ДЕЙТЕРОМЕТАНОВ, ЭТАНА И ДЕЙТЕРОЭТАНОВ

II. Г. Маслов и С. А. Антипина

Нахождение коэффициентов потенциальной энергии молекул является одной из центральных задач теории колебательных спектров. Это вполне естественно, так как при помощи них характеризуется электрическое поле, следовательно, потенциальная энергия колебаний многоатомных молекул. Зная системы коэффициентов потенциальной энергии, можно производить не только расчет и интерпретацию частот колебаний молекул, но и судить о многих свойствах их, например об изменениях прочности связей, о поляризуемостях и их первых производных, равновесных длинах валентных связей, сродстве атомов к электрону и т. п.

Системы коэффициентов потенциальной энергии вычисляются из опытных спектров частот молекул. Однако до настоящего времени все внимание было сосредоточено на определении так называемых динамических коэффициентов k_{ij} , входящих в выражение энергии:

$$U = \frac{1}{2} \sum_{i,j} k_{ij} x_i x_j,$$

как функции обобщенных координат x_i . Но последнюю можно представить в иной, эквивалентной (1) форме, как функцию обобщенных сил

$$Q_i = \frac{\partial \bar{U}}{\partial x_i} = - \sum_j k_{ij}^* x_j, \quad (1)$$

а именно

$$\bar{U} = \frac{1}{2} \sum_{ij} k_{ij}^* Q_i Q_j. \quad (2)$$

Таким образом, вместо коэффициентов k_{ij} есть возможность находить из опыта коэффициенты потенциальной энергии k_{ij}^* , которые названы нами коэффициентами влияния [1]. Коэффициенты влияния, в отличие от широко распространенных так называемых динамических коэффициентов k_{ij} , обладают рядом ценных преимуществ; прежде всего они, как показал Маяниц [2], обладают свойством инвариантности относительно преобразования обобщенных координат: значение коэффициента k_{ij}^* , характеризующего взаимное влияние обобщенных сил Q_i и Q_j , не зависит от того, как именно выбраны все остальные Q_k ($k \neq i, k \neq j$). Например, для трехатомной молекулы типа XYZ коэффициент влияния h^* связей X—Y и X—Z друг на друга остается неизменным, описывается ли молекула в валентно-силовых, или центрально-силовых координатах, в то время как соответствующий динамический коэффициент в обеих системах имеет существенно различные значения. Так, в метане это различие в значениях h достигает 20%, а величиныны так называемой «силовой постоянной» h отличаются более чем на 13%. Помимо инвариантности коэффициент

иния родственных валентных связей практически связаны линейно с другими параметрами, характеризующими связи. Наконец, производя частот колебаний при помощи коэффициентов влияния k_{ij} , мы получаем относительное распределение сил $Q_i = Q_{i0}e^{i\omega t}$ внутри молекул. Из всего сказанного следует, что динамические «постоянные» k_{ij} , в частности «силовые постоянные» k_x , по существу, не являются постоянными и лишены физического смысла. Напротив, системы коэффициентов влияния k_{ij} дают однозначное описание электронного поля молекулы, и, следовательно, при помощи них можно объективно судить о тех или иных свойствах молекул, например, о прочности связей, поляризуемостях, равновесных длинах связей, сродстве атомов, образующих связь, к электрону и т. п. Отсюда понятен интерес к определению именно коэффициентов влияния.

В настоящей статье рассмотрены коэффициенты влияния метана, терометанов, этана и дейтерометана C_2D_6 .

Метан и дейтерометаны

Определение коэффициентов влияния лучше всего начать с простейших молекул. Для этой цели мы возьмем метан, как самую простую молекулу углеводородов, содержащую лишь один тип валентных связей $C-H^{(i)}$. Для описания в качестве координат возьмем не изменения q_i и α_{ij} валентных связей $C-H^{(i)}$ и углов $H^{(i)}-C-H^{(j)}$, соответственно, как обычно, отвечающие этим изменениям обобщенные силы Q_{q_i} и $Q_{\alpha_{ij}}$; конфигурация молекулы с обозначениями обобщенных координат дана на рис. 1; потенциальную функцию берем в виде:

$$\bar{U} = \frac{1}{2} k_q^* \sum_i Q_{q_i}^2 + k^* \sum_{i,j} Q_{q_i} Q_{q_j} + \frac{1}{2} k_\alpha^* \sum_{i,j} Q_{\alpha_{ij}}^2 + a^* \sum_{i,j} Q_{q_i} Q_{\alpha_{ij}} + l^* \sum_{i,j} Q_{\alpha_{ij}} Q_{\alpha_{ij}} \quad (4)$$

равнение (4) написано с учетом дополнительного условия

$$\sum Q_{\alpha_{ij}} = 0,$$

поэтому под k_α^* , a^* и l^* следует понимать выражения $k_\alpha^* - O^*$, $a^* - b^*$ и $b^* - O^*$, соответственно. Коэффициенты O^* и b^* характеризуют взаимодействие углов $H^{(i)}-C-H^{(k)}$ и связей $C-H^k$ с углами H^k-C-H^j , имеющими с первыми лишь один общий атом. Несомненно, что $O^* \ll k_\alpha^*$, $b^* < a^*$, $O^* < l^*$; конечно, отсюда еще нельзя считать $O^* \sim 0$ и $b^* \sim 0$. Метан относится к группе симметрии T_d , поэтому в нем осуществляются: одно полностью симметричное колебание A_1 , одно дважды вырожденное E и два трижды вырожденных колебания F . Следовательно, в спектре его следует ожидать четыре частоты; на опыте наблюдаются только три: $\omega_q^{(A_1)} = 2914 \text{ см}^{-1}$, $\omega_\alpha^{(F)} = 1304 \text{ см}^{-1}$ и $\omega_q^{(F)} = 3022 \text{ см}^{-1}$. Частота $\omega_\alpha^{(E)}$ мало интенсивна и в спектре не обнаружена.

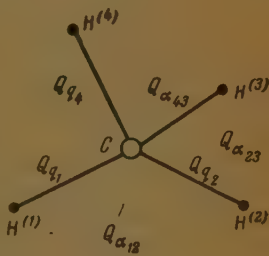


Рис. 1. Конфигурация метана

Итак, ясно, что для определения пяти постоянных влияния трех частот недостаточно. Вот почему для нашей цели следует привлечь экспериментальные спектры дейтерометанов: CH_3D , CH_2D_2 , CHD_3 , CD_4 , имеющие

в общей сложности 24 частоты. Если учесть, что потенциальная энергия последних определяется той же функцией (4), то для нахождения и коэффициентов влияния имеется всего 27 экспериментальных частот; это вполне достаточно для точного определения искомой системы постоянных влияния.

Молекулы CH_3D и CHD_3 относятся к одной группе симметрии C_{3v} , так что их несимметризованные уравнения девятого порядка распадаются на два уравнения третьего порядка: для полностью симметричных колебаний A_1 и дважды вырожденных колебаний E . Молекула CH_2D_2 принадлежит к группе симметрии C_{2v} , поэтому при операциях симметрии уравнение девятого же ($3N - 6 = 3 \cdot 5 - 6 = 9$) порядка распадается на одно уравнение четвертого порядка для колебаний A_1 , на два уравнения второго порядка для колебаний B_1 и B_2 и одно уравнение первого порядка для колебаний A_2 . Наконец, молекулы метана CH_4 и CD_4 относятся к группе симметрии T_d ; последние обладают симметризованными уравнениями первого порядка для колебаний A_1 и для колебаний E и одним уравнением второго порядка для колебаний F .

Конфигурация молекул CH_3D , CH_2D_2 изображены на рис. 2.

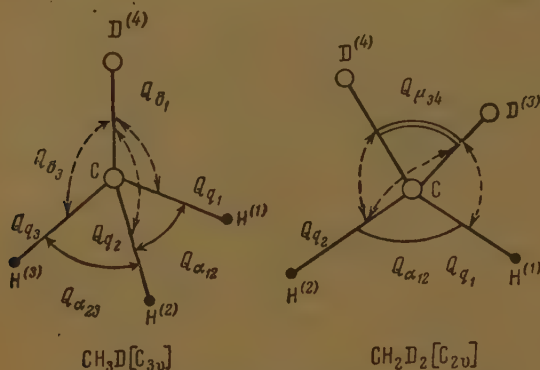


Рис. 2. Конфигурация молекул CH_3D , CH_2D_2

Симметризованные уравнения движения для всех пяти молекул составлены по методу М. А. Ельяшевича [2]. Все они сведены в табл. 1, причем матрицы кинематических коэффициентов, как известные, даны сразу в численном виде. Равновесные длины связей $\text{C}-\text{H}^{(i)}$ и $\text{C}-\text{D}^{(i)}$ были приняты одинаковыми и равными $1,09 \text{ \AA}$, равновесные значения углов $\text{H}-\text{C}-\text{H}'$, $\text{D}-\text{C}-\text{H}$ и $\text{D}-\text{C}-\text{D}'$ считались во всех молекулах тетраэдрическими. В молекулах CH_3D , CHD_3 и CH_2D_2 углы не совсем тетраэдрические; однако эта ошибка порядка $2-3^\circ$ и не скажется сколько-нибудь на результатах расчета. Ангармоничность колебаний учтена по Маннебаку [3].

Расчет коэффициентов влияния был выполнен методом комбинированного наискорейшего спуска [4], причем исходная система коэффициентов была получена приближенным методом [5], что существенно сократило всю работу. Для нахождения явных функций

$$a^* = f_1(k_q^*), \quad k_a^* = f_2(k_q^*), \quad h^* = f_3(k_q^*) \quad \text{и} \quad l^* = f_4(k_q^*)$$

были использованы экспериментальные частоты метана, так как из 27 частот на опыте наиболее точно измерены частоты метана (работа с дейтерометанами сопряжена с большими трудностями). Подставив частоты

Симметризованные уравнения движения для метана и дейтериетанов

Метан CH_4

Колебания A_1

$$[(k_q^* + 3h_a^*)\lambda - 1] Q_q^{(A_1)} = 0$$

Колебания E

$$[(k_a^* - 2l^*)\lambda - 3] Q_a^{(E)} = 0$$

Колебания F

$$[(k_q^* - h_a^*)\lambda - 1,121] Q_q^{(F)} + (\sqrt{2}a^*\lambda + 0,240) Q_a^{(E)} = 0$$

$$(\sqrt{2}a^*\lambda + 0,240) Q_q^{(F)} + (k_a^*\lambda - 2,484) Q_a^{(F)} = 0$$

CD_4

Колебания E

$$[(k_a^* - 2l^*)\lambda - 1,535] Q_a^{(E)} = 0$$

Колебания F

$$[(k_q^* - h_a^*)\lambda - 0,642] Q_q^{(F)} + (\sqrt{2}a^*\lambda + 0,240) Q_a^{(F)} = 0$$

$$(\sqrt{2}a^*\lambda + 0,240) Q_q^{(F)} + (k_a^*\lambda - 1,507) Q_a^{(F)} = 0$$

CH_3D

Колебания A_1

$$(k_q^*\lambda - 0,612) Q_q^{(A_1)} + (\sqrt{3}h_a^*\lambda + 0,052) Q_q^{(A_1)} + (-\sqrt{3}a^*\lambda - 0,147) Q_a^{(A_1)} = 0$$

$$(\sqrt{3}h_a^*\lambda + 0,052) Q_q^{(A_1)} + [(k_q^* + 2h_a^*)\lambda - 1,031] Q_q^{(A_1)} + (a^*\lambda + 0,085) Q_a^{(A_1)} = 0$$

$$(-\sqrt{3}a^*\lambda - 0,147) Q_q^{(A_1)} + (a^*\lambda + 0,085) Q_q^{(A_1)} + (2k_a^*\lambda - 1,242) Q_a^{(A_1)} = 0$$

$$[(k_q^* - h_a^*)\lambda - 1,121] Q_q^{(E)} + (-a^*\lambda - 0,169) Q_a^{(E)} + (a^*\lambda + 0,169) Q_a^{(E)} = 0$$

$$(-a^*\lambda - 0,169) Q_q^{(E)} + [(k_a^* - l^*)\lambda - 2,742] Q_a^{(E)} + (-l^*\lambda - 0,258) Q_a^{(E)} = 0$$

$$(a^*\lambda + 0,169) Q_q^{(E)} + (-l^*\lambda - 0,258) Q_a^{(E)} + [(k_a^* - l^*)\lambda - 2,011] Q_a^{(E)} = 0$$

CHD_3

Колебания A_1

$$(k_q^*\lambda - 1,091) Q_q^{(A_1)} + (\sqrt{3}h_a^*\lambda + 0,052) Q_q^{(A_1)} + (-\sqrt{3}a^*\lambda - 0,147) Q_a^{(A_1)} = 0$$

$$(\sqrt{3}h_a^*\lambda + 0,052) Q_q^{(A_1)} + [(k_q^* + 2h_a^*)\lambda - 0,552] Q_q^{(A_1)} + (a^*\lambda + 0,085) Q_a^{(A_1)} = 0$$

$$(-\sqrt{3}a^*\lambda - 0,147) Q_q^{(A_1)} + (a^*\lambda + 0,085) Q_q^{(A_1)} + (2k_a^*\lambda - 0,752) Q_a^{(A_1)} = 0$$

Колебания E

$$[(k_q^* - h_a^*)\lambda - 0,612] Q_q^{(E)} + (-a^*\lambda - 0,170) Q_a^{(E)} + (a^*\lambda + 0,170) Q_a^{(E)} = 0$$

$$(-a^*\lambda - 0,170) Q_q^{(E)} + [(k_a^* - l^*)\lambda - 1,521] Q_a^{(E)} + (-l^*\lambda - 0,014) Q_a^{(E)} = 0$$

$$(a^*\lambda + 0,170) Q_q^{(E)} + (-l^*\lambda - 0,014) Q_a^{(E)} + [(k_a^* - l^*)\lambda - 2,254] Q_a^{(E)} = 0$$

Продолжение табл. 1

СII₂D₂Колебания A₁

$$[(k_q^* + h_\alpha^*)\lambda - 0,582] Q_q^{(A_1)} + (2h_\alpha^*\lambda + 0,060) Q_q^{(A_1)} \left(\frac{a^*}{V^2} \cdot \lambda + 0,120 \right) Q_\alpha^{(A_1)} + \left(-\frac{a^*}{V^2} \lambda - 0,120 \right) Q_\delta^{(A_1)} = 0$$

$$(2h_\alpha^*\lambda + 0,060) Q_q^{(A_1)} + [(k_q^* + h_\alpha^*)\lambda - 1,064] Q_q^{(A_1)} + \left(-\frac{a^*}{V^2} \lambda - 0,120 \right) Q_\alpha^{(A_1)} + \left(\frac{a^*}{V^2} \lambda + 0,120 \right) Q_\delta^{(A_1)} = 0$$

$$\left(\frac{a^*}{V^2} \lambda + 0,120 \right) Q_q^{(A_1)} + \left(-\frac{a^*}{V^2} \lambda - 0,120 \right) Q_q^{(A_1)} + \left[\left(\frac{5}{4} k_\alpha^* - \frac{3}{2} l^* \right) \lambda - 1,265 \right] Q_\alpha^{(A_1)} + \left[\left(\frac{k_\alpha^*}{4} - \frac{3}{2} l^* \right) \lambda + 0,242 \right] Q_\delta^{(A_1)} = 0$$

$$\left(-\frac{a^*}{V^2} \lambda - 0,120 \right) Q_q^{(A_1)} + \left(\frac{a^*}{V^2} \lambda + 0,120 \right) Q_q^{(A_1)} + \left[\left(\frac{k_\alpha^*}{4} - \frac{3}{2} l^* \right) \lambda + 0,242 \right] Q_\alpha^{(A_1)} + \left[\left(\frac{5}{4} k_\alpha^* - \frac{3}{2} l^* \right) \lambda - 2,242 \right] Q_\delta^{(A_1)} = 0$$

Колебания B₁

$$[(k_q^* - h_\alpha^*)\lambda - 0,612] Q_q^{(B_1)} + (\sqrt{2}a^*\lambda + 0,240) Q_\delta^{(B_1)} = 0$$

$$(\sqrt{2}a^*\lambda + 0,240) Q_q^{(B_1)} + (k_\alpha^*\lambda - 2,240) Q_\delta^{(B_1)} = 0$$

Колебания B₂

$$[(k_q^* - h_\alpha^*)\lambda - 1,121] Q_q^{(B_2)} + (\sqrt{2}a^*\lambda + 0,240) Q_\delta^{(B_2)} = 0$$

$$(\sqrt{2}a^*\lambda + 0,240) Q_q^{(B_2)} + [k_\alpha^*\lambda - 1,752] Q_\delta^{(B_2)} = 0$$

Колебания A₂

$$[(k_\alpha^* - 2l^*)\lambda - 2,268] Q_q^{(A_2)} = 0$$

Примечание. Обобщенные координаты $Q_q^{(A_1)}$, $Q_q^{(E)}$, $Q_q^{(F)}$, $Q_q^{(F)}$, $Q_q^{(F)}$, $Q_q^{(F)}$, $Q_{\alpha'}^{(F)}$, $Q_{\alpha'}^{(F)}$, $Q_{\alpha'}^{(F)}$ и т. д. — обобщенные координаты симметрии.

на в соответствующие уравнения (табл. 1), нетрудно получить следующие функции:

$$k_q = -0,0091 k_q + 0,0003 - \sqrt{-1,968849 k_q^{*2} + 1,27179 k_q^* - 0,12378}, \quad (5)$$

$$h^* = 0,0393 - \frac{1}{3} k_q^*, \quad (6)$$

$$k_\alpha^* = 1,8203 - 2,9545 k_q^* - 0,0610 a^*. \quad (7)$$

При нахождении вида функции $l^* = f_4(k_q^*)$ было взято уравнение для колебаний A_2 молекулы CH_2D_2 (табл. 1), что дает

$$l^* = \frac{k_\alpha^* - 1,2742}{2}. \quad (8)$$

Результаты расчета исходных коэффициентов влияния приближенным методом внесены в табл. 2.

Из нее следует, что наиболее разумное приближение к действительности получается при системе коэффициентов:

$$k_q^* = 0,1235, \quad h^* = -0,0019, \quad a^* = -0,058, \quad k_\alpha^* = 1,454, \quad l^* = 0,0888, \quad (9)$$

Истинной же совокупностью коэффициентов влияния будет или (9) (при малых взаимодействиях координат), или по крайней мере, система постоянных, которая отвечает значению k_q^* , заключенному в интервале $0,121 < k_{q_{\text{ист}}}^* < 0,127$ (табл. 2). Для сокращения работы точный расчет методом комбинированного наискорейшего спуска был произведен вначале для систем, отвечающих $k_q^* = 0,1235$ и ближайших к нему значений, т. е. для $k_q^* = 0,1230$ и $k_q^* = 0,1240$. В итоге оказалось, как показывает табл. 3, что истинная система коэффициентов влияния соответствует значению k_q^* , заключенному в интервале $0,1230 < k_{q_{\text{ист}}}^* < 0,1240$ ($\Delta\omega_{\text{ср}}^{\text{abc}} = \min$ для $k_q^* = 0,1235$) [5]. Затем следовало бы весь интервал $0,1230-0,1240$ разбить на ряд равностоящих значений, в зависимости от точности определения системы постоянных, и по формулам (5) — (8) вычислить для этих значений остальные коэффициенты влияния; наконец, для всех полученных совокупностей систем постоянных надо было бы методом комбинированного наискорейшего спуска произвести точный расчет частот и их сравнить с опытным спектром. Однако у нас интервал $0,1230-0,1240$ настолько мал, что трех значений k_q^* : $0,1230$; $0,1235$; $0,1240$ вполне достаточно, и потому, как показывает табл. 3, за искомую систему коэффициентов влияния можно принять систему, совпадающую с (9) и полученную приближенным методом.

Погрешности коэффициентов влияния были оценены так: если для системы коэффициентов влияния, отвечающей $k_q^* = 0,1230$, рассчитанный спектр частот для всех пяти молекул заметно отличался от спектра частот, найденного с истинной системой коэффициентов влияния ($k_q^* = 0,1235$), то за абсолютную погрешность постоянной k_q^* принималась $\Delta k_q^* = 0,1235 - 0,123 = 0,0005$. Зная Δk_q^* , по формулам (5) — (8) легко получить погрешности для остальных коэффициентов.

Ориентировочные значения

k_q^*	Тип молекулы														
	CH_4					CH_3D					CH_2D_2				
	Ч а с т о т ы														
	A_1 ω_1	A_1 $\Delta\omega_1$	F ω_2	F $\Delta\omega_2$	F ω_3	F $\Delta\omega_3$	A_1 ω_4	A_1 $\Delta\omega_4$	A_1 ω_5	A_1 $\Delta\omega_5$	A_1 ω_6	A_1 $\Delta\omega_6$	B_1 ω_7	B_1 $\Delta\omega_7$	B_1 ω_8
0,121	2914	0	1300	4	3031	-9	2250	-50	1250	80	2940	10	2294	-39	1235
0,123	2914	0	1307	-3	2995	27	2230	-30	1307	23	2933	17	2273	-18	1241
0,1235	2914	0	1307	-3	2990	32	2226	-26	1307	23	2933	17	2263	-8	1241
0,124	2914	0	1308	-4	2983	39	2222	-22	1308	22	2932	18	2257	-2	1242
0,125	2914	0	1309	-5	2971	51	2213	-13	1310	20	2944	6	2248	7	1243
0,126	2929	-15	1313	-9	2948	74	2203	-3	1315	15	2931	19	2231	24	1261
0,127	2914	0	1304	0	2936	86	2195	+5	1316	14	2919	31	2222	33	1250

Сводная таблица расчета спектров частот всех молекул для каждой

k_q^*	h^*	a^*	h_α^*	l^*	CH_4				CH_3D						
10^6	10^6	10^6	10^6	10^6	A_1 ω_1	F ω_2	F ω_3	E ω_4	A_1 ω_5	A_1 ω_6	A_1 ω_7	F ω_8	E ω_9	E ω_{10}	E ω_{11}
0,1100	Мнимые корни														
0,1230	-0,0017	-0,0560	1,454	0,0888	2914	3022	1304	1533	2230	2942	1301	1158	1473	3029	
0,1235	-0,0019	-0,0580	1,454	0,0888	2914	3022	1304	1533	2229	2941	1302	1158	1473	3028	
0,1240	-0,0020	-0,0600	1,451	0,0873	2914	3022	1304	1533	2225	2944	1304	1162	1474	3021	
0,1250	-0,0023	-0,0550	1,449	0,0863	2914	3022	1304	1533	2219	2943	1306	1165	1474	3012	
0,1270	-0,0030	-0,0741	1,434	0,0788	2914	3022	1304	1533	2211	2937	1314	1172	1474	2996	
$\omega_{\text{экспер.}}$					2914	3022	1304		2200	2950	1330	1156	1474	3031	

Таким образом окончательно была найдена следующая система коэффициентов влияния метана и дейтерометанов:

$$k_q^* = (0,1235 \pm 0,0005) \cdot 10^{-6} \text{ см}^2,$$

$$h^* = -(0,0019 \pm 0,0002) \cdot 10^{-6} \text{ см}^2,$$

$$a^* = -(0,058 \pm 0,002) \cdot 10^{-6} \text{ см}^2, \quad (10)$$

$$h_\alpha^* = (1,45 \pm 0,001) \cdot 10^{-6} \text{ см}^2,$$

$$l^* = (0,0888 \pm 0,0005) \cdot 10^{-6} \text{ см}^2,$$

Таблица 2

ностей частот

Тип молекулы

Средн.
абс.
ошибка

CH₃D₃

CHD₃

CD₄

Ч а с т о т ы

ν_1 ω_1	B_2 ω_{10}	B_3 $\Delta\omega_{10}$	A_1 ω_{11}	A_1 $\Delta\omega_{11}$	A_1 ω_{12}	A_1 $\Delta\omega_{12}$	A_1 ω_{13}	A_1 $\Delta\omega_{13}$	A_1 ω_{14}	A_1 $\Delta\omega_{14}$	A_1 ω_{15}	A_1 $\Delta\omega_{15}$	A_1 ω_{16}	A_1 $\Delta\omega_{16}$	$\Delta\omega_{\text{ср. абс.}}$
-1 3031	-11 3002	-2 2154	-13 1009	21 2103	-18 2294	-36 1012	-24 23								
3 2995	25 2977	23 2144	-3 1017	-29 2103	-18 2266	-8 1018	-30 18,7								
3 2295	25 2973	27 2145	-4 1017	29 2103	-18 2263	-5 1018	-30 18,4								
24 2983	37 2966	34 2144	-3 1018	-30 2103	-18 2257	1 1019	-31 20								
-8 2971	49 2955	45 2154	-13 1014	-26 2103	-18 2248	10 1019	-31 21								
-14 2948	72 2942	58 2144	-3 1024	-36 2112	-27 2230	28 1024	-36 29								
-14 2936	83 2931	69 2136	5 1025	-37 2103	-18 2222	36 1025	-37 32								

Таблица 3

ностей постоянных влияния методом комбинированного наискорейшего спуска

CH₃D₃

CHD₃

CD₄

A_1 ω_{13}	A_1 ω_{14}	B_1 ω_{15}	B_1 ω_{16}	B_1 ω_{17}	B_2 ω_{18}	A_2 ω_{19}	A_2 ω_{20}	A_2 ω_{21}	A_2 ω_{22}	E ω_{23}	E ω_{24}	E ω_{25}	A_1 ω_{26}	F ω_{27}	F ω_{28}	E ω_{29}	$\Delta\omega_{\text{ср. абс.}}$
2980 2189	2275 1232	1091 3020	1334 3000	2141 1007	1295 1035	2275 2103	2273 1000	1097 11									
2977 2180	2264 1235	1091 3020	1334 3000	2141 1007	1299 1040	2275 2103	2272 1002	1097 10,7									
2965 2180	2257 1237	1093 3015	1334 3000	2141 1008	1298 1040	2275 2103	2267 1003	1097 10,9									
2962 2178	2256 1238	1094 3012	1334 3000	2143 1010	1297 1041	2271 2103	2264 1006	1097 11,3									
2955 2178	2248 1247	1101 2983	1334 3000	2138 1017	1297 1042	2249 2103	2246 1013	1097 14,3									
2974 2139	2255 1286	1091 3020	1334 3000	2141 988	1299 —	2269 2085	2258 988	—									

или, переходя от условных единиц к единицам CGS системы [6].

$$\begin{aligned}
 k_a^* &= (1,941 \pm 0,008) \cdot 10^{-6} \text{ см / дин}, \\
 h^* &= -(0,030 \pm 0,003) \cdot 10^{-6} \text{ см / дин}, \\
 a^* &= -(0,91 \pm 0,03) \cdot 10^{-6} \text{ см / дин}, \\
 k_\alpha^* &= (22,86 \pm 0,02) \cdot 10^{-6} \text{ см / дин}, \\
 l^* &= (1,396 \pm 0,008) \cdot 10^{-6} \text{ см / дин}.
 \end{aligned} \tag{11}$$

Для сравнения был произведен расчет коэффициентов влияния тех же молекул методом определителей [1]; необходимые для этого динамические коэффициенты были заимствованы из работы Б. И. Степанова [2]. Очевидно, при расчете следует принять во внимание лишь «прямые» матрицы для метана [2]. В итоге была найдена совокупность коэффициентов влияния:

$$k_q^* = 0,124, k_\alpha^* = 1,450, a^* = -0,062, h^* = -0,002, l^* = 0,090. \tag{12}$$

Так как динамические коэффициенты Б. И. Степанова вычислены максимум с точностью до второго знака после запятой, то совпадение систем (12) и (10) следует считать полным.

Этан и дейтерозтан C_2D_6

Из предельных углеводородов этан C_2H_6 — простейшая молекула, содержащая единичную σ связь $C-C'$. Инфракрасные спектры его были изучены Бартоломе и Карвайлом [7], а спектры комбинационного рассеяния исследованы Кубо и Карвайлом [8]. Опытный спектр этана содержит общей сложности 29 частот и, тем не менее, не является полным: не-

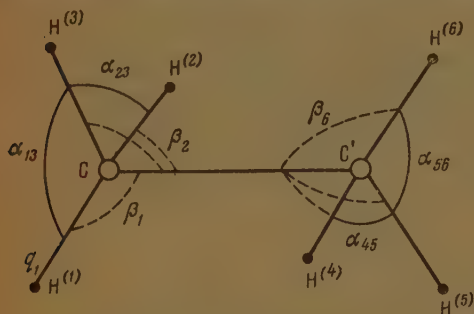


Рис. 3. Конфигурация транс-формы этана

которые частоты не удается наблюдать вследствие малой интенсивности. Последнее обстоятельство послужило причиной большой дискуссии о свойствах этана. Из 29 наблюдаемых частот более половины — комбинации нескольких основных частот.

Соображения симметрии допускают две конфигурации этана: цис-форму с симметрией D_{3h} и транс-форму с симметрией D_{3d} (рис. 3). Однако в настоящее время совершенно ясно, что наиболее

вероятной является транс-конфигурация этана.

Экспериментальный спектр весьма надежно интерпретирован Ститтом [9]. Согласно Ститту для этана основными следует считать 11 частот: 993 см^{-1} , 1375 см^{-1} , 2925 см^{-1} , 1380 см^{-1} , 2895 см^{-1} , 827 см^{-1} , 1465 см^{-1} , 2980 см^{-1} , 1170 см^{-1} , 1460 см^{-1} и 2960 см^{-1} .

Для определения коэффициентов влияния этана и дейтерозтана C_2D_6 был применен метод определителей [4]; необходимые для этого динамические постоянные заимствованы у Б. И. Степанова [2]. Естественно, что при расчете достаточно принять во внимание «прямые» матрицы только одной из молекул; мы воспользовались «прямыми» матрицами этана C_2H_6 . В нижеследующей табл. 4 приведены обозначения искомых коэффициентов влияния; из нее понятно, взаимодействию каких колебательных обобщенных координат отвечает тот или иной коэффициент влияния, а также, какие из них приравнены нулю (~ 0) в соответствии с предположениями Степанова о динамических коэффициентах [2].

Таблица 4

Коэффициенты влияния молекулы этана

Координаты	Q	Q_{q_1}	Q_{q_2}	Q_{q_3}	Q_{q_4}	Q_{q_5}	Q_{q_6}	Q_{β_1}	Q_{β_2}	Q_{β_3}	Q_{β_4}	Q_{β_5}	Q_{β_6}	$Q_{\alpha_{23}}$	$Q_{\alpha_{13}}$	$Q_{\alpha_{12}}$	$Q_{\alpha_{31}}$	$Q_{\alpha_{45}}$	$Q_{\alpha_{46}}$	$Q_{\alpha_{56}}$
Q	h_Q^*	~ 0	~ 0	~ 0	~ 0	~ 0	~ 0	A_β^*	A_β^*	A_β^*	A_β^*	A_β^*	A_β^*	B_α^*	B_α^*	B_α^*	B_α^*	B_α^*	B_α^*	B_α^*
Q_{q_1}	~ 0	$h_{q_1}^*$	$h_{q_2}^*$	$h_{q_3}^*$	~ 0	~ 0	~ 0	a_β^*	b_β^*	b_β^*	~ 0	~ 0	~ 0	b_α^*	a_α^*	a_α^*	~ 0	~ 0	~ 0	~ 0
Q_{β_1}	A_β^*	a_β^*	b_β^*	b_β^*	~ 0	~ 0	~ 0	h_β^*	l_β^*	l_β^*	n_β^*	n_β^*	m_β^*	O*	$l_{\alpha\beta}^*$	$l_{\alpha\beta}^*$	~ 0	~ 0	~ 0	~ 0
$Q_{\alpha_{23}}$	B_α^*	b_β^*	a_α^*	a_α^*	~ 0	~ 0	~ 0	O	$l_{\alpha\beta}^*$	$l_{\alpha\beta}^*$	~ 0	~ 0	~ 0	h_α^*	l_α^*	l_α^*	~ 0	~ 0	~ 0	~ 0

Разумеется, и все прочие допущения о динамических коэффициентах автоматически переносятся на коэффициенты влияния, так что в конечном

те следует определить лишь десять коэффициентов влияния:

$$k_Q^*, k_q^*, k_\alpha^*, k_\beta^*, A_\beta^*, m_\beta^*, n_\beta^*, l_\alpha^*, a_\alpha^*, h_\alpha^* \quad (13)$$

чем

$$= k_\alpha^* - O_\alpha^* \cong k_\alpha^* - O_{\alpha\beta}^*, l_\alpha^* = l_\alpha^* - O_{\alpha\beta}^*, l_\beta^* = l_\beta^* - O_{\alpha\beta}^*, l_\beta^* = l_\alpha^* - O_{\alpha\beta}^*, \left. \begin{aligned} a_\alpha^* &= a_\alpha^* - b_\alpha^*, a_\beta^* = a_\beta^* - b_\beta^* \end{aligned} \right\} \quad (14)$$

предположено, что

$$a_\alpha^* \approx a_\beta^*, l_\alpha^* \approx l_\beta^* \approx l_{\alpha\beta}^* \quad (15)$$

Таблица 5

Симметризованные «прямые» матрицы потенциальной энергии этана в численном виде (числа надо умножить на 10^5 см^{-2})

Колебания A_{1g}	Колебания E_u	Колебания E_g	Колебания A_{2u}
0,02 0 1,066 8,185 0,350 0,066 0,350 1,580	8,035 -0,350 0,350 -0,350 0,605 0,035 0,350 0,035 0,605	8,035 -0,350 0,350 -0,350 0,885 0,035 0,350 0,035 0,885	8,185 0,350 0,350 1,260

Таблица 6

Симметризованные обратные матрицы потенциальной энергии этана в общем и численном виде (числа надо умножить на 10^{-6} см^2)

сп. таб.	Обратные матрицы в общем виде	Обратные матрицы в численном виде
$1g$	$k_Q^* \sim 0; -\sqrt{6} A^*$ $\sim 0; k_q^* + 2h^*; a^*$ $-\sqrt{6} A^*; a^*; 2(k_\alpha^* + m^* + 2n^*)$	0,159; 0 -0,108; 0 0,138 -0,03 -0,108 -0,03 0,713
4_{2u}	$k_q^* + 2h^*; a^*$ $a^*; 2(k_\alpha^* - m^* - 2n^*)$	0,124 -0,060 -0,060 1,260
E_u	$k_q^* - h^*; -a^* a^*$ $-a^*; k_\alpha^* l^* - m^* - n^*; -l^*$ $a^*; -l^*; k_\alpha^* - l^* - m^* + n^*$	0,132 0,060 -0,060 0,060 -1,708 -0,057 -0,060 -0,057 1,708
E_g	$k_q^* - h^*; -a^* a^*$ $-a^*; k_\alpha^* - l^* + m^* - n^*; -l^*$ $a^*; -l^*; k_\alpha^* - l^* + m^* - n^*$	0,119 0,060 -0,060 0,060 1,076 -0,062 -0,060 -0,062 1,076

В согласии с симметрией транс-формы молекулы этана, в ней, как известно, осуществляется всего пять типов колебаний: одно полностью симметричное колебание A_g , одно антисимметричное относительно центра

симметрии A_{2u} , одно антисимметричное относительно горизонтальных осей A_{2g} , симметричное дважды вырожденное колебание E_g и антисимметричное дважды вырожденное колебание E_u ; при этом вращательное колебание A_{2g} , не взаимодействующее с другими типами колебаний, не рассматривается. Симметризованные «прямые» матрицы для всех типов колебаний составлены по методу М. А. Ельяшевича [2] и в численной форме помещены в табл. 5. Принимая во внимание законы преобразований обратных матриц потенциальной энергии при операциях симметрии нетрудно перейти от «прямых» матриц к соответствующим обратным.

Таблица

Сравнение вычисленных коэффициентов влияния метана и этана (каждое число надо умножить на 10^{-6} см²)

Что характеризует коэффициент влияния	Обозначение	Для метана CH_4	Для этана C_2H_6
Влияние связи $\text{C}-\text{C}'$ самой для себя	k_a^*	Нет	0,19
» » $\text{C}-\text{H}^{(i)}$ » »	k_q^*	0,124	0,17
» угла $\text{H}^{(i)}-\text{C}-\text{H}^{(j)}$ или $\text{H}^{(i)}-\text{C}-\text{C}'$ самого на себя	$k_\alpha^* \approx k_\beta^*$	1,450	1,41
Влияние связи $\text{C}-\text{H}^{(i)}$ на угол $\text{H}^{(i)}-\text{C}-\text{H}^{(j)}$	a^*	-0,058	-0,03
» » $\text{C}-\text{H}^{(i)}$ — связь $\text{C}-\text{H}^{(j)}$	h^*	-0,002	-0,02
» » $\text{C}-\text{C}'$ на угол $\text{C}-\text{C}'-\text{H}^{(j)}$	A^*	Нет	0,01
Влияние угла $\text{H}^{(i)}-\text{C}-\text{H}^{(j)}$ на $\text{C}'-\text{C}-\text{H}^{(j)}$ или на $\text{H}^{(i)}-\text{C}-\text{H}^{(k)}$	$l^* \approx l_{\alpha\beta}^*$	0,0888	0,01
Влияние угла $\text{H}^{(2)}-\text{C}-\text{H}^{(3)}$ на $\text{H}^{(4)}-\text{C}'-\text{H}^{(5)}$ или $\text{H}^{(1)}-\text{C}-\text{C}'$ на $\text{H}^{(6)}-\text{C}'-\text{C}$	m^*	Нет	-0,22
Влияние угла $\text{H}^{(2)}-\text{C}-\text{H}^{(3)}$ или $\text{H}^{(4)}-\text{C}'-\text{H}^{(5)}$ на углы $\text{H}^{(6)}-\text{C}'-\text{H}^{(5)}$ и $\text{H}^{(6)}-\text{C}'-\text{H}^{(4)}$ и на углы $\text{H}^{(1)}-\text{C}-\text{H}^{(2)}$ и $\text{H}^{(1)}-\text{C}-\text{H}^{(3)}$, соответственно	n^*	Нет	0,09

Последние как в общем, так и численном виде сведены в табл. 6. Последние выкладки из обратных матриц потенциальной энергии определяются все искомыми коэффициенты влияния этана и дейтерозетана, которые находятся в табл. 7; здесь же для сравнения вписаны постоянные влияния метана.

Обсуждение полученных результатов

Итак, получены коэффициенты влияния для метана и этана. Посмотрим, как изменяются различные коэффициенты влияния при переходе $\text{CH}_4 \rightarrow \text{C}_2\text{H}_6$. Как показывает табл. 7, при таком переходе практически остаются неизменными только коэффициенты h_a^* и k_a^* , между тем как постоянная влияния a и особенно l^* претерпевает заметное уменьшение (для l^* оно $\sim 30\%$!). Отсюда следует, что, по крайней мере, при переходе $\text{CH}_4 \rightarrow \text{C}_2\text{H}_6$ предположение о неизменности постоянной l^* неверно. Напротив, уменьшение l^* свидетельствует об уменьшении взаимного влияния

жных углов типа $H^{(i)} = C - H^{(k)}$ или $H - C - C'$, имеющих два их атома.

Аналог квази-упругой «константы» k_q — коэффициент влияния k_q^* при переходе молекулы CH_4 к C_2H_6 немного увеличивается, т. е. прочность связи $C - H^{(i)}$ уменьшается; однако это уменьшение прочности составляет величину порядка 3%, как следует из уменьшения квази-упругой «константы» k_q [2], но всего лишь величину порядка 1,6%, что примерно в два меньше. Тем не менее даже такое, казалось бы, незначительное изменение k_q^* ($= 0,002$) может значительно исказить величины рассчитываемых частот (табл. 3); этого не следует забывать при определении коэффициентов влияния молекул. В общем же можно сказать, что замена метана атома водорода группой $C'H_3$ не влияет сколько-нибудь существенно на конфигурацию оставшейся части электронного облака метана. Далее, как и следовало ожидать, влияние валентной связи $C - C'$ на углы типа $C - C' - H^{(i)}$ (коэффициент влияния A^*) много меньше (порядка 30%), чем влияние связи $C - H^{(i)}$ на углы $H^{(i)} - C - H^{(j)}$ (рис. 3) (коэффициент a^*). Стало быть, углы типа $C - C' - H^{(i)}$ более устойчивы против влияния связи $C - C'$, чем углы $H^{(i)} - C - H^{(j)}$ к действию связи $C - H^{(i)}$.

Коэффициент влияния k_q^* по величине значительно больше, чем k_q^* , что говорит о меньшей, сравнительно с $C - H^{(i)}$, прочности связи $C - C'$. Это находится в согласии с электронным облаком рассматриваемых связей $C - C'$ и $C - H^{(i)}$.

Заслуживает внимания коэффициент m^* , определяющий взаимное влияние симметричных углов $H^{(2)} - C - H^{(3)}$ и $H^{(4)} - C' - H^{(5)}$ или углов $H^{(2)} - C - C'$ и $H^{(6)} - C' - C$, соответственно $m^* = 0,226$, что следует считать весьма большим взаимодействием, т. е. единичные силы пружины, возникающие по касательной к дуге одного угла, вызывают очень сильную деформацию другого угла. Вообще, можно было бы думать, что с увеличением размахов, например, угла $H^{(2)} - C - H^{(3)}$ начинается сильная раскачка угла $H^{(4)} - C' - H^{(5)}$ вследствие взаимного отталкивания атомов водорода различных групп CH_3 .

Итак, резюмируя, можно, с некоторой осторожностью, утверждать, что по известной системе коэффициентов влияния одной молекулы можно производить расчет частот более сложных родственных молекул, содержащих такие же структурные элементы.

В заключение пользуемся случаем выразить благодарность проф. И. А. Ельяшевичу за ценные указания.

Выводы

1. Получены коэффициенты влияния метана, дейтерометанов, этана и дейтерозтана C_2D_6 .
2. Установлено, что в случае небольших взаимодействий между координатами коэффициенты влияния лучше всего определять так называемым приближенным методом.
3. Замена в метане CH_4 одного из атомов водорода группой $C'H_3$ не сказывается сколько-нибудь существенно на электронной конфигурации остальной части молекулы метана.
4. Уменьшение прочности связей $C - H^{(i)}$ при подобном переходе составляет не величину $\sim 3\%$, как это следует из работ Степанова, но примерно в 2 раза меньшую, и составляет величину порядка 1,6%.

ЛИТЕРАТУРА

1. П. Г. Маслов, ДАН, **67**, 819, 1949.
2. М. В. Волькенштейн, М. А. Ельяшевич, Б. И. Степанов, Обращение молекул, Гостехиздат, 1949, 1, стр. 186.
3. Manneback а. М. Hemptinne, Proc. Ind. Acad. Sci., **9**, 286, 1939.
4. П. Г. Маслов, ЖЭТФ, **20**, вып. 7, 1950; ДАН СССР, **70**, 1793, 1950.
5. П. Г. Маслов, ДАН, **70**, 985, 1950.
6. П. Г. Маслов, Уч. записки ЛГИ, **24**, в. 3, 1950.
7. E. Bartholomeu. J. Karweil, Z. phys. Chem., **39**, 1, 1938.
8. J. Coubeau и J. Karweil, Z. phys. Chem., **39**, 1, 1938.
9. F. Stitt, Journ. Chem. Phys., **7**, 297, 1939.

КИНЕТИКА ЭЛЕКТРОХИМИЧЕСКОГО ОКИСЛЕНИЯ АНИЛИНА В ВОДНЫХ РАСТВОРАХ. II

Н. Е. Хомутов

В предыдущих наших сообщениях [1, 2] было показано, что кинетика электрохимического окисления анилина в водных растворах отличается от интереснейших особенностей.

1. Электрохимическое окисление анилина представляет, по видимому, токаталитическую электродную реакцию.

2. Эта реакция в начальный период электролиза протекает в соответствии со схемой реакций окислительной полимеризации.

3. Скорость электрохимического окисления анилина в начальный период электролиза не определяется скоростью диффузии анилина к поверхности электрода. В связи с этим нами исследовано влияние некоторых факторов на течение анодных процессов при окислении анилина.

Методика наблюдения за кинетикой электрохимического окисления анилина, а также некоторые результаты наблюдений описаны в [1, 2].

В данной статье излагаются результаты исследований кинетики электрохимического окисления анилина в сернокислотных растворах.

Электрохимическое окисление анилина в сернокислотной среде

Изучалось течение реакции электрохимического окисления анилина в сернокислотных растворах, варьируя следующие факторы: концентрация H_2SO_4 , потенциал электрода, материал электрода.

Наблюдения за течением анодной электрохимической реакции осуществлялись путем получения кривых плотность тока — время при постоянном потенциале анода и в некоторых случаях дополнялись определением выхода твердых продуктов электрохимического окисления анилина.

Кривые плотность тока — время для начального периода электролиза, полученные при проведении электролиза при постоянном потенциале анода (0,800 В против насыщенного каломельного электрода) на платине и при применении спокойного электролита, представлены на рис. 1. Концентрация анилина в растворе составляла 0,01 моль/литр. В качестве электролита применялась серная кислота различных концентраций.

Изучение экспериментальных данных, представленных на рис. 1, показало, что для различных концентраций H_2SO_4 в начальный период электролиза между логарифмом плотности тока (I) и временем (t), прошедшим от начала электролиза, существует линейная зависимость, $\lg I = kt + \text{const}$, где величина $k = \frac{d \lg I}{dt}$, характеризующая возрастание интенсивности окислительных процессов во времени, зависит от концентрации серной кислоты в растворе. Величина максимальной плотности тока ($I_{\text{макс}}$), достигаемой в процессе возрастания плотности тока в начальный период электролиза, также зависит от концентрации серной кислоты.

Рассмотрение кривых, изображенных на рис. 1, показывает, что величина $I_{\text{макс}}$ и $\frac{d \lg I}{dt}$, характеризующие интенсивность электрохимического

окисления анилина, представленные в виде функции от концентрации H_2SO_4 , имеют сложный вид, изменяются одинаковым образом и проходят через максимум, лежащий в области концентраций H_2SO_4 1—3 моль/литр.

На рис. 2 представлена зависимость величин максимальной плотности тока от концентрации серной кислоты, наблюдаемых при проведении электролиза с интенсивно перемешиваемым электролитом. Рассмотрение результатов, представленных на рис. 2, показывает, что характер изменения интенсивности окислительного процесса с изменением концентрации серной кислоты при интенсивном перемешивании аналогичен характеру изменения этой величины при электролизе растворов без перемешивания.

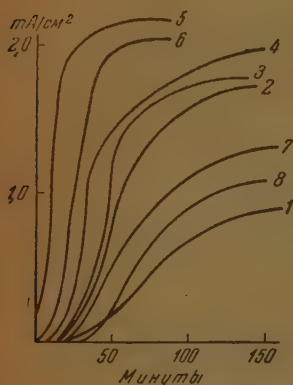


Рис. 1. Концентрации H_2SO_4 : 1—0,28; 2—0,56; 3—0,83; 4—1,12; 5—1,65; 6—2,35; 7—7,30; 8—8,85 моль / литр

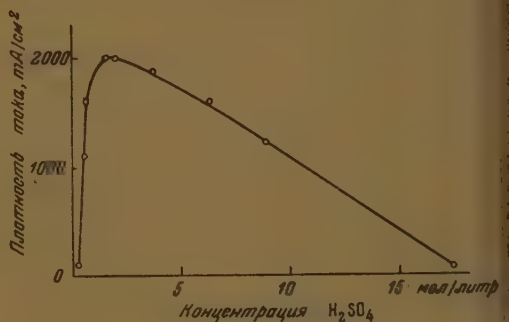


Рис. 2. Зависимость величины предельной плотности тока от концентрации H_2SO_4 . Анод Pt, $t = 20^\circ$. Анилин 0,35 моль / литр. Перемешивание механической мешалкой

Изучение кривых, представленных на рис. 1, показало, что линейная зависимость между $\lg I$ и временем наблюдается только до определенного момента электролиза, по достижению которого нарушается.

В табл. 1 приведены количества электричества, прошедшие от начала электролиза до момента нарушения линейной зависимости плотности тока от времени.

Таблица 1

Концентрация моль/литр	0,28	0,56	0,83	1,12	1,65	2,25	7,85
Количество элек- тричества, ку- лоны	0,5	0,54	0,49	0,37	0,65	0,80	0,54

Данные в табл. 1 получены в результате графического интегрирования кривых, представленных на рис. 1.

Рассмотрение результатов, приведенных в табл. 1, показывает, что количества электричества, прошедшие от начала электролиза до момента нарушения линейной зависимости от времени, остаются неизменными с изменением концентрации H_2SO_4 .

На рис. 3 представлены кривые плотность тока — потенциал анода, полученные при электрохимическом окислении анилина в растворе, содержащем 0,25 моль/литр H_2SO_4 и 0,01 моль/литр анилина, при применении платинового, угольного и свинцового анодов. В области малых величин потенциала анода, где наблюдается возрастание интенсивности окислительных процессов во времени, отложены максимальные плотности тока. В области высоких потенциалов отложены плотности тока, устанавливающиеся при достижении стационарного состояния.

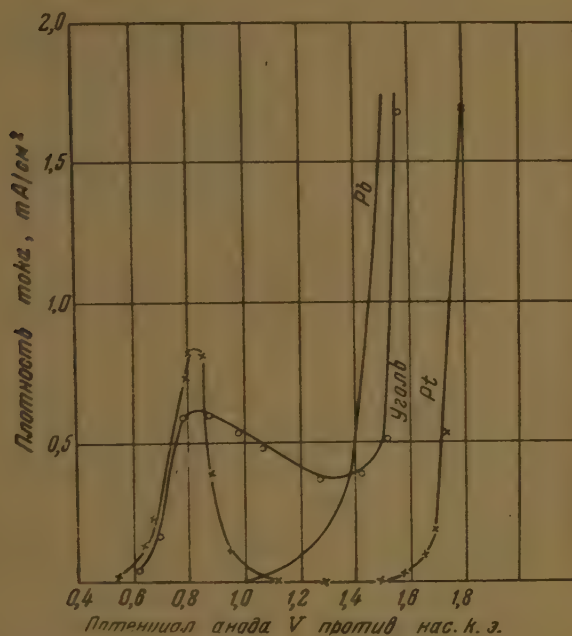


Рис. 3. Анилин — 0,01 моль/л; H_2SO_4 — 0,25 моль/л

Рассмотрение кривых, изображенных на рис. 3, показывает, что на платиновом и угольном аноде наблюдаются 2 зоны потенциалов, где происходит интенсивный окислительный процесс. Имеется зона потенциала анода, где окислительный процесс либо не идет полностью (платина), либо интенсивность окислительного процесса значительно ослабевает. На свинцовом аноде в зоне низких потенциалов анода в данных условиях окислительный процесс не наблюдается.

При более высокой концентрации анилина и при концентрации 0,5—1 моль/литр H_2SO_4 на свинцовом аноде также наблюдается интенсивный окислительный процесс в области низких потенциалов.

При проведении электролиза в условиях, отвечающих левой ветви поляризационной кривой, наблюдалось образование яркозеленого осадка на аноде, изменяющего цвет до темнозеленого при продолжительном электролизе. Осадок, отделенный от раствора, тщательно промытый с содой, имел цвет от сине-фиолетового до черного. Просушенный при 110° до постоянного веса осадок не плавился при температуре 300° .

В табл. 2 приведены выходы темносинего основания, полученного при проведении электролиза в сернокислотных растворах анилина с различным содержанием H_2SO_4 . В этих опытах применялся электролизер с кера-

миковой диафрагмой. Анодом служила платиновая сетка, концентрация анилина — 0,3 моль/литр.

В анодное пространство помещалось 200 см³ раствора.

При проведении электролиза в сернокислотных растворах анилина в условиях, отвечающих левой ветви поляризационной кривой, выделения кислорода не наблюдалось. Следовательно, единственным процессом на аноде в этих условиях являлось окисление анилина.

Таблица 2

Концентрация, моль/литр	Вес меди в кулометре, граммы	Вес темносинего основания, граммы
0,5	6,4	5,3
1,5	6,5	5,6
4	6,4	5,5
6,5	6,4	5,6

Обсуждение результатов

Результаты, полученные при изучении влияния концентрации серной кислоты и величины потенциала анода на кинетику электрохимического окисления анилина в сернокислотных растворах, также подтверждают сделанные нами ранее выводы [2]:

1) Кинетика электрохимического окисления анилина в начальный период электролиза не является диффузионной.

2) Возрастание интенсивности окислительных процессов во времени в соответствии с уравнением $\lg I = kt + \text{const}$, свидетельствует об автокаталитическом характере реакции электрохимического окисления анилина.

Характер изменения интенсивности окислительных процессов с изменением концентрации серной кислоты указывает на важную роль ионов гидроксония в данной электрохимической реакции.

Обращает на себя внимание параллелизм, существующий между характером изменения интенсивности электрохимического окисления анилина и характером изменения удельной электропроводности серной кислоты, выраженных в виде функций от концентрации серной кислоты.

Однако максимумы кривых, выражающих зависимость этих величин от концентрации серной кислоты, несколько сдвинуты по оси концентрации серной кислоты.

Весьма тесный параллелизм обнаруживается между изменением интенсивности окислительных процессов и величиной аномальной составляющей электропроводности гидроксониевых ионов, выраженных в виде функции от концентрации H_2SO_4 . Максимумы кривых, выражающие эти зависимости, совпадают. Величина аномальной составляющей удельной электропроводности ионов водорода определялась как разность между удельной электропроводностью растворов серной кислоты и сульфата аммония одинаковых молярных концентраций. В качестве иона с нормальной электропроводностью выбран ион аммония в связи с тем, что растворимость его сульфата в воде выше, чем растворимость сульфатов других однозарядных катионов.

Непосредственный расчет величины аномальной электропроводности может быть сделан вплоть до концентрации H_2SO_4 2,76 моль/литр. Электропроводность серной кислоты, содержащей 12—10 моль/литр, имеет нормальную величину, поэтому аномальную составляющую электропроводности ионов гидроксония при этой концентрации можно принять равной нулю.

Промежуточные значения аномальной составляющей электропроводности ионов гидроксония для концентраций H_2SO_4 2,76—10 моль/литр интерполированы.

Наличие тесной связи между величиной аномальной составляющей электропроводности ионов гидроксония и интенсивностью окислительных процессов может служить экспериментальным основанием для предположения, что фактором, определяющим суммарную скорость электрохимиче-

го окисления анилина в кислой среде, является процесс переноса протонов в приэлектродном слое. Это предположение, в свою очередь, может означать, что реакция электрохимического окисления анилина содержит стадию образования протона, и последующее его удаление от электрода представляет стадию, определяющую суммарную скорость анодных процессов при электрохимическом окислении анилина.

Результаты по изучению влияния потенциала анода на интенсивность электрохимического окисления анилина показывают, что интенсивность электрохимического окисления анилина сложным образом зависит от величины потенциала анода. Наличие двух ветвей на поляризационных кривых — одной, лежащей в области потенциалов, меньших, чем потенциал выделения кислорода, и другой, лежащей в области потенциалов анода более высоких, чем потенциал выделения кислорода, отделенных друг от друга зоной потенциала, где окислительный процесс или не имеет места, или ослаблен, — может служить основанием для предположения о наличии двух механизмов электрохимического окисления анилина в кислой среде.

Автор выражает благодарность проф. С. В. Горбачеву за ценные указания при обсуждении результатов данной работы.

Выводы

1. Кинетика электрохимического окисления анилина в растворах серной кислоты различных концентраций в начальный период электролиза является диффузионной.

2. Между величиной плотности тока и временем, прошедшим от начала электролиза, для начального периода электрохимического окисления анилина в растворах серной кислоты различных концентраций существует отношение $\lg I = kt + \text{const}$.

Наличие этого соотношения приводит к предположению, что реакция электрохимического окисления анилина является автокаталитической и завершается в соответствии со схемой реакций окислительной полимеризации.

3. Интенсивность электрохимического окисления анилина в растворах серной кислоты изменяется аналогично изменению аномальной составляющей ионов гидроксония с изменением концентрации серной кислоты.

4. Интенсивный процесс электрохимического окисления анилина в многокислотных растворах имеет место при потенциалах, меньших, чем потенциал выделения кислорода из данных растворов.

5. Наблюдаются две зоны потенциалов анода, где происходит интенсивный окислительный процесс. Наблюдается промежуточная зона потенциалов, где окислительный процесс либо ослаблен, либо не имеет места.

В зоне низких потенциалов анода единственным процессом на аноде является окисление анилина. В зоне высоких потенциалов анода, наряду с окислением анилина, наблюдается выделение кислорода.

Химико-технологический институт
им. Д. И. Менделеева
Москва

Поступила
7.VI.1950

ЛИТЕРАТУРА

Е. Н. Хомутов, Сообщения о работах членов Менделеевского общества, № 1, 1950.

Н. Е. Хомутов и С. В. Горбачев, Журн. физ. химии, 24, 1101, 1950.

НЕКОТОРЫЕ ЗАКОНОМЕРНОСТИ КИНЕТИКИ ОКИСЛЕНИЯ МЕТАНОЛА В ФОРМАЛЬДЕГИД НА СЕРЕБРЯНОМ КАТАЛИЗАТОРЕ

И. Н. Влодавец и С. Я. Пшежецкий

Исследованию кинетики и механизма реакций неполного каталитического окисления органических соединений посвящено ограниченное число работ. Основная трудность изучения кинетики этого класса каталитических реакций связана с тем, что окисление органических соединений молекулярным кислородом обычно является сложным процессом, представляющим собой совокупность последовательных и параллельных реакций; это обстоятельство затрудняет трактовку экспериментальных данных и нахождение кинетических характеристик основной исследуемой реакции.

Окисление метанола в формальдегид молекулярным кислородом, являющееся со времени известных работ Е. И. Орлова [1] основным промышленным методом производства формальдегида, принадлежит к числу таких сложных каталитических процессов; реакция образования формальдегида сопровождается побочными реакциями, приводящими к образованию CO_2 и других продуктов.

Несмотря на большое число исследований, посвященных изучению этого процесса, самый химизм его не является достаточно твердо установленным; неясно, какие именно реакции приводят к образованию продуктов полного окисления. Относительно механизма основной реакции — образования формальдегида — в литературе укоренилось представление о том, что первой стадией процесса является каталитическое дегидрирование метанола, сопровождающееся последующим окислением образовавшегося при этом молекулярного водорода. Это представление было распространено не только на окисные катализаторы, для которых оно, повидимому, имеет некоторые основания, но также и на такие катализаторы, как серебро, которое со времени исследования М. И. Кузнецова [2] получило широкое распространение как промышленный катализатор для получения формальдегида из метанола.

Проведенное одним из нас и С. А. Каменецкой [3] исследование кинетики реакции окисления изопропилового спирта в ацетон на серебряном катализаторе* показало, однако, что окисление этого спирта на серебре не идет через стадию дегидрирования, а ацетон образуется при взаимодействии спирта с адсорбированным на серебре кислородом с последующим отщеплением воды.

Сопоставление основных закономерностей кинетики окисления метанола с кинетикой окисления изопропилового спирта, а также с изученной одним из нас и М. Л. Влодавец [4] кинетикой каталитического окисления водорода на серебре, дает возможность наметить основные закономерности кинетики и механизма этих реакций, повидимому, типичных для целого ряда окислительных процессов, идущих в присутствии серебра, возможно, некоторых других металлов.

* Этот процесс не сопровождается побочными реакциями вплоть до температуры порядка 400°C .

Ниже излагаются данные о кинетике окисления метанола на серебре, позволяющие выяснить также некоторые основные черты механизма этого химического процесса.

Методика эксперимента

Для исследования применялся химически чистый метанол, полученный из стального диметилосалата кипячением последнего с дистиллированной водой. Метанол абсолютировался при помощи амальгамы алюминия. Константы при-
явшегося метанола: $t_{\text{кип}} = 64,5^\circ$ (при 769 мм рт. ст.), $n_D^{18} = 1,3300$.

Окисление производилось кислородом воздуха, который очищался пропусканием его ряд фильтров, а также через поглотительные сосуды с химически чистой водой, 50%-ным раствором едкого кали, прокаленным хлористым кальцием и твердой щелочью.

Изучение кинетики окисления метанола производилось динамическим методом. Воздух (в части опытов азот), пройдя очистительную систему, поступал в прибор для дозирования паров метанола. В испарительной части этого прибора метанол непрерывно кипел. В конденсационной части, состоявшей из ряда змеевиков, снабженных ловушками и погруженных в термостат, происходила конденсация избытка паров метанола. Содержание метанола в паровоздушной смеси, выходящей из прибора для дозирования, соответствовало упругости пара метанола при температуре термостата.

Смесь паров метанола с воздухом, по обогреваемой трубке, поступала в реакционный сосуд. Последний представлял собой кварцевую трубку диаметром около 10 мм с вставленной кварцевой сеткой, на которой помещался катализатор. Для улучшения изотермичности катализатор применялся в форме массивных серебряных чипов диаметром около 2 мм. Число последних составляло 100—200 штук.

Обогрев реакционного сосуда осуществлялся электрическим током, проходящим через нагревательную обмотку, состоящую из двух секций. Первая служила для подогрева реакционной смеси до температуры, близкой к температуре реакции. Вторая секция позволяла регулировать температуру зоны реакции. Постоянство нагрева достигалось применением стабилизатора напряжения.

Температура зоны реакции измерялась термопарой серебро-константан в тонко-
енном кварцевом капилляре; спай термопары находился в центре слоя катализатора.

Газы, выходящие из реактора, пропускались через поглотительные склянки с водой, где улавливались формальдегид и непрореагировавший метанол. В жидких продуктах реакции формальдегид определялся иодометрическим способом, а метанол — окислением хромовой кислотой.

Неоконденсировавшиеся газы, прошедшие поглотительную систему, анализировались в аппарате ТН; определялось содержание CO_2 , O_2 , CO , H_2 , CH_4 .

Экспериментальные данные

Исследование кинетики процесса окисления метанола осуществлялось путем установления зависимости состава продуктов реакции:

- 1) от скорости прохождения газового потока сквозь слой катализатора,
- 2) от состава исходной смеси газов, 3) от температуры.

В табл. 1 приведены данные, характеризующие состав продуктов реакции, а также сходимости материального баланса в одной из серий опытов. Из таблицы видно, что количества пропущенного метанола и кислорода, вычисленные из результатов анализа продуктов реакции, удовлетворительно согласуются с фактически пропущенными количествами.

Обозначения:

C_K^0 — начальная концентрация кислорода;

C_M^0 — начальная концентрация метанола;

C_K , C_M , C_F , C_U , C_B — концентрация кислорода, метанола, формальдегида, углекислоты и водорода в прореагировавшей смеси;

$\alpha_K = \frac{C_K^0 - C_K}{C_K^0}$ — степень превращения кислорода;

$$\alpha_M = \frac{C_M^0 - C_M}{C_M^0} \text{ — степень превращения метанола;}$$

$$\alpha_M^\Phi = \frac{C_\Phi}{C_M^0} \text{ — степень превращения метанола в формальдегид;}$$

$$\alpha_M^Y = \frac{C_Y}{C_M^0} \text{ — степень превращения метанола в уголекислоту;}$$

$$\alpha_M^B = \frac{C_B}{C_M^0} \text{ — степень превращения метанола в водород.}$$

Таблица 3

t °C	Пропущено в час (в миллимолях)				Содержится в продуктах реакции (в миллимолях)						
	CH ₃ OH		O ₂		CH ₃ OH	CH ₂ O	CO ₂	H ₂	CO	CH ₄	O ₂
	фактический	по балансу	фактический	по балансу							
321	168	164	86	87	155	8	0	0	1	0	82
332	163	164	85	92	146	14	3	0	1	0	80
343	159	151	83	83	130	18	3	0	0	0	70
375	151	148	80	75	106	34	8	1	0	0	47
375	151	150	80	76	108	35	7	2	0	0	49
385	150	163	78	80	88	61	13	6	1	0	31
416	143	151	75	73	65	70	16	12	0	0	20
426	141	136	74	68	57	63	16	10	0	0	18
426	141	133	74	67	56	62	15	9	0	0	18
477	131	134	66	60	48	72	13	7	1	0	7
497	129	127	66	66	33	74	15	14	5	0	13
517	127	119	64	60	31	69	14	11	5	0	9

Поскольку такие продукты, как CO и CH₄, практически отсутствовали для степеней превращения справедливы следующие соотношения:

$$\alpha_M = \alpha_M^\Phi + \alpha_M^Y, \quad (1)$$

$$\alpha_M = \frac{1}{2} \frac{C_M^0}{C_K^0} (\alpha_M + 2\alpha_M^Y - \alpha_M^B) \quad (2)$$

или

$$\alpha_K = \frac{1}{2} \frac{C_M^0}{C_K^0} (3\alpha_M - 2\alpha_M^\Phi - \alpha_M^B).$$

Опыты по варьированию скорости потока при постоянном исходном составе смеси $\left(\frac{C_M^0}{C_K^0} = 2\right)$ приводят к следующей приближенной простой зависимости для скорости расходования кислорода:

$$-\frac{dC_K}{dt} = kC_K. \quad (3)$$

Поскольку изменением объема вследствие стехиометрии реакции благодаря разбавлению азотом можно пренебречь, интегрирование уравнения (3) для динамических условий дает

$$-v \ln(1 - \alpha_K) = k, \quad (4)$$

v — скорость газового потока.

Выполнимость уравнения (4) иллюстрируется табл. 2, в которой приведены данные для одной из серий опытов по варьированию скорости потока. Опыты, проведенные при других температурах, дают также удовлетворительное постоянство константы. Таким образом, скорость расходования кислорода при данном начальном составе смеси следует уравнению первого порядка.

Таблица 2

Проверка уравнения (4) для скорости расходования кислорода.
Варьирование скорости потока при 302° С

$\frac{C_M^0}{C_K^0}$	v см³/сек	α_K	k	$\frac{C_M^0}{C_K^0}$	v см³/сек	α_K	k
2,01	0,97	0,499	0,67	1,98	2,22	0,300	0,79
2,00	1,07	0,521	0,79	2,00	2,47	0,313	0,92
1,99	1,18	0,434	0,67	1,98	2,70	0,272	0,85
2,00	1,28	0,463	0,80	2,00	4,75	0,198	(1,05)
2,01	1,38	0,397	0,70	1,98	5,80	0,139	0,87
2,00	1,53	0,407	0,80	1,98	7,52	0,109	0,86
1,99	1,69	0,372	0,79	1,92	10,40	0,106	(1,17)
2,00	1,85	0,340	0,77	1,96	12,68	0,055	0,73
2,01	2,01	0,285	0,67				

Соотношение между концентрациями различных компонентов в конечной смеси при варьировании скорости потока и начального состава

Изменение скорости потока приводит как к изменению общей степени превращения метанола (α_M), так и к изменению соотношения между концентрациями продуктов реакции.

Характер зависимости степеней превращения от обратной скорости потока для одной из серий опытов иллюстрируется рис. 1. Кривая для α_K рассчитана по уравнению первого порядка (3). О том, как вычислялись остальные кривые, см. ниже. Закономерности, которым подчиняется изменение соотношения между степенями превращения метанола в различные вещества в опытах с варьированием скорости потока при постоянном составе, иллюстрируется рис. 2. Формулировка этих закономерностей изложена далее.

Характер зависимости течения процесса от начального состава иллюстрируется рис. 3. По оси абсцисс отложена величина $\frac{C_M^0}{C_M^0 + C_K^0}$, по оси ординат — степени превращения. Точки отвечают экспериментальным данным.

Характерным является прохождение кривых для α_M^Φ и α_M^B через максимум при некотором определенном составе исходной смеси.

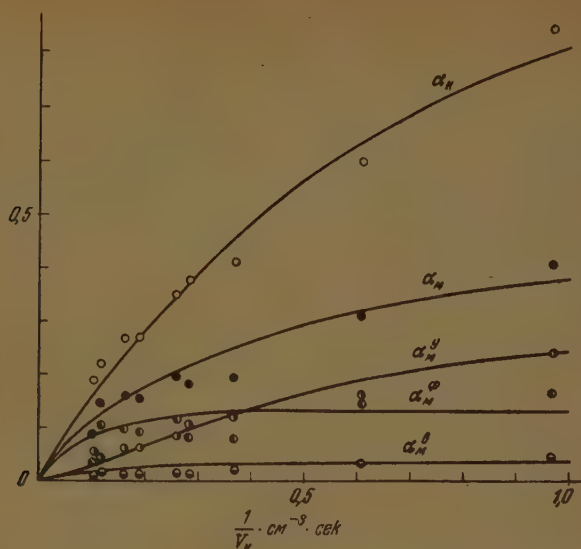


Рис. 1. Зависимость степеней превращения от обратной скорости потока при 170° С

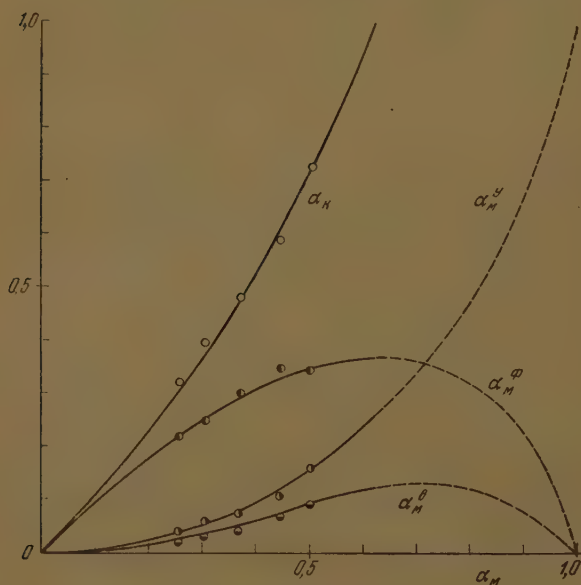


Рис. 2. Зависимость различных степеней превращения от полной степени превращения метанола (α_M) в опытах с варьированием скорости потока

отношения между различными степенями превращения при варьировании начального состава смеси иллюстрируется также рис. 4, где по абсциссе отложена степень превращения метанола α_m , по оси ординат — величина $2 \frac{C_K^0}{C_M^0} \alpha_K$, а также остальные степени превращения.

Зависимость течения процесса от температуры

Характер температурной зависимости степеней превращения для одного из образцов катализатора иллюстрируется рис. 5. Существенной особенностью процесса является превалирование реакции образования формальдегида над побочными реакциями при более высоких температурах. Это указывает на значительно меньший температурный коэффициент основных реакций в сравнении с основной реакцией.

Так как катализатор оказался недостаточно стабильным, произвести точное определение энергии активации не удалось.

Путем пересчета данных для температурной зависимости, приведенной на рис. 5, величина энергии активации суммарного процесса может быть оценена приблизительно в 16 000 кал/моль. При более высоких температурах реакция переходит в диффузионную область и ее течение определяется существенно отличными закономерностями.

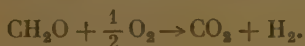
Основные реакции процесса окисления метанола

Из полученных данных следует, что общая степень превращения метанола α_m растет с увеличением содержания кислорода в исходной смеси. При уменьшении содержания кислорода до нуля степень превращения также стремится к нулю. При пропускании паров метанола в смеси с чистым азотом над восстановленным серебряным катализатором метанол разлагается при нескольких стах градусов. Таким образом, в условиях, в которых проводились измерения, на серебре реакция дегидрирования метанола не имеет места. Это согласуется с результатами исследования окисления изопропилового спирта на том же катализаторе, полученными в предыдущей работе [3].

Степень превращения метанола в формальдегид растет с увеличением концентрации кислорода. При малых концентрациях кислорода CO_2 практически не образуется. С дальнейшим увеличением концентрации кислорода возрастает количество CO_2 , а концентрация формальдегида проходит через максимум. Это дает основание предположить, что формальдегид является промежуточным продуктом в данном процессе, а CO_2 , видимо, является продуктом окисления формальдегида.

Концентрация водорода в продуктах реакции также вначале растет с увеличением содержания кислорода в исходной смеси, а затем проходит через максимум.

При уменьшении содержания кислорода, степени превращения метанола в CO_2 и в H_2 делаются весьма близкими по величине, т. е. при недостатке кислорода CO_2 и H_2 образуются в эквивалентных количествах. Это указывает на то, что CO_2 и H_2 образуются в одной реакции. Поскольку, как было отмечено, CO в продуктах реакции практически отсутствует и CO_2 , видимо, является продуктом окисления формальдегида, можно предположить, что CO_2 и H_2 являются продуктами следующей реакции:



Эти же вещества образуются и при гомогенном окислении формальдегида [5].

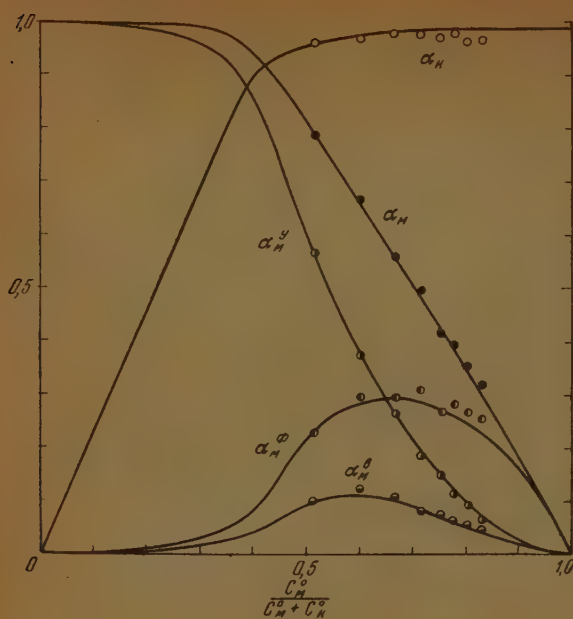


Рис. 3. Зависимость степеней превращения от начального состава. Скорость потока 2,5 см³/сек

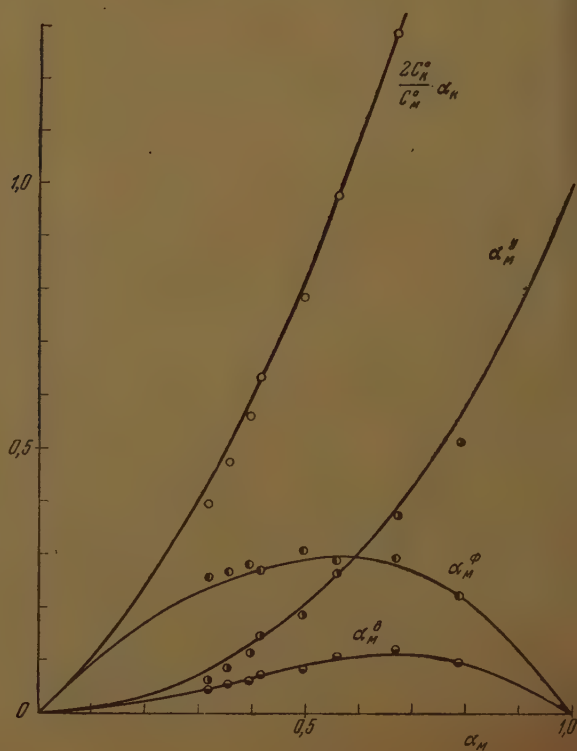


Рис. 4. Зависимость степеней превращения от полной степени превращения метанола (α_M) в опытах с варьированием начального состава. Скорость потока 2,5 см³/сек

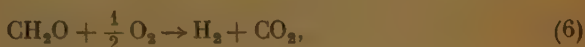
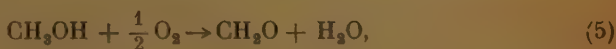
Весьма вероятно, что окисление формальдегида протекает через промежуточную стадию образования муравьиной кислоты



Метанол, как известно [6, 7], легко разлагается на серебре с образованием CO_2 и водорода.

Наличие максимума на кривой зависимости концентрации водорода содержания кислорода связано, очевидно, с протеканием реакции окисления водорода, скорость которой на этом катализаторе по порядку величины близка к скорости окисления метанола [4].

Таким образом, рассмотрение экспериментальных данных приводит к выводу, что главными реакциями процесса окисления метанола можно считать следующие:



Хотя процесс окисления метанола в формальдегид, повидимому, осложнен и другими реакциями, они, видимо, играют значительно меньшую роль. Это позволяет при рассмотрении кинетики ограничиться написанными тремя основными реакциями.

Возможный механизм и уравнения кинетики реакций окисления метанола

При истолковании кинетики этого процесса мы исходим из схемы механизма реакции каталитического окисления на серебре, уже излагавшейся в цитированных работах [3, 4], а именно:

1. Реакции окисления происходят при взаимодействии молекул окисляющегося вещества с адсорбированным на серебре кислородом; адсорбция окисляющихся веществ на металле играет незначительную роль и не сказывается на кинетике реакции.

2. Активный адсорбированный кислород, взаимодействие с которым определяет характер кинетики всех реакций окисления, является сравнительно слабо связанным с поверхностью серебра.

Согласно электрохимическим измерениям [8] этот относительно слабо связанный кислород характеризуется почти энергетически однородной связью с поверхностью серебра.

3. Другие вещества, кроме окисляющихся, практически не адсорбируются на кислородной пленке.

4. Скорость десорбции кислорода с поверхности серебра мала в сравнении со скоростью его взаимодействия с окисляющимися веществами; поэтому адсорбционное равновесие для кислорода не успевает устанавливаться.

5. Реакции окисления практически необратимы.

Таким образом, процесс каталитического окисления метанола может быть представлен следующей схемой, в которой квадратные скобки обозначают адсорбированное состояние:

1. $O_2 + Ag \xrightarrow{k_1} Ag[O_2];$
2. $CH_3OH + Ag[O_2] \xrightarrow{k_2} CH_2O + H_2O + Ag;$
3. $CH_2O + Ag[O_2] \xrightarrow{k_3} CO_2 + H_2 + Ag;$
4. $H_2 + Ag[O_2] \xrightarrow{k_4} H_2O + Ag.$

В соответствии с этой схемой скорости реакций описываются следующей системой уравнений:

$$-\frac{dC_K}{dt} = k_1 C_K (1 - \theta_K); \quad (8)$$

$$-\frac{dC_M}{dt} = k_2 C_M \theta_K; \quad (9)$$

$$\frac{dC_\Phi}{dt} = k_2 C_M \theta_K - k_3 C_\Phi \theta_K; \quad (10)$$

$$\frac{dC_B}{dt} = k_3 C_\Phi \theta_K - k_4 C_B \theta_K; \quad (11)$$

где k_1, k_2, k_3, k_4 — константы; θ_K — стационарная степень заполнения кислородом поверхности катализатора.

Из условий материального баланса следует

$$-\frac{dC_K}{dt} = \frac{1}{2} \theta_K (k_2 C_M + k_3 C_\Phi + k_4 C_B). \quad (12)$$

Сопоставляя уравнения (8) и (12), находим для стационарной степени заполнения поверхности катализатора кислородом:

$$\theta_K = \frac{1}{1 + \frac{k_2}{2k_1} \frac{C_M}{C_K} + \frac{k_3}{2k_1} \frac{C_\Phi}{C_K} + \frac{k_4}{2k_1} \frac{C_B}{C_K}}. \quad (13)$$

Подстановка (13) в уравнения (8)—(11) дает уравнения, определяющие зависимость концентраций компонентов от времени.

Сопоставление уравнений (8)—(11) с опытом удобно произвести путем проверки зависимости между степенями превращения, вытекающей из этих уравнений. Деля уравнение (10) на (9) и интегрируя для $k_3 \neq k_2$, получаем

$$\alpha_M^\Phi = \frac{(1 - \alpha_M) - (1 - \alpha_M)^{\frac{k_2}{k_3}}}{\frac{k_2}{k_3} - 1}. \quad (14)$$

Связь между степенью превращения метанола в CO_2 и общей степенью превращения метанола α_M вытекает из равенства (1), сочетание которого с уравнением (14) дает возможность выразить α_M^Φ через α_M .

Связь $\alpha_M^B = f(\alpha_M)$ получается аналогично (14) комбинацией уравнений (9), (10) и (11). На рис. 6 приведена зависимость $\alpha_M^\Phi = f(\alpha_M)$ для различных значений отношения $\frac{k_2}{k_3}$, вычисленные по уравнению (14).

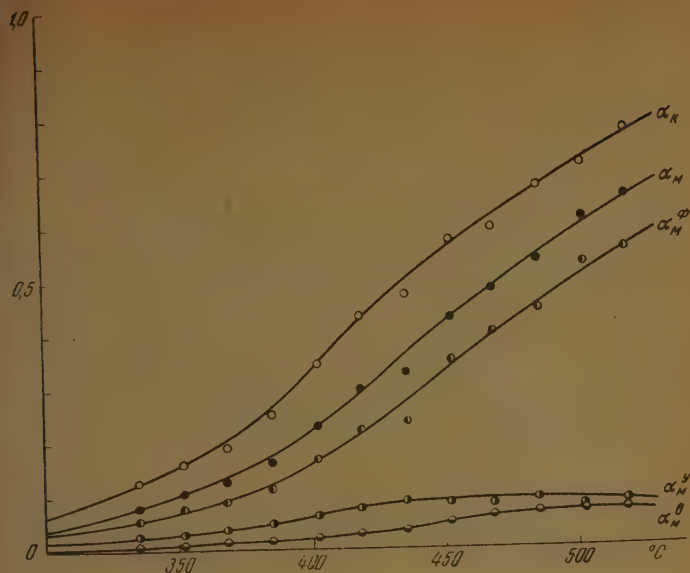
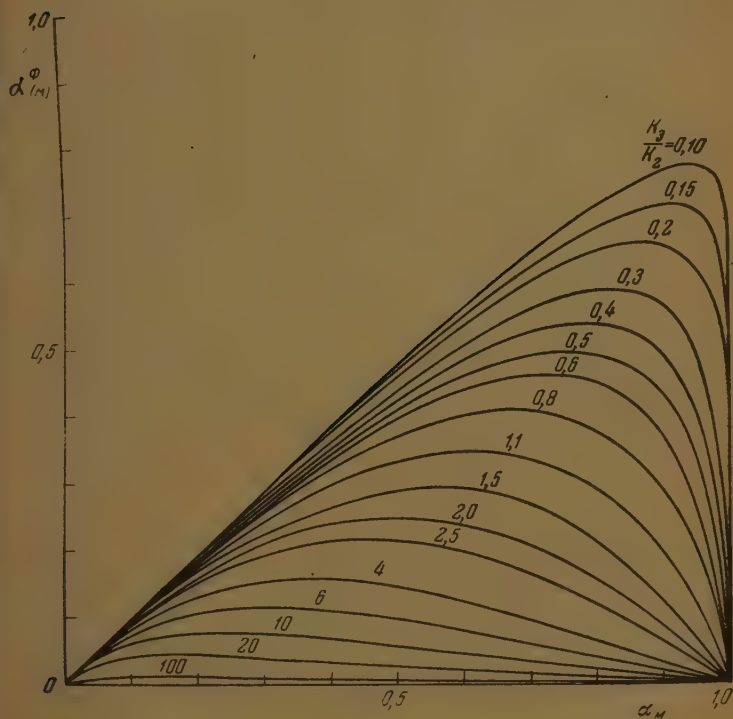


Рис. 5. Зависимость степеней превращения от температуры

Рис. 6. Зависимость степеней превращения метанола в формальдегид от полной степени превращения метанола. Кривые вычислены по формуле (1) при различных значениях $\frac{K_2}{K_1}$

Из графика рис. 6 следует, что при больших степенях общего превращения метанола, т. е. $\alpha_m \approx 1$, при любых значениях отношений $\frac{k_a}{k_b}$, степень превращения метанола в уголекислоту стремится к единице.

Кривые на рис. 2 и 4 рассчитаны приведенным выше способом для различных значений $\frac{k_a}{k_b}$. Зависимость $\alpha_n = f(\alpha_m)$ вычислялась из соотношения (2).

Соответствие экспериментальных данных теоретическим кривым указывает на удовлетворительную выполняемость соотношений между степенями превращения, вытекающими из принятой схемы механизма реакции.

При соотношении начальных концентраций метанола и кислорода $\frac{C_m^0}{C_n^0} = 2$, как нетрудно показать, любое из отношений $\frac{C_m}{C_n}$, $\frac{C_\phi}{C_n}$, $\frac{C_v}{C_n}$ довольно широких пределах остается практически неизменным, вследствие чего величина $(1 - \theta_n)$ является приближенно постоянной. Вследствие этого уравнение (8) приближенно передается уравнением 1-го порядка (3), которое, как показано выше, удовлетворительно описывает опытные данные.

Пользуясь этим уравнением и соотношениями между степенями превращения $\alpha_n = f(\alpha_m)$, $\alpha_m^\phi = f(\alpha_m)$, $\alpha_m^y = f(\alpha_m)$, $\alpha_m^v = f(\alpha_m)$, вытекающим из основных уравнений кинетики (8)–(11), можно вычислить кривые, описывающие зависимость всех степеней превращения от времени (или в динамических условиях, от скорости потока). Как видно из рис. 1, эти кривые удовлетворительно согласуются с опытом.

Сопоставление изложенных результатов по кинетике окисления метанола с данными для окисления изопропилового спирта в ацетон, полученными в цитированной работе [3], указывают на идентичность механизмов этих реакций. Различие заключается лишь в том, что ацетон в силу большей устойчивости при адсорбции на кислородной пленке не окисляется, но, как было показано, тормозит реакцию окисления спирта в силу чисто адсорбционного эффекта. Формальдегид же при адсорбции на активном адсорбированном кислороде претерпевает дальнейшие превращения, приводящие к образованию CO_2 и водорода.

Весьма вероятно, что окисление некоторых других веществ (окис углерода, этилен) также характеризуется закономерностями, укладывающимися в изложенную схему.

Следует подчеркнуть, что кинетика окисления изопропилового спирта метанола и водорода на серебре, описанная при помощи изложенной схемы, существенно отличается от так называемой лэнгмювской кинетики отсутствием допущений о наличии адсорбционного равновесия для какого-либо компонента или о существовании обратимой стадии.

Выводы

1. Исследована кинетика окисления метилового спирта в формальдегид молекулярным кислородом на серебряном катализаторе. Первичная реакция на данном катализаторе и в исследованных условиях представляет собой не дегидрирование, но прямое окисление спирта адсорбированным кислородом.

2. Энергия активации суммарной реакции окисления составляет величину около 16 000 кал/моль. Реакции окисления формальдегида и водорода имеют энергию активации, существенно меньшую, чем энергии активации окисления метанола.

3. Дано истолкование механизма реакции, основанное на предположениях: а) наличия последовательных элементарных стадий адсорбции

кислорода и снятия его с поверхности катализатора окисляющимся веществом; б) отсутствия адсорбционного равновесия; в) энергетической однородности адсорбированного активного кислорода.

Физико-химический институт
им. Л. Я. Карпова
Москва

Поступила
13.VI.1950

ЛИТЕРАТУРА

- И. Орлов, Формальдегид, его добывание, свойства и применение, 2 изд., 1935.
И. Кузнецов, Изв. Харьковского технологического института, 5, 1910.
Я. Пшежецкий и С. А. Каменецкая, Журн. физ. хим., 23, 1936.
Я. Пшежецкий и М. Л. Влодавец, Журн. физ. хим., 24, 353, 1950.
F. Snowdon, D. W. Style, Trans. Farad. Soc., 35, 426, 1939.
N. Hinshelwood, B. Topley, Journ. Chem. Soc., 123, 1014, 1923.
M. Schwab, N. Theophilides, Journ. Phys. Chem., 50, 427, 1946.
А. Раков, Диссертация, Институт им. Карпова, 1947.

СТРОЕНИЕ ОРГАНИЧЕСКИХ МОЛЕКУЛ И МЕЖАТОМНЫЕ РАССТОЯНИЯ

Э. С. Саркисов

Изучение характера изменения межатомных расстояний является одним из методов исследования строения органических молекул и в известной степени может содействовать дальнейшему развитию теории химического строения А. М. Бутлерова, которому принадлежит наиболее точная формулировка учения о связи атомов по закону валентности [1].

Каждая связь между двумя определенными атомами в молекуле характеризуется соответствующей величиной межатомного расстояния, которая зависит от природы и механизма сил, действующих между атомами. В принципе такое расстояние может быть определено путем решения соответствующей квантовомеханической задачи о движении электронов вокруг ядер. Однако данная задача очень сложна и современная теория сцепления атомов не способна при помощи последовательных квантовомеханических методов разрешить ее, тем более для многоатомных органических молекул. Поэтому успешный расчет расстояний между атомами, соединенными валентными связями в многоатомных молекулах, в настоящее время возможен только на основе применения полуэмпирического метода.

В результате применения рентгенографического, электронографического и спектроскопического методов исследования молекул органических соединений накопилось в литературе большое число экспериментальных данных о расстояниях между атомами в молекулах.

Весьма ценным фактом, привлекающим наше внимание, является известное эмпирическое правило, согласно которому длина ординарной, двойной или тройной связи между данными двумя атомами в разнообразных молекулах органических соединений сохраняется постоянной. Например:

1. Межатомное расстояние в ординарной связи $C-C$ в различных молекулах имеет постоянное значение и равно $1,54 \text{ \AA}$ (алмаз $1,542 \text{ \AA}$, хлораль $1,52 \text{ \AA}$, гликоколь $1,52 \text{ \AA}$, этан $1,55 \text{ \AA}$, пропан $1,54 \text{ \AA}$, изобутан $1,54 \text{ \AA}$, неопентан $1,54 \text{ \AA}$, циклопропан $1,53 \text{ \AA}$, ацетон $1,57 \text{ \AA}$, *d*, *l*-аланин $1,54 \text{ \AA}$, циклопентан $1,52 \text{ \AA}$, циклогексан $1,53 \text{ \AA}$, изобутилен $1,54 \text{ \AA}$, тетраметилэтилен $1,54 \text{ \AA}$, мезитилен $1,54 \text{ \AA}$, гексаметилбензол $1,54 \text{ \AA}$, транс-2-бутилен $1,53 \text{ \AA}$, цис-2-бутилен $1,54 \text{ \AA}$, транс-2,3-этоксидутан $1,53 \text{ \AA}$, цис-2,3-этоксидутан $1,54 \text{ \AA}$, паральдегид $1,54 \text{ \AA}$, метальдегид $1,54 \text{ \AA}$, бромид $1,55 \text{ \AA}$, нонакозан $1,54 \text{ \AA}$, тетрагидрофуран $1,54 \text{ \AA}$, метилениклубутан $1,56 \text{ \AA}$, мезитилен $1,54 \text{ \AA}$, гексаметилбензол $1,54 \text{ \AA}$).

2. В двойной связи $C=C$ межатомное расстояние сохраняется постоянным и равно $1,34 \text{ \AA}$ (этилен $1,34 \text{ \AA}$, стилбен $1,33 \text{ \AA}$, бензохинон $1,32 \text{ \AA}$, кетен $1,35 \text{ \AA}$, аллен $1,34 \text{ \AA}$, метилениклубутан $1,34 \text{ \AA}$).

3. В тройной связи $C\equiv C$ межатомное расстояние сохраняется практически постоянным и равно $1,20 \text{ \AA}$ (ацетилен $1,20 \text{ \AA}$, метилацетилен $1,21 \text{ \AA}$, диацетилен $1,19 \text{ \AA}$, диметилдиацетилен $1,20 \text{ \AA}$, дифенилацетилен $1,19 \text{ \AA}$, дифенилдиацетилен $1,18 \text{ \AA}$, дибромацетилен $1,20 \text{ \AA}$, диодацетилен $1,18 \text{ \AA}$, $CN\equiv CNaI$ $1,20 \text{ \AA}$).

4. Длина связи между атомами углеродов в ароматических ядрах изменяется от $1,39$ до $1,42 \text{ \AA}$, т. е. весьма близка к значению расстояния CC в графите $1,42 \text{ \AA}$ (гексахлорбензол $1,41 \text{ \AA}$, 1, 2, 4, 5-тетрахлорбен-

4,40 Å, пикрилпикридин 1,39 Å, 1,3,5-трибромбензол 1,39 Å, 1,3,5-трибензол 1,41 Å, 1,3,5-триодбензол 1,41 Å, 1,3,5-тринитробензол 1,41 Å, *p*-дибромбензол 1,41 Å, *m*-дихлорбензол 1,40 Å, *p*-дихлорбензол 1,40 Å, *o*-дихлорбензол 1,40 Å, *o*-диодбензол 1,42 Å, *m*-диодбензол 1,42 Å, диодбензол 1,42 Å, хлорбензол 1,39 Å, бензол 1,39 Å, *p*-иоданилин 1,40 Å, α -резорцин 1,39 Å, β -резорцин 1,39 Å, 4,5-дибром-*o*-ксилол 1,40 Å, пикрил 1,40 Å, 5,6-дибромгидринден 1,42 Å, мезитилен 1,39 Å, нафталин 1,40 Å, дурол 1,41 Å, *n*, *n'*-диоддифениловый эфир 1,42 Å, 6,7-дибром-3,4-тетрагидронафталиновый эфир 1,42 Å, 6,7-дибром — 1,2,3,4-тетраонафталин 1,42 Å, дифенил 1,42 Å, азобензол (цис) 1,39 Å, азобензол (транс) 1,39 Å, гексаметилбензол 1,39 Å, антрацен 1,41 Å, дифенилацетилен 1,39 Å, стилбен 1,39 Å, дибензил 1,41 Å, дифенилдиациетилен 1,39 Å, бензил 1,41 Å, *n*-терфенил 1,42 Å, *n*-тетрафенил 1,42 Å, подид тетрафенилметана 1,39 Å, фталоцианин 1,39 Å).

Длина связи между атомами углерода и водорода C—H в различных молекулах изменяется в пределах 1,06—1,09 Å (цианистый водород 1,057 Å, формальдегид 1,09 Å, метан 1,09 Å, ацетилен 1,057 Å, бензол 1,06 Å, этан 1,09 Å, бензол 1,08 Å).

6. Межатомное расстояние в ординарной связи C—O в различных молекулах имеет постоянное значение и равно 1,44 Å (метилнитрит 1,44 Å, метилнитрат 1,43 Å, α -метилгидроксиламин 1,44 Å, диметиловый эфир 1,44 Å, метилборат 1,43 Å, фуран 1,40 Å, диоксан 1,46 Å, 2,5-дигидрофуран 1,43 Å, тетрагидрофуран 1,43 Å, пентаэритрит 1,46 Å, паральдегид 1,44 Å, метальдегид 1,43 Å, *n*, *n'*-диоддифениловый эфир 1,42 Å, нитроэтоксидбутан 1,43 Å, транс-2,3-этоксидбутан 1,43 Å).

7. Для двойной связи C=O, хотя и не наблюдается строгого постоянства в значении межатомного расстояния в различных молекулах, но остается постоянным в пределах ошибок измерений для ряда соединений, в частности для альдегидов, кетонов, и равно 1,20 Å (формальдегид 1,20 Å, ацетальдегид 1,22 Å, гликоколь 1,25 Å, недоокись углерода 1,20 Å, етоиниперазин 1,25 Å, диацетил 1,20 Å, мочевины 1,25 Å, мочевины — окись водорода 1,24 Å, глиоксаль 1,20 Å, α -щавелевая кислота 1,22 Å, щавелевая кислота 1,20 Å, метилизоцианат 1,18 Å).

8. Примерное постоянство расстояния в большом числе соединений наблюдается также для связей C—F, C—Cl, C—Br, C—I, C—S, C—N, C \equiv N и др.

Большое число вышеприведенных экспериментальных фактов, подтверждающих постоянство длины связи между данными двумя атомами молекулах различных органических соединений, позволяет считать, что образование химической связи зависит главным образом от строения двух атомов, участвующих в этой связи. Данный вывод согласуется с идеей, сформулированной впервые В. В. Марковниковым [2], согласно которой на реакции отдельных атомов оказывают влияние прежде всего атомы, связанные с ним непосредственно, и уже в значительно меньшей степени непосредственно несвязанные атомы.

Другими словами, мы полагаем, что химическая связь между соседними атомами в молекулах органических соединений находится в функциональной зависимости от энергетического состояния локализованного электронного облака, образованного за счет обобществления определенного числа валентных электронов, участвующих в этой связи. Благодаря канализации электронного облака в пространстве между двумя данными атомами связь их в различных молекулах будет характеризоваться всегда одной определенной электронной плотностью и, следовательно, длина связи будет оставаться постоянной.

Беря за основу эти представления о природе химической связи в органических молекулах, мы попробуем связать определенной математической закономерностью длину связи между двумя данными атомами с их электронными состояниями.

Результаты предпринятого нами ранее [3] исследования в области расчетов межатомных расстояний элементов и их соединений в металлических кристаллах оказались полезными для вывода уравнения, позволяющего вычислить длины связей между атомами в молекулах органических соединений.

Полученное нами полуэмпирическое уравнение имело следующий

$$d = c \frac{F^{1/2}}{f^{1/2}}.$$

В этом уравнении f выражало число валентных электронов, участвующих в образовании электронного облака, которое не фиксировано и не локализовано в определенных местах кристалла. Поэтому оно определялось максимальным числом валентных электронов данного элемента.

Ввиду того что в металлических кристаллах электронное облако локализовано, в уравнении (1) эффект отталкивания между валентными электронами и остальными электронами атома, а также между валентными электронами, учитывался нами суммарно в виде одной функции F , значение которой выражалось, как Z^2/f_3 (где Z — общее число электронов атома или порядковый номер элемента).

В молекулах органических соединений, для которых нами принимается понятие локализованного электронного облака, величина f , например, в случае ординарной связи будет определяться не всеми валентными электронами атома, а двумя, в случае двойной связи — четырьмя и для тройной связи — шестью электронами, т. е. в образовании ординарной связи каждый атом участвует одним валентным электроном: $f_1 + f_2 = 1 + 1 = 2$. Соответственно имеем для двойной связи: $f_1 + f_2 = 2 + 2 = 4$ и для тройной связи $f_1 + f_2 = 3 + 3 = 6$.

Точно так же невозможно в данном случае учитывать эффект электронного отталкивания в виде одной функции F . Этот эффект можно представить состоящим минимум из трех частей. Первые две из них F_1 и F_2 — эффекты отталкивания между валентными электронами ($f_1 + f_2$) и электронами остовов атомов соответствующих компонентов данной химической связи. Третье слагаемое F_f — эффект отталкивания между самими валентными электронами ($f_1 + f_2$), участвующими в образовании данной связи.

Ввиду того что любую связь в данной органической молекуле мы рассматриваем независимо от других связей, т. е. условно, как изолированную двухатомную модель со своим собственным электронным облаком, мы сочли возможным такую систему изучить на основе принципов теории электронного газа. Исходным положением для получения необходимого уравнения является определение общей энергии системы, состоящей из двух атомов, которая складывается нами, как и при выводе формулы (1), из потенциальной энергии сил кулоновского притяжения и из кинетической энергии валентных электронов, участвующих в образовании данной связи ($f = f_1 + f_2$):

$$E = E_{\text{пот.}} + E_{\text{кин.}} = -\gamma_1 \frac{f_1^2 e^2}{r} + \gamma_2 \frac{f^{5/2}}{r^2}.$$

Из условия минимума общей энергии равновесное значение межатомного расстояния данной связи $r = r_0$ определяется уравнением:

$$r_0 = \frac{c_0}{(f_1 + f_2)^{1/2}}. \quad (2)$$

Вводя в уравнение (2) величины F_1 , F_2 и F_f , мы учитываем также энергию взаимодействия электронов в поле самих электронов, т. е. энергию

отталкивания между валентными электронами и электронами остовов атома и также между валентными электронами:

$$r_0 = c \frac{F_1^{1/2} + F_2^{1/2} + F_f^{1/2}}{(f_1 + f_2)^{1/2}}. \quad (3)$$

Значения функции F_1 и F_2 выражаются, как $(Z - f_{\text{макс}})^{1/2}$, где Z — число электронов в атоме или порядковый номер, $f_{\text{макс}}$ — максимальное число валентных электронов атома, участвующих во всех связях данной молекулы.

Например, в молекуле метана CH_4 для связи $\text{C} - \text{H}$

$$F_{\text{C}} = (6 - 4)^{1/2} \text{ и } F_{\text{H}} = (1 - 1)^{1/2}.$$

иными словами, разность $(Z - f_{\text{макс}})$ определяет число электронов остова атома.

Нами было установлено, что функция F_1 и $F_2 = (Z - f_{\text{макс}})^{1/2}$ выражает соответствующий эффект для тех атомов, остовы которых обладают полными электронными оболочками, как, например, четырехвалентный остов углерода, пятивалентный остов азота, трехвалентный остов бора и др.

Если остовы атомов имеют незаполненную внешнюю оболочку, состоящую из s - и p -электронов, как, например, одновалентные остовы галогенов, двухвалентный остов кислорода или трехвалентный остов азота, то действие избыточного положительного заряда ядра происходит сжатие, увеличение прочности связи их с ядром, и, следовательно, имеет место соответствующее понижение эффекта отталкивания. Это понижение для таких подобных атомов происходит на величину $n^{1/2}$, где $n = \sum (s + p)$ — сумма всех имеющихся s - и p -электронов, находящихся во внешней незаполненной оболочке остова атома. Так, для галогенов $n = 6$; для кислорода $n = 4$; для трехвалентного остова азота $n = 2$; для четырехвалентного остова углерода и трехвалентного остова бора $n = 0$ и т. д.

Учитывая эту поправку для всех атомов

$$F_1 \text{ и } F_2 = (Z - f_{\text{макс}})^{1/2} - n^{1/2}. \quad (4)$$

Эффект отталкивания между самими валентными электронами, участвующими в образовании данной химической связи, равен, очевидно,

$$F_f = (f_1 + f_2)^{1/2}. \quad (5)$$

Коэффициент пропорциональности c , как видно из уравнения (3), численно равен радиусу изолированного атома водорода, т. е. радиусу орбитальной (одноэлектронной) орбиты в атоме водорода a_0 , ибо при $F_1 = 0$; $F_2 = 0$; $f_1 = 1$; $f_2 = 0$:

$$c = r_{\text{H}} = a_0 = \frac{h^2}{4\pi^2 e^2 m} = 0,54 \text{ \AA}.$$

Подставив это значение c в (3), получим

$$r_0 = \frac{h^2}{4\pi^2 e^2 m} \cdot \frac{F_1^{1/2} + F_2^{1/2} + F_f^{1/2}}{(f_1 + f_2)^{1/2}}. \quad (6)$$

Уравнение, полученное на основании введенных выше представлений, позволило рассчитать межатомные расстояния большого числа связей с точностью, весьма близкой к точности опытных определений (табл. 1—6).

Таблица

Связь	$f_1 + f_2$	Органические соединения	Эксп. r_0 , Å	Вычисл. r_0 , Å	Δ , Å
$\diagup \text{C} - \text{C} \diagdown$	2	Алифатические	1,54	1,55	+0,
$\diagup \text{C} = \text{C} \diagdown$	4	Этиленовые	1,34	1,31	-0,
$-\text{C} \equiv \text{C}-$	6	Ацетиленовые	1,20	1,18	-0,
$\cdots \text{C} \cdots \text{C} \cdots$	3	Ароматические (бензольные ядра)	1,39	1,40	+0,
$\diagup \text{C} - \text{H}$	2	Алифатические Этиленовые Ацетиленовые Ароматические	$\left. \begin{matrix} 1,09 \\ 1,06 \\ 1,06 \\ 1,08 \end{matrix} \right\} 1,07$ (среднее)	1,04	-0,0
$\diagup \text{C} - \text{O} -$	2	Эфиры и др.	1,44	1,45	+0,0
$\diagup \text{C} = \text{O}$	4	Альдегиды, кетоны и др.	1,20	1,22	+0,0

Таблица 2

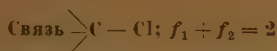
Связь $\diagup \text{C} - \text{F}$; $f_1 + f_2 = 2$

Формула	Наименование вещества	Эксп. r_0 , Å	Вычисл. r_0 , Å
CCl_3F	Трихлорфторметан	1,40	} 1,43
CHCl_2F	Дихлорфторметан	1,41	
CH_2ClF	Хлорфторметан	1,40	
CH_2F_2	Фтористый метилен	1,42	
CH_3F	Фтористый метил	1,42	

Вычисление межатомных расстояний разнообразных связей, приводимых нами в табл. 1—6, производилось уравнением (3) при одинаковом численном значении константы $c = 0,56$ Å, которое довольно близко к величине $a_0 = 0,54$ Å. Экспериментальные данные о расстояниях взяты, главным образом из книги Уэланда и других [4]. Точность определения экспериментальных межатомных расстояний, приводимых в табл. 1—6, составляет $\pm (0,02-0,03)$ Å.

Как видно из табл. 1, длина связи CC в бензольном ядре рассчитывалась из предположения, что сумма валентных электронов ($f_1 + f_2$), образующих локализованное электронное облако между двумя атомами углерода, равна трем. В самом деле, принимая для связи CC в бензольном ядре $f_1 + f_2 = 3$, мы получили весьма удовлетворительное совпадение между вычисленной

Таблица 3



Формула	Наименование вещества	Эксп. r_0 , Å	Вычисл. r_0 , Å
CClN	Хлорциан	1,67	1,68
CCl ₂ O	Фосген	1,68	
CCl ₂ S	Тиофосген	1,70	
CCl ₂ F	Дихлорфторметан	1,73	
C ₂ HCl	Хлорацетилен	1,68	
C ₂ HCl ₃	Трихлорэтилен	1,71	
C ₂ H ₂ Cl ₂	1,2-дихлорэтилен (цис)	1,67	
C ₂ H ₂ Cl ₂	1,2-дихлорэтилен (транс)	1,69	
C ₂ H ₂ Cl ₂	1,1-дихлорэтилен	1,69	
C ₂ H ₃ Cl	Хлористый винил	1,69	
C ₄ H ₇ Cl	Изокротилхлорид	1,72	
C ₆ Cl ₆	Гексахлорбензол	1,70	
C ₆ H ₂ Cl ₄	1,2,4,5-тетрахлорбензол	1,72	
C ₆ H ₃ Cl ₃	1,3,5-трихлорбензол	1,69	
C ₆ H ₄ Cl ₂	m-дихлорбензол	1,69	
C ₆ H ₄ Cl ₂	n-дихлорбензол	1,69	
C ₆ H ₄ Cl ₂	o-дихлорбензол	1,71	
C ₆ H ₅ Cl	Хлорбензол	1,69	

экспериментальной величиной r_0 . Такое предположение относительно образования связи CC в бензольном ядре является наиболее правдоподобным, так как при наличии в этом кольце шести равноценных связей CC и общего числа электронов, равного восемнадцати, естественно, на каждую отдельную связь должно приходиться по три электрона.

Таким образом, на примере расчета длины связи CC в бензольном ядре мы показываем, что поведение валентных электронов в образовании химической связи необходимо рассматривать безотносительно к понятию процента двоевязности [5], вытекающему из резонанса соответствующих структур и, следовательно, это понятие является несостоятельным. Критика теории резонанса получила подробное освещение в работах советских авторов [6].

Структурное обозначение связи CC в бензольном ядре



написанное в табл. 1. выражает качественную особенность данной связи. Из этого обозначения видно следующее. Оба атома углерода имеют валентность четыре. Один из атомов углерода участвует в образовании связи двумя валентными электронами, другой — одним валентным электроном. Черные кружочки означают, что эти три валентных электрона, участвующие в образовании данной связи, должны создавать симметричное электронное облако за счет их обобществления. Пунктирные линии указывают на принадлежность валентных электронов соответствующим атомам до образования связи.

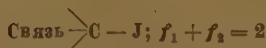
В некоторых случаях, когда для данного вещества предлагается несколько спорных структурных формул, наше уравнение позволяет решить вопрос в пользу той или иной формулы. Так, например, известно, что для диазометана (CH₂N₂) возможны две формулы [7]:

Таблица 4



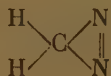
Формула	Наименование вещества	Эксп. r_0 , Å	Вычисл. r_0 , Å
CH_2Br_2	Бромистый метилен	1,91	1,89
CH_3Br	Бромистый метил	1,91	
$\text{C}_2\text{H}_2\text{Br}_2$	1,2-дибромэтилен	1,85	
$\text{C}_2\text{H}_3\text{Br}$	Бромистый винил	1,86	
$\text{C}_2\text{H}_4\text{BrCl}$	1-бром-2-хлорэтан	1,90	
$\text{C}_2\text{H}_4\text{Br}_2$	Бромистый этилен	1,91	
$\text{C}_2\text{H}_5\text{Br}$	Бромистый этил	1,91	
$\text{C}_3\text{H}_5\text{Br}_2$	Пропиленбромид	1,92	
$\text{C}_3\text{H}_7\text{Br}$	Изопропилбромид	1,91	
$\text{C}_4\text{H}_9\text{Br}$	Трет.-бутилбромид	1,92	
$\text{C}_6\text{H}_4\text{Br}$	<i>n</i> -дибромбензол	1,88	1,88
$\text{C}_8\text{H}_8\text{Br}_2$	4,5-дибром- <i>o</i> -ксилол	1,88	
$\text{C}_{10}\text{H}_8\text{Br}_2$	6,7-дибром-1,2,3,4-тетрагидро-нафталин	1,86	

Таблица 5



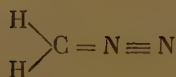
Формула	Наименование вещества	Эксп. r_0 , Å	Вычисл. r_0 , Å
$\text{C}_2\text{H}_2\text{J}_2$	1,2-диодэтилен (цис)	2,03	2,01
$\text{C}_2\text{H}_2\text{J}_2$	1,2-диодэтилен (транс)	2,03	
$\text{C}_2\text{H}_3\text{J}$	Иодистый винил	2,03	
$\text{C}_6\text{H}_3\text{J}_3$	1,3,5-триодбензол	2,05	
$\text{C}_6\text{H}_4\text{J}_2$	<i>o</i> -диодбензол	2,00	
$\text{C}_6\text{H}_4\text{J}_2$	<i>m</i> -диодбензол	2,00	
$\text{C}_6\text{H}_4\text{J}_2$	<i>n</i> -диодбензол	2,02	
$\text{C}_{12}\text{H}_8\text{J}_2\text{O}$	<i>n,n'</i> -диоддифениловый эфир	2,00	

трехчленным кольцом



(1)

и линейная



(2)

Расчет межатомных расстояний для связей CN и NN по нашему уравнению показывает, что линейная формула (2) является наиболее правдоподобной.

В самом деле, экспериментально установлено, что в молекуле диазo-метана межатомное расстояние для связи CN равно 1,34 Å и для связи NN

Таблица 6

Связь	$f_1 + f_2$	Формула	Наименование вещества	Э.сп. r_0 , Å	Вычисл. r_0 , Å
$C-N<$	2	CH_3N_3 C_2H_5NCN $C_2H_5N_3$ $C_3H_7N_3$ $C_6H_{12}N_4$ $C_{12}H_{10}N_3$ $C_{12}H_{10}N_2$	Метилазид Хлордиметиламин Азотетан Триметиламин Гексаметилентетрамин Азобензол (цис) Азобензол (транс)	1,47 1,47 1,47 1,47 1,47 1,46 1,43	} 1,47
$C-N=$	2	C_3H_5NO	Окись триметиламина	1,54	1,55
$C\equiv N$	6	$CBrN$ $CClN$ CHN C_2H_3N	Бромциан Хлорциан Цианистый водород Метилцианид	1,13 1,13 1,15 1,16	} 1,12
$>C-S-$	2	C_2H_6S $C_2H_6S_2$ C_4H_4S	Диметилсульфид Диметилдисульфид Тиофен	1,82 1,78 1,74	} 1,70
$>C=S$	4	COS CS_2	Сероокись углерода Сероуглерод	1,56 1,54	} 1,42
$>N-H$	2		Амины	1,01	0,95
$>N=O$	4	CN_4O_8 CH_3NO_2 CH_3NO_2 CH_3NO_3 $C_6H_3N_3O_6$	Тетранитрометан Метилнитрит Нитрометан Метилнитрат 1,3,5-тринитробензол	1,22 1,22 1,21 1,26 1,23	} 1,22
$>N-O-$	2	CH_3NO_2 CH_5NO	Метилнитрит Метилгидроксиламин	1,37 1,37	} 1,36
$>C-B<$	2	C_3H_5B	Триметилбор	1,56	1,55
$>C-As<$	2	C_3H_9As	Триметилмышьяк	1,98	1,93
$>C-In<$	2	C_3H_9In	Триметилиндий	2,16	2,08
$>C-Ge<$	2	$C_4H_{12}Ge$	Тетраметилгерманий	1,98	1,97
$>C-Sn<$	2	$C_4H_{12}Sn$	Тетраметилолово	2,18	2,08
$>C-As\equiv$	2	$C_{24}H_{26}AsJ$	Иодидтетрафенилмышьяка	1,95	1,97

равно 1,13 Å. Вычисление расстояний данных связей по структурной формуле (2) приводит к величинам, хорошо совпадающим с экспериментальными, а именно для $\text{>C}=\text{N}\equiv 1,31$ Å и для $=\text{N}\equiv\text{N}$ 1,12 Å. Вычисление же расстояний этих связей по структурной формуле (1) для $\text{>C}-\text{N}=$ 1,47 Å и для $-\text{N}=\text{N}-$ 1,17 Å. В пользу структурной формулы (2) можно привести также исследования Берша и Бривея [8], которые электронографическим исследованием показали, что в парах диазометана оба атома азота и углерод находятся на одной прямой.

Следовательно, указание Уэланда [4], что в диазометане факты согласуются с предположением о резонансе между структурами:



неубедительно.

Точно так же неправильно объясняет Уэланд [4] неодинаковую длину двух связей азот—азот в метилазиде резонансом следующих структур

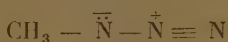


Таблица 7

Длины связей в метилазиде

Связь	Эксп. r_0 , Å	Вычисл. r_0 , Å
$\text{>C}-\text{N}=$	1,47	1,47
$-\text{N}=\text{N}\equiv$ (1) (2)	1,24	1,24
$=\text{N}\equiv\text{N}$ (2) (3)	1,10	1,12

На основании расчета межатомных расстояний для двух связей NN в метилазиде (табл. 7), мы пришли к выводу, что для вещества элементарного состава CH_3N_3 возможна одна структурная формула:



Удлинение связи азот—углерод в окиси триметиламина $(\text{CH}_3)_3\text{N}$ до 1,54 Å, как видно из данных табл. 6, связано также с изменением валентного состояния азота.

Вследствие наличия пятивалентного азота межатомное расстояние

ординарной связи $\text{>C}-\text{N}=$, как и межатомное расстояние ординарной

связи $\text{>C}-\text{B}<$ (в триметилборе), равно расстоянию ординарной связи

$\text{>C}-\text{C}<$ (см. табл. 1 и 6). Этот факт хорошо согласуется с нашими

представлениями о природе связи между атомами в молекулах органических соединений. Равноценность этих трех связей, в которых участвуют совершенно различные по своей природе элементы C, B и N, объясняется наличием одинакового электронного облака ($f_1 + f_2 = 2$) и значения F для четырехвалентного углерода, трехвалентного бора и пятивалентного азота.

То обстоятельство, что движение валентных электронов атомов, непосредственно связанных в данной связи, рассматривалось нами в зависимости от электронного состояния их остовов, отраженного в нашем уравнении в функциях F_1 и F_2 , позволило получить уравнение, которое правильно учитывает основные факты, определяющие межатомные расстояния в молекулах органических соединений. Наше уравнение позволяет не только удовлетворительно описать экспериментально найденные факты, но и вы

ить еще неизмеренные межатомные расстояния для разнообразных связей.

К сожалению, большинство химиков природу отдельных связей между атомами в молекулах органических соединений изучает главным образом в зависимости только от валентных электронов, полностью игнорируя влияние энергетического состояния электронов остовов атомов. Естественно, пренебрегая последним, нельзя объяснить закономерностей в межатомных расстояниях.

В настоящей работе мы не обращали внимание на известные отклонения от правила постоянства длины связи. Так, например, известно, что ординарная связь CC , находящаяся по соседству с тройной связью и с двумя двойными связями, значительно укорачивается. Аналогичное отклонение от постоянства наблюдается также и у других типов связей. Факты теории резонанса, которая спекулятивно использует межатомное состояние в качестве критерия резонанса, неправильно объясняет изменение кратности связи [9, 4]*.

Мы склонны думать, что отклонение от правила постоянства длины связи связано с асимметрией электронных облаков в соседних связях, т. е. это отклонение находится в определенной зависимости от значения относительности валентных электронов ($f_1 + f_2$) соседних связей.

В дальнейшем при изучении влияния этого фактора, обусловленного энергетическим состоянием электронного облака соседних связей, могут быть количественно учтены также отклонения от правила постоянства длины связи.

Выводы

1. Беря за основу представление о том, что химическая связь между соседними атомами в молекулах органических соединений находится в функциональной зависимости от энергетического состояния локализованного электронного облака, образованного за счет обобществления определенного числа валентных электронов, мы связали определенной закономерностью длину связи между двумя данными атомами с их электронными состояниями.

2. Полученное уравнение позволило рассчитать межатомные расстояния большого числа связей с точностью, весьма близкой к точности опытных определений.

Вычисление межатомных расстояний разнообразных связей производилось при одинаковом численном значении константы $c = 0,56 \text{ \AA}$, которое довольно близко к радиусу нормальной, одноквантовой орбиты атоме ванадия $a_0 = 0,54 \text{ \AA}$.

3. Наше уравнение позволяет удовлетворительно описать ряд экспериментально найденных фактов и вычислить еще неизмеренные межатомные расстояния для разнообразных связей.

4. На примерах расчета длин связей CC в бензольном кольце, CN в диазометане, двух связей NN в метилазиде и др. показано, что введение валентных электронов в образование химической связи необходимо рассматривать безотносительно к понятию процента двоевязности, вытекающему из резонанса соответствующих структур; следовательно, это понятие является несостоятельным.

* Примечание при корректуре. В этом отношении представляет интерес работа В. М. Татевского [10], который для объяснения экспериментальных закономерностей в области геометрических характеристик молекул углеводородов дал классификацию типов связей CC на основе кратности связи и различий типов валентного состояния каждого из двух атомов углерода, участвующего в образовании связи (пространственное тетраэдрическое расположение, плоское расположение по направлению, составляющим углы в 120° , и линейное расположение под углом в 180°).

ЛИТЕРАТУРА

1. А. М. Бутлеров, Современное значение теории химического строения. Новые идеи в химии, Сборник, № 6, 1914. См. также Ю. А. Жданов, Усп. химии, 18, 472, 1949.
2. В. В. Марковников, Докторская диссертация (Материалы по вопросу о взаимном влиянии атомов в органических соединениях), 1888. См. также А. И. Чичибабин, Основные начала органической химии, Госиздат, 37, 1934.
3. Э. С. Саркисов, ДАН СССР, 60, 371, 1948; Журн. физ. хим., 24, 487, 1950.
4. Д. Уэлланд, Теория резонанса и ее применение в органической химии, ГИИХ, 1948; М. В. Волькенштейн, М. А. Ельяшевичи Б. И. Степанов, Колебания молекул, ГИТТЛ, I, 42, 1949.
5. L. Pauling, L. O. Brockway, J. Y. Beach, Jour. Amer. Chem. Soc., 57, 2765, 1935; 59, 1222, 1937.
6. Г. В. Челлишев, Очерки по теории органической химии, Госхимиздат, 1947; Н. Д. Соколов, Усп. химии, 18, 697, 1949; В. М. Татевский, Журн. физ. хим., 24, 597, 1950; Д. Н. Курсанови соавторы., Усп. химии, 19, 52, 1950.
7. Curtius, J. prakt. Chem., 39, 167, 1889; J. Thiele, Ber., 44, 2522, 1911; В. E. stert, Tautomerie und Mesomerie, Stuttgart, 1938; Сборник. Новые методы препаративной органической химии, ГИИХ, 91, 1950.
8. H. Voersch, Monatsh., 65, 331, 1935; L. O. Brockway, Rev. Mod. Phys., 8, 231, 1936.
9. Л. Паулинг, Природа химической связи, Госхимиздат, 1947; Я. К. Сыркин и М. Е. Дяткина, Химическая связь и строение молекулы, Госхимиздат, 1940.
10. В. М. Татевский, Вестник Моск. университета, № 10, 53, 1940; ДАН СССР, 74, 287, 1950.

ДИСКУССИЯ

К ТЕОРИИ ПОЛИМОРФИЗМА

М. И. Мохнаткин

В статье [1] Н. Н. Сирота. «К теории полиморфизма», автор пытается доказать, «в пределах дебаевской теории теплоемкости для трехмерного изотропного случая можно объяснить явление полиморфизма с точки зрения термодинамических соображений», что «у одного и того же вещества не могут существовать две или только равновесных аллотропических модификаций, если каждая из них обладает такой функциональной зависимостью теплоемкости от температуры, отличающаяся лишь по величине характеристической температуры», что «явление полиморфизма возможно лишь в том случае, если при переходе от одной температурной модификации к другой происходит изменение характера функциональной зависимости теплоемкости от температуры», что, в свою очередь, является следствием изменения анизотропии межатомного силового поля и... мерности распространения упругих волн в кристаллической решетке» и т. д., и т. п.

Эти интересные выводы автора, однако, не вытекают из существа рассмотренных вопросов и в этом отношении являются необоснованными, что легко видеть из изложенного.

Рассматривая энантиморфные (обратимые) превращения при постоянном нормальном давлении с термодинамической точки зрения, Сирота принял, что температуры пересечения кривых свободной энергии двух модификаций является температурой фазового перехода. Написав выражение для свободной энергии низкотемпературной α -модификации в форме:

$$F_{\alpha} = -E_{\alpha} + \int_0^T C_{v\alpha} dT - T \int_0^T \frac{C_{v\alpha}}{T} dT,$$

$E_{\alpha} = -U_{\alpha}$ — энергия при абсолютном нуле, автор приходит к выводу, что, если температурный ход теплоемкости обеих модификаций (α и β) одинаков, пересечения кривых свободной энергии не может быть, т. е. в пределах дебаевской теории теплоемкости невозможно объяснить явление полиморфизма.

В самом деле, если $C_{v\alpha} = D_{\alpha} \left(\frac{T}{\theta_{\alpha}} \right)$; $C_{v\beta} = D_{\beta} \left(\frac{T}{\theta_{\beta}} \right)$, то наличие точки пересечения при $\theta_{\alpha} < \theta_{\beta}$ возможно лишь в случае, когда $|E_{\alpha}| > |E_{\beta}|$, чего не может быть. В действительности условию $|E_{\alpha}| > |E_{\beta}|$ отвечает условие $\theta_{\alpha} > \theta_{\beta}$, т. е. большему значению энергии решетки и, следовательно, большему значению энергии межатомной связи отвечает большая характеристическая температура, и кривые свободной энергии в их температурном ходе пересекаться не могут.

Указанное противоречие со всеми выводами легко разрешается, если данный фазовый переход характеризовать пересечением кривых термодинамического потенциала, а не свободной энергии, как это совершенно незаконно принял Н. Н. Сирота, так как известно, что энантиморфные превращения сопровождаются довольно значительным изменением объема системы (например, у серы).

В таком случае для температурного хода термодинамического потенциала можно писать

$$\left(\frac{\partial \Phi}{\partial T} \right)_p = - \int_0^T \frac{C_p}{T} dT.$$

Принимая во внимание, что $C_p = C_v + T \frac{V_0^2}{V} \frac{\alpha^2}{\chi}$ (где α — коэффициент объемного расширения, χ — коэффициент (кубического) сжатия, v — объем) имеем:

$$\left(\frac{\partial \Phi}{\partial T}\right)_p = - \int_0^T \frac{C_v}{T} dT - \int_0^T \frac{V_0^2 \alpha^2}{V \chi} dT$$

или

$$\left(\frac{\partial \Phi}{\partial T}\right)_p = \left(\frac{\partial F}{\partial T}\right)_V - \int_0^T \frac{V_0^2 \alpha^2}{V \chi} dT.$$

Для пересечения кривых термодинамического потенциала при условии, $E_\alpha > E_\beta$ достаточно, чтобы $\left(\frac{\partial \Phi}{\partial T}\right)_p^\alpha > \left(\frac{\partial \Phi}{\partial T}\right)_p^\beta$.

Это не противоречит условию $\theta_\alpha > \theta_\beta$, так как неравенство $\left(\frac{\partial F}{\partial T}\right)_V^\alpha < \left(\frac{\partial F}{\partial T}\right)_V^\beta$ этом сохраняется, если

$$\int_0^T \frac{V_0^2 \alpha^2}{V \chi} dT \Big|_\alpha > \int_0^T \frac{V_0^2 \alpha^2}{V \chi} dT \Big|_\beta$$

или приближенно $\left|\frac{\alpha^2}{\chi}\right|_\alpha > \left|\frac{\alpha^2}{\chi}\right|_\beta$, т. е. достаточно, чтобы коэффициенты расширения и сжатия у обеих модификаций были различны, что вполне возможно при различных физических свойствах.

Таким образом, вопрос о несовместимости дебаевской теории теплоемкости с явлением полиморфизма пока не имеет достаточных оснований и не вытекает из рассмотренного круга явлений*.

Саратов

Поступила
3. I. 1950

ЛИТЕРАТУРА

1. Н. Н. Сирота, ДАН, 59, № 6, 1948.
2. Н. Н. Сирота, ДАН, 74, № 6, 1950.
3. Н. Н. Сирота, Изв. Сектора физ.-хим. анализа, 19, 1949.

* За время подготовки письма к печати Н. Н. Сирота внес в свою работу некоторые исправления, а именно: при $E_\alpha > E_\beta$; $\theta_\alpha > \theta_\beta$ вместо $\theta_\alpha < \theta_\beta$, как это было в рассматриваемой работе [2,3].

Это исправление еще больше усугубляет ошибку, так как при условии $E_\alpha > E_\beta$ и $\theta_\alpha > \theta_\beta$ пересечения кривых свободных энергий F_α и F_β вообще не может быть.

Таким образом предмет исследования — полиморфное превращение благодаря этому «исправлению» совершенно выпадает из исследования Сирота, что еще раз свидетельствует о неправомерности данного метода исследования.

ПИСЬМА В РЕДАКЦИЮ

ПРИНЦИП РАВНОВЕРОЯТНОСТИ КРИСТАЛЛИЗАЦИИ ФАЗ
ЭВТЕКТИЧЕСКИХ СПЛАВОВ

Ф. К. Горский

В Журнале физической химии, т. 23, вып. 3, 1949, стр. 315 опубликована работа С. В. Авакяна и Н. Ф. Лашко «О природе эвтектических сплавов». В работе дана формулировка условий, необходимых и достаточных для физической характеристики эвтектик: принцип однородности, принцип контактности и принцип равновероятности. Принцип равновероятности первичного возникновения зародышей в любом эвтектическом сплаве для всех фаз, его составляющих, играет особую важную роль. Ограниченность возможного числа фаз в эвтектических сплавах (отсутствие тройных эвтектик), как показано авторами, не противоречит первым двум принципам, вытекает только из третьего (физического) принципа равновероятности. В работе содержится утверждение, что: «Впервые этот принцип для случая бинарной эвтектики был сформулирован Н. Ф. Лашко [1] и А. Бочваром [2]». С этим утверждением я не могу согласиться. Цитированная работа Н. Ф. Лашко в Тр. Харьковского университета датируется 1936 г. Однако в конце 1935 и начале 1936 г. во время моей командировки в Сибирский физико-технический институт мной выполнена экспериментальная работа, опубликованная в 1936 г. в Тр. Харьковского педагогического института имени С. М. Ефремова, Витебск, 1936 г., «Механизм кристаллизации эвтектики». В этой работе исследованы температурные зависимости образования кристаллических зародышей в двух эвтектиках: 1) ортонитрофенола $\text{C}_6\text{H}_5\text{NO}_2$, молекулярный вес $M = 139$, температура плавления $T_m = 318^\circ$, по абсолютной шкале температур с α -нафтиламином $\text{C}_{10}\text{H}_7\text{NH}_2$, $M = 143$, $T_m = 323^\circ$. Эвтектический состав 47 молекулярных % α -нафтиламина, температура плавления эвтектики $T_e = 287^\circ$ и 2) нафталин C_{10}H_8 , $M = 128$, $T_m = 353^\circ$ с α -нафтиламином. Эвтектический состав 29 молекулярных % нафталина, температура плавления эвтектики $T_e = 300,5^\circ$.

По результатам опытов были построены кривые вероятности образования центров кристаллизации — в функции температуры, для чистых компонентов и сплавов с различным процентным содержанием. Данные для первой эвтектики изображены на рис. 1, из которого видно, что самое смещенное в сторону низких температур положение занимает чистая эвтектического состава. Как уменьшение, так и увеличение содержания одного из компонентов против эвтектического состава дают смещение кривой в область более высоких температур. Таким образом, известные диаграммы состояния (рис. 2) являются новым способом изображения соотношений рис. 1 для вероятности кристаллизации сплавов различного состава.

В выводах названной работы, которые позволяют процитировать полностью, принцип равновероятности сформулирован совершенно отчетливо:

«Для объяснения результатов опыта, приводящих, как следствие, к обычной диаграмме состояния, надо исходить из рассмотрения элементарного акта процесса кристаллизации. Когда речь идет об одном компоненте, образовавшийся субцентр

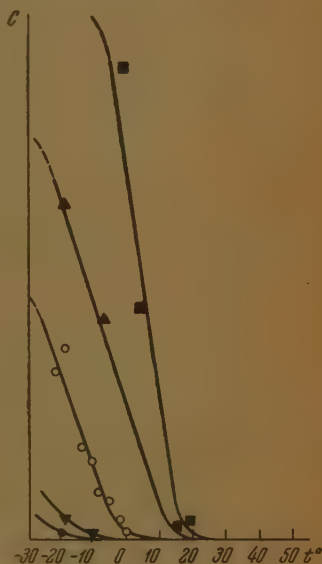


Рис. 1 ■ — о-нитрофенол ▲ — о-нитрофенол 75%, ○ — α -нафтиламин; ▼ — о-нитрофенол 25%, ● — о-нитрофенол 50%.

рис. 1 для вероятности кристал-

начинает расти благодаря прилипанию ударяющихся в него молекул. Если сплав с небольшой примесью второго компонента, в нем будут образовываться центры первого компонента, так и второго. Образовавшийся субцентр роста мол за счет молекул первого компонента, но число их стало меньше, молекулы же второго компонента (не входящие в решетку первого, условие образования эвтектики), уходясь о субцентр, разрушают его. Поэтому устойчивый центр может стать при понижении температуры больше, чем больше число посторонних атомов. Вероятность образования центров второго компонента в этом интервале концентраций значительно меньше, чем у первого. Большое же число молекул первого компонента, удары которых разрушают образовавшийся центр, обуславливает отсутствие центров этого компонента. Те же соотношения имеют место, если ити чистого второго компонента, увеличивая содержание первого.

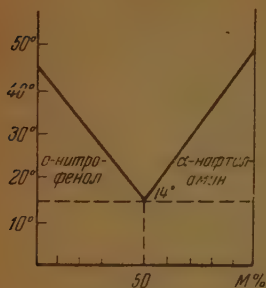


Рис. 2

Из такого представления о механизме кристаллизации вытекает определение эвтектического состава как такового, при котором одинаково вероятно возникновение центров или первого, или второго компонента (их взаимное мешающее при кристаллизации действ одинаково). Опыты показывают, что не всегда сплав эвтектического состава кристаллизуется в характерном для эвтектики мелкодисперсном виде. Мелкодисперсное строение, считающееся характерным признаком эвтектики, должно быть названо эвтектической структурой в отличие от эвтектического состава. Выяснение условий возникновения эвтектической структуры занимается А. А. Бочвар [3].

С точки зрения идей, развитых С. В. Авакяном и Н. Ф. Лашко, последнее утверждение является подтверждением того, что эвтектика характеризуется одновременным выполнением всех трех принципов и выполнение одного принципа — равновероятности образования кристаллических зародышей различных фаз еще недостаточ для образования эвтектики.

Академия наук БССР
Физико-технический институт
Минск

Поступила
19.V.1949

ЛИТЕРАТУРА

1. Н. Ф. Лашко. Тр. Харьковского университета, 1940.
2. А. А. Бочвар. Кинетика кристаллизации эвтектических сплавов, 1935.
3. А. А. Бочвар. Металлург, № 10, 1934.

ПО ПОВОДУ ПИСЬМА В РЕДАКЦИЮ Ф. К. ГОРСКОГО

С. В. Авакян и Н. Ф. Лашко

Рассматривая кристаллизацию эвтектик в 1948 г., мы исходили в частности, из условия равновероятности возникновения зародышей первичных фаз, сформулированного по разным поводам, Н. Ф. Лашко в 1940 г. (Записки Харьковского университета и А. А. Бочваром и О. С. Жадаевой в 1945 г. (Сборник «Структура и литье сплавов цветных металлов»).

Благодаря любезному содействию Ф. К. Горского нам стало известно (после опубликования нашей статьи), что такое же условие было ранее, в 1936 г., сформулировано им в «Записках Витебского пединститута». Отдавая должное Ф. К. Горскому отметим, что его формулировка о равновероятности возникновения фаз эвтектики вытекает из приведенных в статье экспериментальных данных. В указанной статье Ф. К. Горского показано только, что в двойной эвтектической переохлажденной жидкости скорость образования центров кристаллизации — наименьшая по сравнению со скоростью кристаллизации других смесей той же системы. При этом не было отмечено, образуется ли зародыш первичной фазы, или эвтектики. Эти данные, в известной мере, дополняют исследования А. А. Бочвара, показавшего, что скорость роста первичных фаз в эвтектике — наименьшая, чем в других смесях той же системы.

БИБЛИОГРАФИЯ

О КНИГЕ З. Г. ПИНСКЕРА «ДИФФРАКЦИЯ ЭЛЕКТРОНОВ»

В связи с рецензиями Н. А. Шишакова на книгу З. Г. Пинскера «Диффракция электронов», напечатанными в журналах «Советская книга» за 1950 г., вып. 3 и «Журнал физической химии» за 1950 г., вып. VIII, считаем необходимым заявить следующее.

В результате широкого обсуждения, проведенного в Институте кристаллографии СССР 1 ноября 1950 г., в котором участвовали компетентные научные работники, была сформулирована следующая точка зрения на эту книгу.

Книга З. Г. Пинскера отвечает современному состоянию науки в области диффракции электронов и, излагая теорию и методику, а также практические применения электрографии, с достаточной полнотой отражает наши отечественные работы. Автор, в основном, уделяет внимание широким возможностям электрографии как независимого метода исследования кристаллической структуры, вплоть до определения координат атомов. Это направление, развиваемое в Институте кристаллографии СССР, дало результаты как в области физики диффракции электронов, определения положения легких атомов и структур важных глинистых минералов, так и в вопросах, связанных с решением ряда технологических задач.

Автор не обошел ни одного сколько-нибудь существенного раздела теории и практики электрографии.

К числу недостатков книги были отнесены: малый объем главы о диффракции молекул, отсутствие детального критического разбора данных о молекулярных структурах и некоторые технические недочеты.

Что касается рецензии Н. А. Шишакова, то неправильная, вредная установка автора ограничить электрографию вопросами анализа поверхностных структур позволила ему дать рациональный разбор книги и объективную ее оценку. Рецензии Н. А. Шишакова дезориентируют советского читателя и не выполняют своей основной задачи — дать критику, способствующую дальнейшему развитию нашей советской науки.

В целом книгу З. Г. Пинскера можно рекомендовать широкому кругу научных и научно-технических работников и студентов старших курсов, работающих или специализирующихся в области металлофизики, физики твердого тела и кристаллографии, физико-химии, структуры неорганических и органических веществ различных смежных вопросов.

Поступила
2. II. 1951

Чл.-корр. АН СССР А. В. Шубников
Академик Д. С. Велянкин
Профессор-доктор Г. Г. Леммлейн
Чл.-корр. АН Н. В. Белов
Доцент М. М. Уманский
Профессор-доктор Г. С. Жданов

ИСПРАВЛЕНИЯ К СТАТЬЕ

И. Н. Годнева и А. С. Свердлина

«ТЕРМОДИНАМИЧЕСКИЕ ФУНКЦИИ ДИХЛОРБЕНЗОЛОВ»

Журнал физической химии 24, № 6, 1950

Стр.	Строка	Напечатано	Должно быть
671	Табл. 2, столбец 3-й, строка 2-я св.	$C=Cl=1,71 \text{ \AA}$	$C-Cl=1,71 \text{ \AA}$
673	Табл. 4, столбец 3-й, 11-я строка св.	$R_x : I'_z = 70,4$	$R_x : I'_x = 70,$
673	Табл. 5, столбец 3-й, строка 3-я св.	$2(A_2 + B_1)$	$2(A_2 + B_2)$
675	Табл. 7, столбец 7, строка 1-я св.	$20a, 7b$	$20b, 7a$
675	Табл. 7, столбец 5, строка 3-я св.	$18b$	$17b$
676	Таблица 8, столбец 11, строка 4-я св. » » » 3-я св.	S (инфракрасн.) —	— S (инфракрасн.)

ИСПРАВЛЕНИЕ К СТАТЬЕ

Н. И. Кобозева

НЕСКОЛЬКО ЗАМЕЧАНИЙ О СТАТЬЕ Д. В. СОКОЛЬСКОГО И К. И. СТЕНДЕ «К ВОПРОСУ О РОЛИ НОСИТЕЛЯ В ГЕТЕРОГЕННОМ КАТАЛИЗЕ»

Журнал физической химии 25, № 3, 1951

Стр.	Строка	Напечатано	Должно быть
377	6 снизу	$\lg \frac{a}{\alpha^n - 1} = \lg a_0 - \frac{p}{2,3}$	$\lg \frac{a}{\alpha^n - 1} = \lg a_0 - \frac{p \alpha}{2,3}$

СОДЕРЖАНИЕ

К. Кудра и П. П. Туров. Потенциалы разложения ацетоновых растворов солей кобальта	513
К. Кудра и П. П. Туров. Потенциалы разложения ацетоновых растворов солей железа и ртути	519
А. Барский и Я. Б. Зельдович. Кинетика горения окиси углерода	523
Ф. Иванов. Уравнение физического состояния вещества в частных производных	538
Г. Амелин, В. В. Илларионов и З. Б. Бородастова. Вязкость серного ангидрида	542
С. Воздвиженский, Г. П. Деизидерьев и В. А. Дмитриев. Анодное растворение текстурованного металла	547
А. Гольдер и М. М. Уманский. Гониометрическое и рентгеновское исследования кристаллов 1, 3, 8-тринитронафталина	555
Л. Кипермани В. Ш. Грановская. Об изменении порядка реакции синтеза аммиака. I. Кинетика реакции на осмиевом катализаторе	557
И. Залкинд и Б. В. Эршлер. Адсорбция кислорода на платине при поляризации по кривым заряджения	565
Р. Кричевский и Г. Д. Ефремова. Фазовые и объемные соотношения в системах жидкость — газ при высоких давлениях. III	577
П. Дергунов. Комплексообразование и обменное разложение в тройной взаимной системе из хлоридов и сульфатов лития и цезия	584
Г. Маслови С. А. Антипина. К определению коэффициентов влияния для колебаний многоатомных молекул. I. Коэффициенты влияния метана, дейтерометанов, этана и дейтероэтано	594
Е. Хомутов. Кинетика электрохимического окисления анилина в водных растворах. II	607
Н. Влодавец и С. Я. Пшежецкий. Некоторые закономерности кинетики окисления метанола в формальдегид на серебряном катализаторе	612
С. Саркисов. Строение органических молекул и межатомные расстояния	624

Дискуссия

И. П. Мохнаткин. К теории полиморфизма	635
--	-----

Письма в редакцию

О. К. Горский. Принцип равновероятности кристаллизации фаз эвтектических сплавов	637
И. В. Авакян и Н. Ф. Ляшко. По поводу письма в редакцию Ф. К. Горского	638

Библиография

О книге З. Г. Пинскера «Диффракция электронов»	639
--	-----

Цена 12 руб.